

Космологическое ускорение

С.И. Блинников^{a,b,c,d}, А.Д. Долгов^{a,b}

10 декабря 2020 г.

^aИнститут Теоретической и Экспериментальной Физики (НИЦ “Курчатовский Институт”
— ИТЭФ), Москва 117218

^bНовосибирский Государственный Университет, Новосибирск 90

^c Kavli IPMU (WPI), Tokyo University, Kashiwa, 277-8583, Japan

^d ВНИИА им Н.Л.Духова, Москва 127055

Аннотация

Дан обзор современного состояния теории и наблюдений ускорения расширения наблюдаемой части вселенной.

1 Введение

Одним из наиболее впечатляющих открытий в астрономии, сделанных за последние два десятилетия, было обнаружение того факта, что космологическое расширение отнюдь не замедляется со временем, как было бы естественно ожидать для вещества, движущегося в собственном гравитационном поле. Напротив, скорость расширения возрастает, причем этот процесс начался в относительно недавнюю эпоху космологической истории.

Нобелевская Премия 2011 года по физике была присуждена трем астрономам Солу Перлмуттеру, Брайану Шмидту и Адаму Риссу (Saul Perlmutter, Brian P. Schmidt, Adam G. Riess) за открытие ускоренного расширения вселенной по наблюдением отдаленных сверхновых (“for the discovery of the accelerating expansion of the Universe through observations of distant supernovae”). Открытие не было неожиданным, но чрезвычайно важным. Оно поставило, если не окончательную точку в вопросе о характере космологического расширения в современную эпоху, то привело очень сильный аргумент в пользу того, что расширение происходит с ускорением. Далекие сверхновые оказались более тусклыми, чем ожидалось. точнее говоря, зарегистрированный от них поток излучения оказался ниже ожидаемого при измеренных красных смещениях $z \sim 1$ и в предположении, что светимость этих сверхновых при $z \sim 1$ такая же, как и при $z = 0$, т.е. что они являются стандартными свечами.

Орсюда следует, что они дальше, чем мы думали, и следовательно вселенная расширяется быстрее, чем предсказывала стандартная модель. Строго говоря, ни ускорение, ни даже расширение прямо не измерены, в том смысле, что не хватает точности для того, чтобы заметить изменение расстояний между галактиками от времени наблюдателя t . Реально измеряются зависимости расстояния от красного смещения галактик, и вот эти зависимости оказываются другими, чем предсказывала стандартная модель. Возможные подводные камни в интерпретации этих результатов и ошибки наблюдений обсуждаются ниже.

Очень важно, что в пользу ускоренного расширения вселенной говорят не только данные по измерению потоков излучения и расстояний сверхновых, но и целый ряд других, совершенно независимых астрономических наблюдений. Как мы обсудим ниже, сюда входят, в частности, данные о возрасте вселенной, анализ ее крупномасштабной структуры, измерение угловых флуктуаций космического микроволнового фона (СМВ) и барионных

акустических осцилляций (ВАО). В силу этого можно заключить, что ускоренное расширение вселенной вне всяких сомнений установлено.

Чтобы оценить всю необычность этого открытия, воспользуемся простой, хотя и не вполне точной, аналогией космологического расширения с движением камня, брошенного вертикально вверх, в поле тяжести Земли. Если начальная кинетическая энергия камня будет меньше его потенциальной энергии, т.е. $E_{\text{kin}} < U$, то, достигнув определенной высоты, камень на мгновение остановится и вернется назад. В противоположном случае, когда $E_{\text{kin}} > U$, остановки не будет и камень уйдет на бесконечность. В промежуточном, весьма специальном случае, когда $E_{\text{kin}} = U$, камень также уйдет бесконечно далеко, но на бесконечности его скорость обратится в ноль. Во всех случаях скорость камня будет убывать по мере его движения вверх.

Как полагали до недавнего времени, космологическое расширение происходит полностью аналогично рассмотренным выше примерам. Расширение вселенной можно понимать, как движение по инерции, возникшее в результате некоего начального толчка, вызванного гравитационным отталкиванием (антигравитацией) в эпоху инфляции, которую мы обсуждаем ниже. Если исходный толчок был не очень сильным, то в какой-то момент, вселенная прекратит расширение и схлопнется обратно к горячей и плотной сингулярности. При достаточно сильном начальном толчке расширение будет идти вечно и горячая “баня” нам не грозит. Как и в примере с камнем, считалось, что скорость космологического расширения должна убывать со временем.

Последние открытия показали, что это совсем не так. В какой-то недавний по космологическим меркам момент нормальное расширение вселенной с уменьшением скорости сменилось ускоренным. Если вернуться к аналогии с камнем, то картина бы выглядела так, что вначале камень летел бы, как обычно, постепенно теряя скорость, однако позже он начал бы ускоряться, как будто у него включился реактивный двигатель или, что ближе к космологической ситуации, гравитационное поле Земли на больших расстояниях стало бы антигравитационным, вызывающим отталкивание вместо притяжения.

В двух словах суть открытия ускоренного расширения вселенной состоит в том, что на сравнительно поздней стадии космологической эволюции нормальное гравитационное притяжение, замедляющее скорость расширения, переходит в гравитационное отталкивание и скорость расширения начинает расти со временем. Заметим сразу же, что подобная антигравитация возможна только в релятивистской теории гравитации, например, в теории Эйнштейна — в общей теории относительности (ОТО), как обсуждается ниже в разделе 2. В теории Ньютона возможно лишь гравитационное притяжение. Кстати, исходный толчок, который привел к созданию нашей астрономически большой вселенной из микроскопически малого и тесного начального состояния и к наблюдаемому сегодня расширению вселенной “по инерции”, тоже был результатом космической антигравитации. Эта стадия называется инфляционной, и в течение этой стадии расширение также происходило с ускорением. Можно сказать, что большая, подходящая для жизни вселенная оказалась возможной только благодаря ОТО. Впоследствии первоначальная “инфляционная” антигравитация либо исчезла, либо стала пренебрежимо малой почти во всей космологической истории. Причина, по которой антигравитация снова стала играть заметную роль в космологии на современном этапе, остаётся непонятной, тем более, что необходимости в ней, на первый взгляд, нет.

Во избежание недоразумения сразу отметим, что антигравитация в ОТО, возможна только для безграничных систем. Любой конечный объект с положительной плотностью энергии (а мы можем рассматривать лишь такие, чтобы избежать неустойчивости мира) всегда создает только нормальное гравитационное притяжение. Однако два таких объекта, помещённых внутри среды с отрицательным давлением, на достаточно большом расстоянии друг от друга уже не будут чувствовать “нормальное” притяжение, а будут ускоряться в противоположные стороны. Можно показать, что для двух галактик с массами порядка

массы Млечного Пути гравитационное притяжение будет компенсироваться гравитационным отталкиванием вакуумной энергии на расстояниях около двух мегапарсек (см. ниже).

Как считалось совсем недавно, окончательная судьба вселенной и геометрия ее трехмерного пространства однозначно связаны. Замкнутая вселенная, имеющая геометрию трехмерной сферы, не сможет расширяться вечно. В какой-то момент в отдаленном будущем расширение остановится и обратится в сжатие, как в примере с камнем с малой начальной скоростью. Расширение открытой вселенной с геометрией трехмерного гиперблоида никогда не остановится. В промежуточном случае плоского трехмерного пространства расширение также будет вечным. Остановка произойдет асимптотически при $t \rightarrow \infty$.

Последний случай представляет особый интерес, так как, согласно наблюдениям, геометрия вселенной очень близка к плоской.

В случае ускоренного расширения наиболее вероятным оказывается вечное расширение для любой геометрии мира. Заметим, что этот результат прямо противоположен утверждению инфляционной теории, что при неускоренном (как считалось ранее) расширении на современной и более поздних стадиях наиболее вероятная окончательная судьба вселенной — сжатие обратно к сингулярности. Таким образом, ускоренное расширение вселенной может спасти мир от этой печальной судьбы. Не в том ли его необходимость?

Утверждение о том, что достаточно длительная инфляция приведет к тому, что наша вселенная закончит свою жизнь в горячей сингулярности, требует пояснения. Дело в том, что инфляция приводит к возмущениям плотности, в частности, на масштабах космологического горизонта. Эти возмущения являются стохастическими и знак флуктуации плотности, $\delta\rho$, может быть как положительным, так и отрицательным. Поэтому естественно ожидать, что когда-то на масштабе горизонта $\delta\rho$ окажется положительной и тогда этот кусок вселенной отцепится от общего космологического расширения и схлопнется. С точки зрения внешнего наблюдателя мы превратимся в черную дыру. Однако, как уже отмечалось, при ускоренном расширении такая судьба нам не грозит, если плотность тёмной энергии, которая, возможно, вызывает такое расширение, падает медленнее, чем квадрат масштабного фактора, см. ниже, рассуждения после уравнения (2.16).

Источник, вызывающий ускоренное расширение, неизвестен. Главным образом обсуждаются два варианта. Во-первых, это так называемая тёмная энергия, т.е. какая-то субстанция, имеющая отрицательное давление, которое по абсолютной величине превосходит одну треть от ее плотности энергии, $|P| > \rho/3$ (см. ниже). Одной из форм тёмной энергии могла бы быть вакуумная энергия или, что то же, космологическая постоянная, для которой $P = -\rho$. Другой вариант тёмной энергии это квазипостоянное скалярное поле, ϕ , аналогичное тому, которое, вероятно, генерировало инфляцию. В таком случае различие между экспоненциальным расширением на заре существования мира и сегодняшним днём лишь в различии, правда, колоссальном, энергетических и временных масштабов.

Плотность вакуумной энергии не меняется при расширении, см. ниже уравнение (2.7). Следовательно, если тёмная энергия является вакуумной энергией, то ускоренное расширение будет продолжаться вечно для любой трехмерной геометрии мира, как мы уже отмечали выше. Однако если тёмная энергия является энергией очень легкого скалярного поля или поля с почти плоским потенциалом, то в весьма отдаленном будущем, когда параметр Хаббла станет сравним с массой или наклоном потенциала этого поля, темп расширения снова станет замедляться, а само поле ϕ обратится в нуль за счет красного смещения и/или рождения безмассовых частиц. В итоге судьба вселенной снова станет определяться ее геометрией, как это было в старой доброй фридмановской космологии.

К ускоренному расширению мог бы также приводить ряд модификаций гравитации при малых кривизнах. Вместо обычной ОТО, в которой лагранжиан пропорционален скаляру кривизны, R , рассматриваются теории с дополнительным нелинейным по кривизне членом, $R + f(R)$. В принципе можно бы рассматривать добавки, зависящие от квадрата тензора Риччи или Римана или более сложных инвариантов, однако пока детального анализа

последних не проведено. Из-за нелинейности действия по кривизне уравнения гравитационного поля оказываются, вообще говоря, более высокого порядка, чем обычного второго. В результате могут возникнуть проблемы с духами, тахионами и с устойчивостью теории. Это приводит к ряду ограничений на вид функции $f(R)$.

Проблема выбора между двумя этими вариантами (тёмной энергии или модифицированной гравитации) является одной из центральных проблем в феноменологическом описании ускоренного расширения вселенной. Аналогичный вопрос существует и для механизма инфляции, помимо скалярного поля (инфлатона), инфляция могла бы быть вызвана R^2 -поправками к действию ОТО. Тут, однако, имеется существенное отличие от механизма ускорения на поздней космологической стадии, т.е. сейчас или несколько раньше. Для R^2 -инфляции требуется модификация гравитации при больших кривизнах, которая довольно естественно возникает вследствие радиационных поправок, а для феноменологического описания ускоренного расширения сегодня требуется модификация гравитации при очень малых кривизнах, которая вводится *ad hoc* без специальных на то теоретических оснований.

Кроме того, имеется гораздо более глубокая фундаментальная теоретическая проблема, тесно связанная с ускоренным расширением – это проблема вакуумной энергии. Дело в том, что теория и, в каком-то смысле, даже эксперимент говорят, что вакуум не пустой, а обладает колоссальной плотностью энергии, на 50–100 порядков превышающей наблюдаемое ограничение или, может быть, измеренное значение. Поэтому необходим какой-то механизм компенсации этих громадных вкладов. Несмотря на многочисленные попытки, этот механизм до сих пор не найден. Проблема компенсации вакуумной энергии, вероятно, одна из наиболее важных проблем современной фундаментальной физики.

Обзор построен следующим образом. В следующем разделе приведены (а в Приложении А даже выведены, как на простом наивном уровне, так и вполне строго) основные космологические уравнения – уравнения Фридмана, введено понятие космологической постоянной (вакуумной энергии) и поясняется, как может возникнуть космическая антигравитация. В этом же разделе определены основные космологические параметры. В разделе 3 описана проблема вакуумной энергии и возможные способы ее решения. В разделе 4 обсуждаются астрономические данные, указывающие на ускоренное расширение вселенной. В отдельный раздел 5 вынесен анализ данных по сверхновым и барионным акустическим осцилляциям в силу большой важности такого анализа и интересных перспектив на будущее. Феноменологическое описание ускоренного расширения вселенной за счет тёмной энергии или модифицированной гравитации приведено соответственно в разделах 6 и 7. В приложении А приведены два варианта упрощенного вывода уравнений Фридмана (один из ньютоновского предела, второй из вариационного принципа), а в приложении Б приведены основные космологические параметры и обсуждаются способы их измерения. Приложение В посвящено скалярному полю в космологии.

2 Уравнения Фридмана и космологическое ускорение

В основе современной космологии лежат уравнения Эйнштейна [1,2], связывающие кривизну пространства-времени с $T_{\mu\nu}$ – тензором энергии-импульса материи:

$$R_{\mu\nu} - \frac{1}{2}g_{\mu\nu}R = \frac{8\pi}{m_{Pl}^2} T_{\mu\nu}. \quad (2.1)$$

Здесь $g_{\mu\nu}$ – метрический тензор, который определяет интервал в четырёхмерном пространстве-времени согласно

$$ds^2 = g_{\mu\nu}dx^\mu dx^\nu, \quad (2.2)$$

а $R_{\mu\nu}$ и $R = g^{\mu\nu} R_{\mu\nu}$ – тензор Риччи и скалярная кривизна соответственно. Они известным образом выражаются через метрический тензор и его первые и вторые производные, как описывается в любом учебнике по ОТО или Римановой геометрии. Величина $m_{Pl} = 1.2 \times 10^{19}$ ГэВ носит название массы Планка. Здесь и ниже мы используем естественную систему единиц, где $c = k = \hbar/(2\pi) = 1$. В этих единицах ньютоновская гравитационная постоянная равна $G_N = 1/m_{Pl}^2$.

Уравнения Эйнштейна были впервые применены к космологии реальной Вселенной Александром Александровичем Фридманом [3], хотя уже сам Эйнштейн пытался построить статическую модель вселенной (для чего и ввёл Лямбда-член), а де Ситтер строил модели вакуумной вселенной. Фридман предположил, что вселенная однородна и изотропна (во всяком случае на больших масштабах) и, следовательно, пространство должно иметь постоянную трехмерную кривизну с интервалом вида:

$$ds^2 = dt^2 - a^2[d\chi^2 + \sin^2 \chi^2(d\theta^2 + \sin^2 \theta d\varphi^2)] . \quad (2.3)$$

Несколько иной вид получается при замене $\sin \chi = r$, тогда $d\chi^2 = dr^2/(1 - r^2)$, и можно записать интервал в виде (вводя $k = 1$)

$$ds^2 = dt^2 - a^2(t) \left[\frac{dr^2}{1 - kr^2} + r^2(d\theta^2 + \sin^2 \theta d\varphi^2) \right] . \quad (2.4)$$

Величина $a(t)$ носит название масштабного фактора и определяет расстояние между двумя событиями в трехмерном пространстве. Это форма метрики Фридмана из работы [3] и другой его метрики из работы [4] в записи Робертсона–Уокера [5, 6] (Robertson-Walker). Соответственно метрика однородной и изотропной вселенной получила название метрики Фридмана-Робертсона-Уокера (FRW metric).

При $k = +1$ трехмерное пространство можно рассматривать как трехмерную сферическую поверхность, вложенную в плоское четырехмерное пространство. В этом случае говорят о замкнутой вселенной. В остальных случаях вселенная будет открытая. При $k = -1$ трехмерное пространство представляет собой гиперболоид, а при $k = 0$ наше пространство является трехмерно плоским, описываемым обычной (изучаемой в средней школе) геометрией Эвклида.

Подстановка метрического тензора, отвечающего интервалу (2.4), в уравнения (3.16) приводит к следующим уравнениям, определяющим эволюцию масштабного фактора от “сотворения” мира почти до наших дней, пока вселенную можно считать однородной и изотропной:

$$\left(\frac{\dot{a}}{a} \right)^2 = \frac{8\pi}{3} \frac{\rho}{m_{Pl}^2} - \frac{k}{a^2} , \quad (2.5)$$

где ρ – плотность энергии вещества, т.е. T_{tt} (или T_{00}) – компонента тензора энергии-импульса. Заметим, что в соответствии с гипотезой об однородности и изотропии вселенной предполагается, что последний имеет диагональный вид с пространственными компонентами, пропорциональными плотности давления, $T_i^j = -\delta_i^j P$.

Второе уравнение Фридмана выражает ускорение при расширении через плотность энергии и давления вещества:

$$\frac{\ddot{a}}{a} = -\frac{4\pi}{3m_{Pl}^2}(\rho + 3P) . \quad (2.6)$$

Сразу же отметим, что при $P < -\rho/3$, ускорение оказывается положительным, т.е. гравитация становится отталкивающей (антигравитацией). Как упоминалось во введении, с этим связан первоначальный толчок, приведший к расширению вселенной, а также очень

вероятно, что это же является причиной наблюдаемого сейчас ускоренного расширения вселенной.

Приведем еще уравнение, описывающее эволюцию плотности энергии во фридмановской космологии:

$$\dot{\rho} = -3H(\rho + P). \quad (2.7)$$

Это уравнение представляет собой ковариантный закон сохранения тензора энергии-импульса,

$$D_{\mu}T_{\mu}^{\nu} = 0, \quad (2.8)$$

где D_{μ} – ковариантная производная в гравитационном поле. Уравнение (2.7) является следствием двух уравнений Фридмана (2.5) и (2.6), но выделено тут в силу его важности.

В Приложении А приведен элементарный (хотя и слегка жульнический) вывод этих уравнений практически без использования ОТО. Он позволяет лучше почувствовать их физический смысл. Там же дан и более строгий, но нетрадиционный вывод из вариационного принципа ОТО.

Два независимых уравнения из вышеприведенных трех (2.5,2.6,2.7) содержат три неизвестных функции, $a(t)$, $\rho(t)$ и $P(t)$. Чтобы полностью определить систему необходимо еще одно уравнение. Обычно этим уравнением является уравнение состояния, выражающее плотность давления как функцию плотности энергии, $P = P(\rho)$. Во многих практически интересных случаях справедливо линейное соотношение:

$$P = w\rho, \quad (2.9)$$

где w – обычно некоторый постоянный параметр. Последнее, однако, не обязательно и нередко обсуждаются версии теории с $w = w(t)$. Такое предположение естественно делать для феноменологического описания и анализа наблюдательных данных при разных красных смещениях (т.е. в разные моменты космологической эволюции). Также $w(t)$ естественно возникает, например, в случае, когда гравитирующая материя оказывается каким-то динамическим полем. Тогда $w(t)$ определяется уравнениями движения этого поля, см. ниже раздел 6. Заметим, что соотношение $P = P(\rho)$, строго говоря, не всегда справедливо. Давление может выражаться через плотность энергии через ее производные или интеграл по времени, или может зависеть от других термодинамических переменных (температура, удельная энтропия и т.д.). Но разумеется, соотношение (2.9) формально всегда справедливо: $w(t) = P(t)/\rho(t)$.

В более простых, но практически интересных случаях $w = \text{const}$. Например, для нерелятивистского вещества $P \ll \rho$, поэтому полагают $w = 0$. Для релятивистского вещества, как известно, $w = 1/3$. Закон космологического расширения имеет особенно простой вид при $k = 0$, см. уравнение (2.5), когда трехмерное пространство является плоским, евклидовым. Согласно наблюдениям именно это с хорошей точностью и реализуется в нашем мире. В нерелятивистском случае масштабный фактор растет по закону:

$$a_{\text{NR}}(t) \sim t^{2/3}. \quad (2.10)$$

В релятивистском случае закон расширения имеет вид:

$$a_{\text{rel}}(t) \sim t^{1/2}. \quad (2.11)$$

Фридманом были найдены решения уравнений (2.5,2.6,2.7) для различных законов расширения и *предсказано* расширение вселенной, впоследствии обнаруженное в астрономических наблюдениях. Обычно это открытие приписывают Хабблу [7], однако оно было обнаружено ранее Леметром [8]. Поэтому закон расширения вселенной было бы уместно называть законом Фридмана-Леметра-Хаббла.

По какой-то причине Эйнштейн был противником нестационарной вселенной и длительное время (до работы Хаббла) не признавал решений Фридмана. Пытаясь применить уравнения ОТО к космологии, Эйнштейн обнаружил, что стационарные решения отсутствуют и для “спасения” стационарной вселенной предложил ввести в уравнения (3.16) дополнительное слагаемое, так называемый Лямбда-член или, что то же, космологическую постоянную [9]:

$$R_{\mu\nu} - \frac{1}{2}g_{\mu\nu}R - \Lambda g_{\mu\nu} = \frac{8\pi}{m_{Pl}^2} T_{\mu\nu}. \quad (2.12)$$

Введение этого члена не нарушает ковариантного сохранения правой и левой части этого уравнения. Тензор Эйнштейна автоматически сохраняется в метрической теории:

$$D_\mu \left(R^\mu_\nu - \frac{1}{2}g^\mu_\nu R \right) \equiv 0. \quad (2.13)$$

Это так называемое свёрнутое тождество Бьянки, которое автоматически выполняется в римановой геометрии. Зануление производной тензора Эйнштейна напоминает автоматическое обращение в ноль производной левой части уравнений Максвелла, $\partial_\mu \partial_\nu F^{\mu\nu} \equiv 0$. Правая часть уравнения (2.12) ковариантно сохраняется, см. (2.8), в силу общей ковариантности, т.е. инвариантности теории относительно выбора системы координат. Ковариантная производная метрического тензора равна нулю по построению теории. Это легко проверить, если найти ковариантную производную метрики:

$$\begin{aligned} g_{ik;m} &= \partial_m g_{ik} - \Gamma_{im}^j g_{jk} - \Gamma_{km}^j g_{ij} = \partial_m g_{ik} - \Gamma_{kim} - \Gamma_{ikm} \\ &= \underline{\partial_m g_{ik}} - \frac{1}{2} \left(\underline{\partial_m g_{ik}} + \underline{\partial_i g_{mk}} - \underline{\partial_k g_{im}} \right) - \frac{1}{2} \left(\underline{\partial_m g_{ki}} + \underline{\partial_k g_{mi}} - \underline{\partial_i g_{km}} \right) = 0. \end{aligned} \quad (2.14)$$

Здесь члены, подчёркнутые одинаковыми символами, взаимно уничтожаются при учёте симметрии $g_{ik} = g_{ki}$. Поэтому ковариантное сохранение всех слагаемых в уравнении (2.12) не будет нарушено, если $\Lambda = \text{const}$. Отсюда и имя — космологическая постоянная.

По мысли Эйнштейна антигравитация, создаваемая Лямбда-членом, могла бы компенсировать гравитационное притяжение обычного вещества и обеспечить стационарность вселенной. Подобное стационарное решение действительно существует, но оно неустойчиво и, что главное, противоречит позднему открытому расширению вселенной. Поэтому впоследствии Эйнштейн отказался от гипотезы о существовании Лямбда-члена, полагая его величайшей ошибкой (blunder) своей жизни (со слов Г. Гамова в книге “Моя мировая линия”, впрочем, точная цитата нам неизвестна).

Впоследствии стало ясно, что космологическая постоянная эквивалентна энергии вакуума с тензором энергии-импульса:

$$T_{\mu\nu}^{\text{vac}} = g_{\mu\nu} \rho^{\text{vac}} \quad (2.15)$$

и с уравнением состояния $P = -\rho$ (ссылки см., например, в обзоре [10]). Очевидно, что при доминантности вакуумной энергии вселенная должна расширяться ускоренно с экспоненциально растущим масштабным фактором:

$$a^{\text{vac}}(t) \sim \exp[H_{\text{vac}} t], \quad (2.16)$$

где $H_{\text{vac}}^2 = 8\pi\rho^{\text{vac}}/3m_{Pl}^2 \approx \text{const}$.

Заметим еще, что согласно уравнению (2.7) плотность энергии релятивистского вещества убывает, как $1/a^4$, а нерелятивистского, как $1/a^3$. В эпоху доминантности как того, так и другого, космологическая плотность энергии падает со временем, как $1/t^2$. С другой стороны, плотность энергии вакуума не изменяется ни при расширении, ни при сжатии, $\rho^{\text{vac}} = \text{const}$.

Такое поведение космологической плотности энергии объясняет связь геометрии пространства и окончательной судьбы вселенной. Особенно просто эту судьбу выяснить при отсутствии вакуумной или тёмной энергии. Согласно уравнению (2.5) при $k > 0$, т.е. в замкнутой вселенной, член пропорциональный кривизне, k/a^2 , рано или поздно окажется больше, чем слагаемое, пропорциональное плотности энергии материи, которое убывает, по крайней мере, как $1/a^3$. Следовательно, H обратится в ноль, и затем расширение сменится сжатием.

Космологические решения в теории с Лямбда-членом исследовались в работах Фридмана [3, 4], а также в работах [11–14]. Авторы последних работ считали, вопреки Эйнштейну, что добавление космологической постоянной в уравнения (2.12) было чрезвычайно важным обобщением ОТО. С другой стороны, многие очень хорошие физики относились к космологической постоянной крайне отрицательно. В частности Гамов в своей автобиографической книге “Моя мировая линия” по поводу астрономических данных, указывающих на ненулевое значение последней в середине 1960-ых годов, писал: “Лямбда опять поднимает свою безобразную голову”. Впрочем, эти указания впоследствии было исчезли, но позднее появились снова - см. раздел 4.1

Однако, как мы увидим в следующем разделе, квантовая теория поля не только требует, чтобы космологическая постоянная (или, что то же, энергия вакуума) была отлична от нуля, но и предсказывает громадную величину последней.

3 Проблема вакуумной энергии

Проблема вакуумной энергии, по-видимому, наиболее серьезная проблема современной фундаментальной физики. Теоретические оценки различных вкладов в вакуумную энергию приводят к фантастически громадному результату. Не будет большим преувеличением сказать, что теория предсказывает $\rho^{\text{vac}} \approx \infty$. Разногласие между теорией и астрономическими данными составляет величину порядка $10^{50} - 10^{100}$. Разброс этих значений отвечает различным физическим источникам вакуумной энергии. Громадная величина теоретических вкладов и ничтожно малый суммарный результат заставляют вспомнить высказывание Фейнмана о радиационных поправках в квантовой электродинамике: “Поправки бесконечны, но малы.”

Вакуумом в квантовой теории называется состояние с низшей энергией и, вообще говоря, эта энергия не обязана быть равной нулю. Вспомним хорошо известный пример квантового осциллятора, для которого энергия основного уровня равна $\omega/2$, где ω -частота осциллятора.

Если вакуумная энергия отлична от нуля, то отвечающий ей тензор энергии-импульса должен быть пропорционален метрическому тензору, см. уравнение (2.15), так как это единственный симметричный “инвариантный” тензор второго порядка, т.е. тензор, который не изменяется при переходе из одной системы координат в другую, что естественно ожидать для вакуума.

Квантовое поле представляет собой бесконечный набор осцилляторов со всеми возможными частотами. Соответственно плотность энергии вакуумных квантовых флуктуаций какого-либо бозонного поля оказывается бесконечно большой (см. приложение В):

$$\rho_b^{\text{vac}} = \langle \mathcal{H}_b \rangle_{\text{vac}} = \int \frac{d^3k}{(2\pi)^3} \frac{\omega_k}{2} \langle a_k^\dagger a_k + b_k b_k^\dagger \rangle_{\text{vac}} = \int \frac{d^3k}{2(2\pi)^3} \omega_k = \infty^4. \quad (3.1)$$

Здесь $\langle \mathcal{H}_b \rangle_{\text{vac}}$ среднее вакуумное значение гамильтониана этого бозонного поля, $\omega_k = (k^2 + m^2)^{1/2}$ – энергия кванта с импульсом k и массой m , а a_k, a_k^\dagger и b_k, b_k^\dagger – операторы уничтожения и рождения частиц и античастиц соответственно.

Если вычислить давление квантовых флуктуаций вакуума, то оно также окажется бесконечным. Если при этом воспользоваться выражениями (11.5) из Приложения В, фор-

мально обрезая интегралы для ρ и P на одном и том же верхнем пределе, то вычисленные таким образом вакуумные средние не будут удовлетворять условию $\rho^{\text{vac}} = -P^{\text{vac}}$. На этом основании в работе [15] был сделан вывод, что вакуумные флуктуации нарушают Лоренц-инвариантность вакуума, а так как вакуум должен быть Лоренц-инвариантен, то надо потребовать, чтобы наиболее расходящиеся члены, которые якобы нарушают Лоренц инвариантность, обращались бы в ноль. Однако обращения с бесконечно расходящимися интегралами требует осторожности и, в частности, сравнение формально равных выражений для разных величин вовсе не требует того, что они и в самом деле равны, см. ниже пример с сокращением бозонных и фермионных вкладов в суперсимметричном мире, когда получающийся конечный (с точностью до логарифмической расходимости) результат удовлетворяет необходимому Лоренц-инвариантному условию $\rho^{\text{vac}} = -P^{\text{vac}}$.

Очевидно, что жизнь в мире с бесконечно большой плотностью энергии невозможна. Он либо расширится с “бесконечно” большой скоростью, если плотность энергии положительна, либо мгновенно схлопнется в сингулярность, если она отрицательна. К счастью, из-за замены коммутаторов на антикоммутаторы при квантовании, фермионные поля вносят точно такой же по величине, но противоположный по знаку вклад:

$$\rho_{\text{vac}}^{(f)} \equiv \langle \mathcal{H}_f \rangle_{\text{vac}} = \int \frac{d^3k}{(2\pi)^3} \frac{\omega_k}{2} \langle a_k^\dagger a_k - b_k b_k^\dagger \rangle_{\text{vac}} = - \int \frac{d^3k}{(2\pi)^3} \omega_k = -\infty^4. \quad (3.2)$$

Поэтому, если бы для каждого бозона существовал бы фермионный партнер с точно равной по величине массой, то вакуумная энергия квантовых флуктуаций обратилась бы в ноль. Этот факт был впервые отмечен Паули [16] и независимо Зельдовичем [17], см. также [18], где подробно обсуждается работа Паули. Интересно, что идея о сокращении вакуумных энергий бозонов и фермионов появилась еще до появления работ, где была предложена теория суперсимметрии [19], при наличии которой это сокращение естественно происходит. Однако суперсимметрия, если она и существует, не является точной, и массы бозонов и фермионов должны сильно различаться. При этом расходимости четвертой степени будут все же сокращаться независимо от масс. При так называемом мягком нарушении суперсимметрии должны сократиться и квадратичные расходимости, но конечный остаток, пропорциональный разности масс обычных частиц и их суперпартнёров, оказывается колоссальным в космологических масштабах:

$$\rho_{\text{SUSY}}^{\text{vac}} \sim m_{\text{SUSY}}^4 > 10^{55} \rho_c. \quad (3.3)$$

где $\rho_c \approx 4 \times 10^{-47} \text{ ГэВ}^4$ – космологическая плотность энергии в сегодняшней вселенной (см. Приложение Б), а m_{SUSY} – массовый масштаб нарушения суперсимметрии, который согласно имеющимся экспериментальным ограничениям должен быть выше 100 ГэВ. Отсутствие сигнала от суперсимметричных частиц на большом адронном коллайдре (ЛНС) в ЦЕРН, по-видимому, говорит, либо, что m_{SUSY} должна быть заметно выше, либо, что суперсимметрии вообще не существует.

Отметим, что суммарный вклад бозонов и фермионов с массами, которые подобраны так, чтобы квадратично и квадратично расходящиеся вклады сокращались, дает логарифмически расходящийся результат, удовлетворяющий условию $\rho = -P$, так что Лоренц-инвариантность, как уже отмечалось, не нарушается. При этом ясно, что ответ расходится, как вторая и даже четвертая степень массы при разности масс, стремящейся к бесконечности.

Если точная суперсимметрия приводит к нулевой вакуумной энергии, то в нарушенной суперсимметрии это не обязательно. Более того, так называемая глобальная суперсимметрия при мягком ее нарушении, которое не портит перенормируемости теории, требует ненулевой величины вакуумной энергии, близкой по величине к указанной выше m_{SUSY}^4 . Однако, если расширить теорию, включив в нее гравитацию, т.е. рассмотреть теорию супергравитации (SUGRA), то утверждение об обязательности ненулевой вакуумной энергии

снимается и за счет очень тонкой подгонки параметров можно получить $\rho_{\text{SUGRA}}^{\text{vac}} = 0$. Однако естественное значение вакуумной энергии в такой теории составляет $\rho^{\text{vac}} \sim m_{\text{Pl}}^4$, так что необходимая подгонка для сокращения вакуумной энергии должна иметь точность около 10^{-123} , что выглядит крайне неестественным.

Интересно отметить, что в ходе космологической эволюции вакуумная энергия претерпевала колоссальные скачки при фазовых переходах от симметричной фазы к фазе с нарушенной симметрией. Дело в том, что в основе современной теории элементарных частиц лежит понятие спонтанно нарушенной (калибровочной) симметрии. При охлаждении вселенной изменяется вакуумное состояние в такой теории. При этом скачок в плотности энергии составляет $\delta\rho^{\text{vac}} \sim 10^{60}$ ГэВ⁴ для фазового перехода в модели большого объединения (GUT), $\delta\rho^{\text{vac}} \sim 10^8$ ГэВ⁴ – в электрослабой теории и $\delta\rho^{\text{vac}} \sim 10^{-2}$ ГэВ⁴ – в квантовой хромодинамике (КХД) при переходе от фазы конфайнмента к деконфайнменту.

Проблема вакуумной энергии приобретает особую серьезность, если рассмотреть структуру вакуума квантовой хромодинамики. Как известно, протон состоит из трех легких кварков: $p \sim uud$, масса каждого из которых, грубо говоря, 5 МэВ. Посему следует ожидать, что масса протона должна быть весьма мала, $m_p \sim (15 \text{ МэВ} - E_B) < 15 \text{ МэВ}$, где E_B – энергия связи кварков в протоне. Полученный результат, по крайней мере, в 60 раз меньше массы протона. Недостающий вклад в массу берется из нетривиальных свойств вакуума КХД. Вопреки интуитивному ожиданию этот вакуум оказывается не пустым, а заполненным конденсатом кварковых [20] и глюонных [21] полей:

$$\langle \bar{q}q \rangle \neq 0, \quad \langle G_{\mu\nu}G^{\mu\nu} \rangle \neq 0. \quad (3.4)$$

Плотность энергии этих конденсатов отрицательна и составляет примерно 1 ГэВ⁴. Это разумная величина по меркам физики элементарных частиц и громадная по космологическим стандартам современной вселенной:

$$\rho_{\text{QCD}}^{\text{vac}} \approx -10^{45} \rho_c. \quad (3.5)$$

Внутри протона кварки уничтожают глюонный конденсат, отсутствие которого поднимает массу протона до нужной величины:

$$m_p = 2m_u + m_d - \rho^{\text{vac}} l_p^3 \sim 1 \text{ ГэВ}, \quad (3.6)$$

где l_p – размер протона.

Возникает почти мистическая ситуация. Прекрасно установленная, согласующаяся с экспериментом теория говорит, что вакуум не пустой. В нем “живут” кварковые и глюонные поля, плотность энергии которых на 45 порядков превышает космологическую. Тем не менее полная плотность вакуумной энергии равна космологической. Что-то еще “живет” в вакууме и это “что-то”, возможно, какое-то новое поле, компенсирует $\rho_{\text{QCD}}^{\text{vac}}$ на 45 порядков. Заметим, что это новое поле должно быть лёгким, иначе оно не могло бы действовать на космологических масштабах. Кроме того, оно ничего не знает ни о кварках, ни о глюонах. В противном случае, если бы это поле заметно взаимодействовало с ними, то оно было бы обнаружено на эксперименте. Очевидно, вакуумная энергия описывается одним параметром, и все описанные вклады можно компенсировать одной единственной вычитательной константой, но такое решение выглядит весьма неестественным.

Проблема усугубляется еще и тем, что вакуумная (или вакуумно-подобная) энергия немножко не нулевая и по какой-то неясной причине близка по величине к плотности энергии обычной материи (включая сюда тёмную материю), хотя законы космологической эволюции ρ^{vac} и ρ_m совершенно различны. Как мы отмечали выше, ρ^{vac} остается постоянной при расширении вселенной, а ρ_m падает, как куб масштабного фактора a для нерелятивистского вещества и как $1/a^4$ – для релятивистского. В настоящее время имеется ряд попыток решения этой проблемы или, лучше сказать, этих проблем, но ни одну из них

нельзя назвать до конца удачной. Ниже мы их кратко опишем. Более детальные обзоры по этой теме содержатся в работах [22] – [35].

Первое, самое простое и ужасно некрасивое решение, уже упомянутое несколькими строками выше, состоит в том, что все эти вклады в вакуумную энергию компенсируются некоторой исключительно точно подобранной вычитательной константой, которая равна сумме всех физических вкладов в вакуумную энергию с точностью $10^{-45} - 10^{-127}$. Это по существу представляет собой выбор нуля в отсчете энергии. Так как нам надо объяснить величину лишь одного числа, то исключить такую возможность никак нельзя, но она представляется весьма неестественной. Кроме того, хотелось бы, чтобы все вклады в вакуумную энергию происходили от физических полей, а не от какого-то “богом данного” числа.

В несколько лучшем положении является предложение решения проблемы вакуумной энергии на основе антропного принципа, который гласит, что вопрос о величине тех или иных значений фундаментальных постоянных задается наблюдателем, находящимся во вселенной, где имеются подходящие условия для существования этого наблюдателя. Список ранних работ, видимо не полный, по антропному принципу мы даём в ссылках [36–39]; более подробное обсуждение может быть найдено, например, в книгах [40–43].

Для естественной реализации антропного принципа необходимо, чтобы существовало близкое к бесконечному (или даже бесконечное) число вселенных с различными значениями фундаментальных постоянных, в частности, с различными затравочными значениями вакуумной энергии (т.е. с различными вычитательными константами). Весьма естественно космологически большие вселенные с различными физическими свойствами возникают в инфляционной модели [44]. Особенно хороша в этом смысле хаотическая инфляция [45]. По-видимому, впервые идея о большом числе вселенных в применении к решению проблемы вакуумной энергии была высказана в работе [46].

Идея о множественности вселенных получила сильную поддержку в контексте теории суперструн. Эти теории формулируются в 10-мерном пространстве, но предполагается, что дополнительные к нашему миру 6 измерений являются маленькими, компактными. Реалистичный механизм компактификации дополнительных измерений совместимый с инфляцией был предложен в работе [47]. Вскоре было осознано, что существует колоссальное количество способов компактификации этого 6-мерного пространства. Согласно оценке работы [48] количество возможных типов компактификации оказалось около 10^{500} или, возможно, даже заметно больше. Аналогичные идеи о существовании большого числа различных вселенных развивались в работе [49].

Среди этого множества вселенных лишь относительно немногие могут оказаться пригодными для жизни (а могут и не оказаться). В пригодных для жизни вселенных вакуумная энергия, как положительная, так и отрицательная, не может быть слишком большой по абсолютной величине. При большой отрицательной ρ^{vac} вселенная схлопнется еще до образования звезд и планет, а при большой положительной ρ^{vac} расширение будет настолько быстрым, что никакие небесные тела не успеют возникнуть, так как плотность материи очень быстро станет пренебрежимо малой. Этим аргументам был придан количественный характер в работах [50–52]. Было показано, что в случае $\rho^{\text{vac}} > 0$ плотность вакуумной энергии не должна отличаться более, чем на 2-3 порядка от космологической плотности массы обычной материи [51]. В работе [53] антропный принцип был использован для вывода ограничений на значения различных космологических параметров, включая вакуумную энергию.

Более детально вопрос об антропном ограничении на величину вакуумной энергии рассмотрен в работе [54]. Автор делает существенно более сильное утверждение, что антропный принцип предсказывает ненулевую вакуумную энергию, причем довольно близкую по величине к наблюдаемой. Антропное ограничение на величину (положительной) вакуумной энергии может быть получено из требования, что вакуумная энергия могла начать

доминировать лишь позже эпохи образования галактик. Так как плотность энергии обычной материи убывает при космологическом расширении, как куб масштабного фактора, а ρ^{vac} остается постоянной, то должно выполняться условие:

$$\rho^{\text{vac}} < (1 + z_{\text{max}})^3 \rho_m^0, \quad (3.7)$$

где ρ_m^0 -плотность материи в сегодняшней вселенной, а z_{max} -максимальное красное смещение, когда начинают образовываться галактики.

Согласно работе [54] при $z_{\text{max}} \sim 10$ антропное ограничение на плотность вакуумной энергии составляет $\rho^{\text{vac}} < 4000\rho_m^0$. Это ограничение было улучшено в работе [51] (см также [55]): $\rho^{\text{vac}} < 100\rho_m^0$, где было впервые отмечено, что не все значения Λ совместимы с наличием во Вселенной разумной жизни.

В работе [56] антропные соображения применялись к трем временным масштабам: времени образования галактик, моменту доминантности космологической постоянной в плотности энергии Вселенной и возрасту Вселенной и был сделан вывод, что плотность вакуумной энергии близка к наблюдаемой.

Близкое утверждение о малости вакуумной энергии сделано в работе [57], однако, по словам авторов, нулевая вакуумная энергия намного более вероятна, чем наблюдаемая величина тёмной энергии.

Детальный анализ антропного подхода к вероятности того или иного значения вакуумной энергии был проведен в работах [58, 59]. Хотя авторы и сходятся во мнении, что антропные соображения говорят в пользу наибольшей вероятности малой вакуумной энергии, близкой к критической плотности энергии, всё же их результаты слегка различаются. Учитывая неопределенность оценок, можно говорить о хорошем их согласии.

Отрицательная плотность энергии вакуума ведет к гравитационному притяжению и, чтобы избежать раннего сжатия вселенной до того, как она состарилась до современного возраста, необходимо выполнение условия $|\rho^{\text{vac}}| < \rho_m^0$.

Несмотря на очевидные успехи в понимании возможности естественной реализации антропного принципа, остается чувство неудовлетворенности теорией, в которой нет возможности динамического вычисления основных параметров. В этой связи хочется вспомнить о проблемах фридмановской космологии, для решения которых пришлось бы применять антропный принцип, если бы не было найдено красивое и экономное инфляционное решение, давшее чёткое количественное предсказание о спектре возмущений плотности. Критику антропного подхода можно найти в статье [60]. Но в физике любой подход имеет право на существование, пока и поскольку он не противоречит опыту и хорошо установленным теориям в области их применения.

Какое-то время назад возлагались надежды на существование симметрии, которая требовала бы нулевого значения Лямбда-члена, как это происходит в ненарушенной суперсимметрии. Похоже, эти надежды оказались тщетными. Симметрия должна реализовываться при достаточно низких энергиях, наверняка, ниже 100 МэВ, иначе будет невозможно компенсировать вакуумную энергию в КХД (3.5), а при этих энергиях физика хорошо известна и никакой подходящей симметрии там наверняка не существует. Более того, чтобы получить наблюдаемое значение вакуумной (или вакуумо-подобной) энергии на уровне $(10^{-12} \text{ ГэВ})^4$, мы должны сдвинуться в область гораздо более низких, чем 100 МэВ, энергий.

С точки зрения, по крайней мере, одного из авторов этого обзора наиболее интересным представляется механизм динамической компенсации вакуумной энергии, предложенный в работе [63] в 1982 году. Предполагается, что существует новое лёгкое или безмассовое поле, ϕ , таким образом связанное с гравитацией, что при наличии вакуумной энергии возникает конденсат этого поля, энергия которого компенсирует исходную вакуумную энергию. Этот механизм напоминает известное решение проблемы нарушения CP-инвариантности аксионным полем. Само предположение, что обратная реакция системы на внешнее воздействие

стремится уменьшить это воздействие, является совершенно общим. Оно известно в химии с XIX века и носит название принципа Ле Шателье (Le Chatelier).

Исходная идея [63] и множество последующих предложений (см. обсуждения в обзорах [22] – [35]) опирались на использование скалярного поля, однако не исключены и поля высших спинов, например, векторное [64] или тензорное [65]. Независимо от конкретной реализации, эти предсказания имеют общие и весьма привлекательные черты. Во-первых, вклад энергии-импульса ϕ в космологическую динамику приводит к тому, что исходное экспоненциальное расширение переходит в степенное. Во-вторых, компенсация вакуумной энергии полем ϕ не является полной, а лишь с точностью до величины порядка $\rho_c(t)$. В-третьих, “недокомпенсированное” значение вакуумной энергии может иметь необычное уравнение состояния, в частности приводящее к ускоренному расширению. Таким образом, подобный механизм в принципе решает не только проблему компенсации вакуумной энергии от гигантской величины, типичной для физики элементарных частиц, до космологически малых значений, но и позволяет решить так называемую проблему совпадения, т.е. объяснить близость величины несокомпенсированной тёмной энергии ρ_{DE} к полной, зависящей от времени плотности энергии во вселенной, $\rho_c(t)$ в полном соответствии с тем, что мы видим на небе. В этом смысле наличие космологической тёмной энергии было предсказано в 1982 году [63] задолго до ее астрономического наблюдения. К сожалению, до настоящего времени, несмотря на многочисленные попытки, не удалось найти реалистической космологической модели, включающей этот механизм.

По-видимому, впервые предположение, что вакуумная энергия может зависеть от времени и быть близкой по величине к космологической плотности энергии, было высказано Матвеем Бронштейном [66]. Однако, взятые буквально модели с $\Lambda = \Lambda(t)$ далеко не безобидны, так как ковариантное сохранение левой части уравнений Эйнштейна требует, как известно, $\Lambda = \text{const}$, см. обсуждение сразу после уравнения (2.12). Чтобы компенсировать несохранение вакуумной энергии, вводят равное по величине, но противоположное по знаку несохранение тензора энергии-импульса материи, $T_{\mu\nu}$. Однако при этом теряется предсказательная сила теории, так как подобные модели говорят лишь о том, чему должна быть равна ковариантная дивергенция:

$$D_\mu T_\nu^\mu = -(m_{Pl}^2/8\pi) \partial_\nu \Lambda, \quad (3.8)$$

но ничего не могут сказать о величине $T_{\mu\nu}$. По подобной причине работа Бронштейна была подвергнута Ландау довольно жёсткой критике.

Напомним, что в ОТО тензор энергии-импульса вычисляется как функциональная производная действия материи по метрике, так что он автоматически сохраняется в силу принципа общей ковариантности. Отказ от последнего привел бы, вообще говоря, к ненулевой массе гравитона в противоречии с наблюдениями. (См. работу [61] об анализе модифицированных теорий гравитации на масштабах звёзд и галактик с учётом возможного нарушения механизма Вайнштейна [62], который мог бы помочь избежать проблем с конечной массой гравитона.) Другая возможность – это революционная модификация теории гравитации, например, обращение к неметрическим теориям.

Можно, однако, избежать всех этих проблем, если ввести в теорию новое легкое или безмассовое поле, которое имеет приближенное уравнение состояния $P \approx -\rho$, отвечающее квазипостоянной вакуумо-подобной плотности энергии.

Первая модель динамического сокращения вакуумной энергии, предложенная в работе [63], опиралась на безмассовое скалярное поле, неминимально связанное с гравитацией и удовлетворяющее уравнению движения вида:

$$\ddot{\phi} + 3H\dot{\phi} + U'(\phi, R) = 0. \quad (3.9)$$

Потенциал $U(\phi, R)$ был выбран в простейшей форме, $U = \xi R\phi^2/2$. Легко видеть, что при $\xi R < 0$ это уравнение в пространстве де Ситтера имеет неустойчивые, экспоненциально

растущие со временем, решения, так как при постоянной кривизне R квадрат эффективной массы поля ϕ отрицателен. Аналогичное положение имеет место в модели Хиггса, когда длинноволновые состояния с $\phi = 0$ оказываются неустойчивыми.

С ростом ϕ уже нельзя пренебрегать его воздействием на космологическую эволюцию и, как легко проверить, исходно экспоненциальное расширение, $a(t) \sim \exp(H_v t)$, асимптотически перейдет в степенное:

$$\phi \sim t, \quad a(t) \sim t^\beta, \quad (3.10)$$

где β - некоторая постоянная, выражающаяся через параметры модели. Таким образом, обратная реакция ϕ на космологическое расширение приводит к превращению экспоненциального закона расширения во Фридмановский, несмотря на наличие исходно ненулевой вакуумной энергии.

К числу недостатков этой простой модели, основанной на скалярном поле, следует отнести то, что тензор энергии-импульса этого поля не пропорционален метрическому тензору,

$$T_{\mu\nu}(\phi) \neq \tilde{\Lambda} g_{\mu\nu}. \quad (3.11)$$

и потому вакуумная энергия не зануляется даже и асимптотически. Изменение режима расширения достигается благодаря ослаблению гравитационного взаимодействия, константа которого падает со временем, в начале экспоненциально, а затем, как квадрат времени:

$$G_N \sim 1/t^2. \quad (3.12)$$

Если бы подобное изменение G_N имело место в ранней вселенной, а позже как-то стабилизировалось, то этот механизм мог бы объяснить иерархию гравитационного и электрослабого масштабов [67].

Успешные предсказания теории первичного нуклеосинтеза требуют, чтобы G_N изменилась не более, чем на 10% от момента, когда возраст вселенной был около одной секунды, до нашего времени [68–71]. Еще более сильные ограничения на переменность G_N следуют из анализа прихода сигнала от пульсара J1713+0747 (метод так называемого пульсарного тайминга – pulsar timing): $\dot{G}_N/G_N = (-0.6 \pm 1.1) \cdot 10^{-12} \text{ лет}^{-1}$ (99.7%CL), что по крайней мере в 30 раз медленнее, чем скорость расширения Вселенной [72]. Так что стабилизация изменения G_N со временем явно необходима. Однако имеются указания на некоторую мистическую переменность $G_N(t)$ [73, 74].

К настоящему времени опубликовано несколько десятков работ, где обсуждаются различные механизмы динамической компенсации вакуумной энергии скалярным полем. Ранние работы приведены в [75] – [85], а также в [86–89], где в основном речь идет о феноменологическом описании темной энергии скалярным полем. Ссылки на более поздние статьи можно найти в обзорах [22] – [35]. К сожалению, ни один из предложенных механизмов нельзя считать полностью удовлетворительным.

С. Вайнбергом была сформулирована теорема о невозможности (no-go theorem) естественной компенсации вакуумной энергии скалярным полем (см. статью [22]), основанная на том, что для компенсации необходимо выполнение двух условий: равенства нулю суммы $\rho_{\text{tot}} = \rho^{\text{vac}} + \rho_\phi$ и зануления в этой точке производной потенциала $U'(\phi, R)$. Последнее условие означает, что то значение ϕ , где исчезает полная вакуумо-подобная энергия, $\rho_{\text{tot}} = 0$, является одновременно и решением уравнения движения (3.9) с $\phi = \text{const}$. Однако, как это нередко бывает в физике, теоремы о невозможности удается обойти, изменив условия задачи. В частности, можно обратиться к полям с ненулевым спином (см. ниже) или же, модифицировав форму взаимодействия ϕ с гравитацией, как это было сделано в работе [90] и более детально рассмотрено в работах [91, 92]. Основная идея этих работ состоит в том, чтобы модифицировать кинетический член скалярного поля, введя в него коэффициент

обратно пропорциональный квадрату кривизны:

$$A = \int d^4x \sqrt{g} \left[-\frac{1}{2}(R + 2\Lambda) + F_1(R) + \frac{D_\mu \phi D^\mu \phi}{2R^2} - U(\phi, R) \right]. \quad (3.13)$$

Здесь используется система единиц, в которой $m_{Pl}^2/8\pi = 1$.

Соответствующее уравнение движения для ϕ имеет вид:

$$D_\mu \left[D^\mu \phi \left(\frac{1}{R} \right)^2 \right] + U'(\phi) = 0, \quad (3.14)$$

которое в FRW-метрике для пространственно однородного поля $\phi(t)$ сводится к:

$$\left(\frac{d}{dt} + 3H \right) \left(\frac{\dot{\phi}}{R^2} \right) + U'(\phi) = 0, \quad (3.15)$$

а уравнения Эйнштейна приобретают, в частности, дополнительное слагаемое пропорциональное высшим производным поля ϕ :

$$R_{\mu\nu} - \frac{1}{2}g_{\mu\nu}R - 4C_1 \left(R_{\mu\nu} - \frac{1}{4}g_{\mu\nu}R + g_{\mu\nu}D^2 - D_\mu D_\nu \right) R - \frac{D_\mu \phi D_\nu \phi}{R^2} + \frac{(D_\alpha \phi)^2}{2R^2} \left(g_{\mu\nu} + \frac{4R_{\mu\nu}}{R} \right) - g_{\mu\nu} [U(\phi) + \rho_{vac}] + 2(g_{\mu\nu}D^2 - D_\mu D_\nu) \frac{(D_\alpha \phi)^2}{R^3} = T_{\mu\nu}, \quad (3.16)$$

где $T_{\mu\nu}$ - тензор энергии-импульса вещества и $(D\phi)^2 \equiv D_\alpha \phi D^\alpha \phi$ и для простоты мы положили $F_1(R) = C_1 R^2$.

Взяв след по индексам μ и ν , получим

$$-R + 3 \left(\frac{1}{R} \right)^2 (D_\alpha \phi)^2 - 4[U(\phi) + \rho^{vac}] - 6D^2 \left[2C_1 R - \left(\frac{1}{R} \right)^2 \frac{(D_\alpha \phi)^2}{R} \right] = T_\mu^\mu. \quad (3.17)$$

В пространственно однородном случае ковариантный оператор Д'Аламбера, действующий на скаляр имеет вид $D^2 = d^2/dt^2 + 3Hd/dt$, причем параметр Хаббла связан со скаляром кривизны соотношением

$$R = -6 \left(2H^2 + \dot{H} \right). \quad (3.18)$$

Уравнения (3.15,3.17,3.18) полностью описывают нашу систему в отсутствии обычного вещества. Как показано в работах [91, 92] эти уравнения даже при исходно ненулевой вакуумной энергии имеют асимптотическое решение:

$$\begin{aligned} H &= h/t, \\ R &= r/t^2, \\ [U(\phi) - \rho_{vac}] &\sim 1/t^2. \end{aligned} \quad (3.19)$$

Амплитуда поля ϕ стремится к значению, при котором потенциал $U(\phi)$ компенсирует исходно ненулевую вакуумную энергию и экспоненциальный закон расширения переходит во фридмановский. Следовательно, это решение компенсирует вакуумную энергию, позволяя избежать запрет Вайнберга. Решение обладает и другими привлекательными свойствами, в частности, можно показать, что отвечающий ему параметр Хаббла равен $H = 1/(2t)$, как это имеет место в реальной космологии на стадии доминантности релятивистского вещества. Однако это значение H никак не связано с тем, какое вещество содержится во вселенной, тогда как в обычной космологии $H \sim \sqrt{\rho}$.

Кроме того, оказывается, что такие “хорошие” решения неустойчивы [92]. Для приведенного выше решения (3.19) последнее слагаемое в правой части уравнения (3.17), содержащее D^2 , оказывается малым, несущественным. Однако при изучении устойчивости решений того или иного уравнения члены с высшими производными должны быть сохранены, так как они коренным образом влияют на устойчивость. В цитированной выше работе было показано, что именно члены с высшими производными ведут к сингулярному решению с R и H обращающимися в бесконечность за конечное и короткое время. В общем решении знак кривизны изменяется с исходно отрицательного на положительный, причем параметр Хаббла стремится к минус бесконечности, приводя к коллапсу Вселенной, независимо от наличия обычного вещества.

Более общее действие вида

$$A = \int d^4x \sqrt{-g} \left[-\frac{m_{Pl}^2}{16\pi} (R + 2\Lambda) + F_2(\phi, R) D_\mu \phi D^\mu \phi + F_3(\phi, R) D_\mu \phi D^\mu R - U(\phi, R) \right] \quad (3.20)$$

пока не исследовано. Кроме того, в принципе в действие можно бы включить члены, зависящие от $R_{\mu\nu}$ или $R_{\mu\nu\alpha\beta}$ в надежде получить реалистическую модель. Однако, наличие высших тензоров кривизны, помимо скаляра, вообще говоря, должно приводить к тахионам или духам в теории гравитации, которых счастливо избегает ОТО или теории с действием, зависящим лишь только от R , несмотря на наличие в действии вторых производных.

Теорему Вайнберга удастся обойти также в модели динамической компенсации с двумя скалярными полями [93–97]. Одно из двух скалярных полей ϕ , рассмотренных в модели работы [96], имеет обычный кинетический член, а второе - сингулярный при $\phi \rightarrow 0$:

$$L_{\text{kin}} = \frac{1}{2} \partial_\mu \phi \partial^\mu \phi + \frac{\mu^{2p}}{2\phi^{2p}} \partial_\mu \chi \partial^\mu \chi \quad (3.21)$$

и в этом смысле напоминает более позднюю работу [90], заставляя релаксировать поле ϕ вблизи нуля. Точнее, надо бы сказать наоборот: в работе [90] используется эта идея работы [96]. Это приводит к довольно заметному сходству обеих работ как в достоинствах, так и недостатках.

Возможно, компенсирующие поля с ненулевым спином смогут решить проблему вакуумной энергии успешнее, чем скалярное поле. Модель компенсирующего векторного поля, V_μ , была предложена в работе [64] с лагранжианом, выбранным в форме:

$$L_1 = \eta [F^{\mu\nu} F_{\mu\nu}/4 + (V_{;\mu}^\mu)^2] + \xi R m^2 \ln \left(1 + \frac{V^2}{m^2} \right). \quad (3.22)$$

В этой теории временная компонента поля, V_t , оказывается неустойчивой в пространстве де Ситтера и растет со временем:

$$V_t \sim t + c/t. \quad (3.23)$$

Доминирующий член в тензоре энергии-импульса, отвечающего этому решению, пропорционален метрическому тензору и имеет вид:

$$T_{\mu\nu}(V_t) = -\rho^{\text{vac}} g_{\mu\nu} + \delta T_{\mu\nu}, \quad (3.24)$$

где $\delta T_{\mu\nu}$ асимптотически стремится к нулю.

В этой модели гравитационная постоянная зависит от времени, но лишь логарифмически, что могло бы и не противоречить имеющимся ограничениям на вариацию G_N . Однако схема обладает типичным недостатком известных компенсационных механизмов, а именно отсутствием связи между темпом космологического расширения, H , и плотностью энергии материи во вселенной, как это имеет место в обычной космологии, см. (2.5).

Другую интересную возможность открывает безмассовое тензорное поле второго ранга, $S_{\mu\nu}$ [65], с лагранжианом, который содержит лишь кинетические члены:

$$\mathcal{L}_2 = \eta_1 S_{\alpha\beta;\gamma} S^{\alpha\gamma;\beta} + \eta_2 S_{\beta;\alpha}^\alpha S^{\gamma\beta}_{;\gamma} + \eta_3 S_{\alpha;\beta}^\alpha S^\gamma_{;\beta} . \quad (3.25)$$

Иными словами, это свободное поле с минимальным гравитационным взаимодействием. Как известно, безмассовое поле должно взаимодействовать с сохраняющимся источником во избежание инфракрасной катастрофы. С другой стороны, единственным сохраняющимся источником тензорного поля второго ранга является тензор энергии-импульса, см. например книгу [98]. Отсюда делается вывод, что единственным безмассовым полем спина два может быть лишь только гравитон. Однако для свободных полей это ограничение неприменимо, и безмассовое тензорное поле второго ранга не исключено. Отметим еще, что лагранжиан (3.25) зависит только от производных поля и поэтому инвариантен при сдвиге на ковариантно постоянный тензор второго ранга. В силу этого квантовые радиационные поправки не должны генерировать массу для $S_{\alpha\beta}$. В этом состоит важное отличие от скалярного поля, для которого, вообще говоря, масса может возникнуть в результате радиационных поправок.

В плоской метрике Фридмана-Робертсона-Уокера компоненты поля $S_{\alpha\beta}$ удовлетворяют следующим уравнениям:

$$(\partial_t^2 + 3H\partial_t - 6H^2)S_{tt} - 2H^2 s_{jj} = 0, \quad (3.26)$$

$$(\partial_t^2 + 3H\partial_t - 6H^2)s_{tj} = 0, \quad (3.27)$$

$$(\partial_t^2 + 3H\partial_t - 2H^2)s_{ij} - 2H^2 \delta_{ij} S_{tt} = 0, \quad (3.28)$$

где $s_{tj} = S_{tj}/a(t)$ and $s_{ij} = S_{ij}/a^2(t)$.

Легко видеть, что временно-временная компонента S_{tt} , и изотропная пространственно-пространственная компонента, $S_{ij} \sim \delta_{ij}$, нестабильны и растут со временем в метрике де Ситтера. Тензор энергии-импульса этих компонент стремится к постоянной величине, пропорциональной метрическому тензору, и компенсирует исходную вакуумную энергию с точностью до членов порядка m_{Pl}^2/t^2 . Однако, хотя это немедленно и не очевидно, константа связи гравитации с веществом меняется со временем, согласно аргументам, представленным в работе [99].

Здесь уместно сделать также следующее общее замечание. Обычно при построении теории полей со спином накладываются дополнительные условия зануления компонент с низшими спинами. Так например, в теории векторного поля устраняется временная компонента вектора, которая является трехмерным скаляром. В теории тензорного поля второго ранга устраняется не только трехмерный скаляр, но и трехмерный вектор. Однако в рассмотренном выше примере ситуация противоположная, когда трехмерно скалярные компоненты четырехмерного тензора остаются физическими, а устранение высших спинов является необходимым. Неясно, можно ли непротиворечиво сформулировать подобную теорию, но в литературе имеется пример калибровочной теории скалярного поля, которое описывается временной компонентой вектора V_t , а компоненты со спином единица исключены [100].

Недавно в серии работ [101–104] были получены многообещающие результаты для механизма динамической компенсации вакуумной энергии в теории нескольких связанных векторных полей, временная компонента которых растет пропорционально времени, компенсируя вакуумную энергию. В такой модели, по-видимому, удаётся избежать отмеченных выше проблем с ростом гравитационной постоянной, хотя “вечная” проблема отсутствия канонической зависимости параметра Хаббла от плотности энергии обычной материи в ранние времена, например, в период первичного нуклеосинтеза, по-видимому, остаётся.

Описанные выше механизмы динамической компенсации вакуумной энергии рассматривались большей частью в рамках инфляции, которая, как мы уже говорили, дала успешное

количественное предсказание спектра возмущений плотности. Тем не менее, пока нельзя говорить об инфляции как о факте, это всё ещё гипотеза, кроме того сама инфляция порождается разными способами, как например, в описанном выше механизме [96]. Помимо инфляции развиваются и другие сценарии, не столь всеобъемлющие, но которые претендуют на объяснение малой величины сегодняшней космологической константы, см., например, [105], где динамический механизм включается в сценарий “циклической вселенной”.

Упомянем в заключение еще одну космологическую проблему, связанную с вакуумной энергией. Именно, современное значение ρ^{vac} очень близко к величине плотности энергии материи, отличаясь от него лишь в два раза, несмотря на существенное различие их эволюции в ходе расширения вселенной. Естественного понимания этой близости мы не имеем, как, впрочем, нет понимания близости плотностей энергии барионов и тёмной материи.

В заключение этого раздела подчеркнём, что представляется весьма естественным наличие глубокой связи между проблемами компенсации вакуумной энергии и физикой тёмной энергии. Скорее всего, решение этих проблем возможно лишь в совокупности.

4 Данные в пользу космического ускорения

4.1 История

Примерно в 1920-е годы физики стали всерьёз обсуждать модели вселенных на основе общей теории относительности (ОТО), в том числе и модели для вселенной, конечной по объёму. Первыми общерелятивистские модели вселенной создали Эйнштейн, де Ситтер, Фридман. Забавно, что в это время ещё не были известны даже по порядку величины размеры Млечного Пути. Не было даже твёрдо установлено, существуют ли вне Млечного Пути другие галактики [106].

Что знали астрономы о размерах Галактики и о нашем положении в ней к 1920-м годам? Уже в 19-м веке начали аккуратно измерять расстояния и обнаруживать собственные движения близких звёзд (понятие о сфере неподвижных звёзд давно исчезло). По подсчётам слабых звёзд в разных направлениях сложилось представление, что наше Солнце близко к центру Галактики – ведь плотности звёзд вдоль полосы Млечного Пути примерно одинаковы. И только к 1920-му году Харлоу Шепли правильно указал на центр Галактики в направлении созвездия Стрельца – вокруг него сгущались шаровые звёздные скопления. Шепли далеко отодвинул Солнце от центра Галактики. Сейчас мы знаем, что до центра примерно 8 кпк (около 25 тысяч световых лет) [107], а Шепли даже сильно зависил это расстояние. Большинство же астрономов придерживались точки зрения Кёртиса, который давал такую оценку: “Наша Галактика, вероятно, не более, чем 30 тысяч световых лет в диаметре”, причём Солнце полагали вблизи центра Галактики.

26 апреля 1920 года в Национальной академии наук США в Вашингтоне состоялся исторический диспут между Шепли и Кёртисом – “Великий спор”. Кёртис отстаивал малую шкалу расстояний в Галактике, а Шепли большую.

В этих дебатах Кёртис приводит некоторые оценки, взятые из статьи Лундмарка: “Вольф – около 14000 световых лет в диаметре; Эддингтон – около 15000 световых лет; Шепли (1915) – около 20000 световых лет; Ньюком – не меньше 7000 световых лет, а позднее – возможно 30000 световых лет в диаметре и 5000 по толщине; Каптейн – около 60000 световых лет”.

Оценка же Шепли на 1920 год такова: “Галактика имеет примерно 300 тысяч световых лет в диаметре.”

В тот момент никто никого не убедил. Только в 1930-е годы стало ясно, что Шепли в вопросе о положении Солнца вдали от центра был прав. (Современные данные по поводу размера Галактики: у Кёртиса было ~ 30 тыс. св. лет, у Шепли ~ 300 тыс. св. лет. Настоящее значение ~ 100 тыс. св. лет ≈ 30 кпк. Они ошиблись примерно одинаково, но в разные

стороны). Правоту Шепли удалось установить, только когда астрономы (Линдبلاد, Оорт) разобрались в асимметрии звёздных движений вокруг нас, во вращении Галактики.

Но Шепли ошибся в другом – он упорно считал спиральные туманности, такие как М31 (Андромеда), маленькими газовыми образованиями, лежащими внутри Галактики или совсем рядом с ней. А Кёртис упорно доказывал, что эти спирали – такие же звёздные миры как Млечный Путь. И оказался прав (только размер галактик занижал).

Теперь можно сопоставить картину той маленькой стационарной Вселенной, модель которой пытался строить Эйнштейн ещё до 1920-го года, с реальностью, о которой мы знаем теперь. Изменились не только наблюдаемые масштабы (в миллионы раз!). Родилось понятие о нестационарной Вселенной.

График зависимости красных смещений объектов от их расстояний называют диаграммой Хаббла, по его работе 1929 года [108]. На основе своей диаграммы Хаббл установил закон роста расстояния до галактики с красным смещением.

На самом деле, первым этот закон открыл за восемь лет до того немецкий астроном Карл Вирц (Carl Wirtz, 1876–1939), которого Алан Сандидж (Alan Sandage) назвал “Европейским Хабблом без телескопа” [109] (Сандидж был PhD студентом Бааде, на Хаббла он работал с 1950 по 1953 год). Вирц был настоящим пионером наблюдательной космологии и в 1921 г. по данным для 29 спиральных галактик обнаружил, что чем дальше галактика, тем больше её красное смещение [110] (опубликовано в июне 1922 г.). К сожалению, из-за тяжёлой жизни в Германии в то время его исследования не получили поддержки. В 1936 г., когда Хаббл был уже прославлен на весь мир, Вирц сделал отчаянную попытку напомнить о своём приоритете в журнале *Zeitschrift für Astrophysik* [111], но всё равно был практически забыт. Тем не менее, авторы обзора [112] назвали Вирца “пионером космических размеров”.

Объективно и кратко история открытия расширения Вселенной изложена в статье [113]. Роль таких наблюдателей как Весто Слайфер освещена в [114].

Ван ден Берг [113] прямо пишет: “Миф о том, что расширение Вселенной было обнаружено Хабблом, впервые был распространён Хьюмасоном (1931) [115]. Истинная природа этого открытия оказалась более сложной и интересной.”

Согласно исследованию истории этого открытия [116, 117] в 1927 году, Жорж Анри-Джозеф Эдуард Леметр (1894-1966) опубликовал работу под названием “Однородная Вселенная постоянной массы с растущим радиусом, с учётом лучевой скорости внегалактических туманностей” в *Анналах Научного общества Брюсселя* [118]. (Английский перевод французского оригинала появился позже в [119].) В этой работе он нашёл линейное соотношение между скоростью удаления галактики и расстоянием до неё. Леметр был первым, кто получил численное значение параметра “Хаббла” в этом соотношении, связывающем скорость (v) и расстояние до галактики (D). Сегодня этот параметр известен как H_0 в равенстве $v = H_0 D$. Используя измерения красного смещения, проведённые Весто Мелвинным Слайфером (1875-1969) и Густавом Стромбергом (1882-1962), опубликованные в 1925 году, и оценки расстояний Хаббла (1926) [120] для 42 галактик, Леметр получил значение $H_0 = 625$ км/с/ Мпк.

Когда Вирц, Леметр и Хаббл обнаружили своё соотношение красное смещение – расстояние, они не имели надёжного способа измерить расстояния до галактик. Они только предположили зависимость расстояния от размеров и светового потока галактик, причём Вирц сформулировал закон только качественно, а Леметр и Хаббл недооценили фактические значения удаления галактик почти в 10 раз. Напомним, что Вирцу ещё было вовсе не ясно – вне или внутри Млечного Пути находятся спиральные туманности, он мог ошибаться в расстоянии ещё сильнее. Тем не менее, факт роста красного смещения с расстоянием Вирцем был установлен верно.

4.1.1 История появления намёков на лямбда-член в наблюдениях

До работ по сверхновым Ia для всех трёх указанных выше типов вселенных обычно все-рёз рассматривали только те варианты, где сейчас происходит торможение, а не ускорение под действием взаимного тяготения вещества во Вселенной. Большинство астрономов не ожидало увидеть данные, которые можно истолковать как ускорение расширения, хотя такие модели вселенной давно уже были построены де Ситтером (для пустоты) и Фридманом (для непустой вселенной) с Лямбда-членом. Фридман [3] уже в 1922 году во всех деталях рассмотрел судьбу ускоренно расширяющейся вселенной при положительном Λ . (В той же статье он рассматривал и космологические модели с нулевым и отрицательным Λ .)

Иногда, при появлении особенностей, например, в распределении квазаров по z возникла мода на модели с Лямбда-членом. Эти модели выдвигались И.С.Шкловским [121] и Н.С.Кардашёвым [122] в 1967 г. Но потом особенности “рассасывались” и мода проходила. Серьёзные аргументы в пользу реальности Лямбда-члена приводила Беатриса Тинсли с коллегами в 1975-1978 гг. на основе сопоставления возраста Вселенной и шаровых звёздных скоплений [123, 124]. Тогда казалось, что шаровые скопления старше Вселенной в моделях без ускорения. Но это противоречие тоже “рассосалось”.

Важную роль сыграли статьи М. Fukugita с соавторами [125–127]. Они подчеркнули, во-первых, что параметр H_0 не может быть столь малым как 50 км/с/Мпк, что получили Sandage и Tamman [128], а тогда нужный возраст Вселенной может дать положительное Λ . Кроме того в работе [125] было показано, что подсчёты слабых галактик требуют “ощутимого” (sizable) значения Λ .

Поначалу эти утверждения про H_0 и Λ многие астрономы-профессионалы считали еретическими, но в 1998 г. диаграмма Хаббла для SN Ia показала, что многие из них находятся от нас чуть дальше, чем в простых моделях. Ускорение расширения Вселенной (например, за счёт Лямбда-члена) могло бы объяснить увеличение расстояния, и это объяснение стало общепринятым. В следующем разделе рассмотрим, как измеряют расстояния с помощью сверхновых.

5 Данные по сверхновым и барионным акустическим осцилляциям

5.1 Элементарная Космография: расстояния во Вселенной

Если правильно отождествить длины волн различных спектральных линий в спектрах далёких объектов, и если известны их лабораторные значения, то можно измерить красное смещение, которое определяется как отношение сдвига частот: $z = \omega_1/\omega_0 - 1$, Астрономы умеют делать это с очень высокой точностью для близких объектов и с точностью в несколько процентов для далёких. Значит, можно сказать, насколько длины волн линий изменились с момента испускания t_1 , до момента наблюдения t_0 . Отсюда и из

$$\omega a(t) = \text{const} . \quad (5.1)$$

получаем отношение масштабных факторов в эти два момента:

$$\frac{a(t_0)}{a(t_1)} = 1 + z .$$

Как же измерять расстояния? Эта задача сложнее.

Можно дать формальное определение *собственного* (по-английски *proper*) расстояния. Пусть у нас координата $r = 0$, у далекой галактики $r = r_1$. Тогда

$$D_{\text{prop}}(t) = \int_0^{r_1} \sqrt{g_{rr}} dr = a(t) \int_0^{r_1} \frac{dr}{\sqrt{1-r^2}} , \quad (5.2)$$

– соответствует расстоянию, которые измерили бы наблюдатели, сидящие достаточно плотно в расширяющейся вселенной между $r = 0$ и r_1 , в *один момент космического времени* t . Для того, чтобы осуществить такое измерение, им пришлось бы заранее сговориться. Поэтому непосредственно от D_{prop} не очень много пользы.

Введём вспомогательную величину

$$D_{\text{flat}}(t) \equiv a(t)r . \quad (5.3)$$

Назовем D_{flat} ‘плоским’ (flat) расстоянием. Только при нулевой кривизне $k = 0$ эта величина D_{flat} была бы измерена в момент координатного времени t набором наблюдателей с жёсткими линейками между точками с радиальными координатами 0 и r и совпала бы с собственным расстоянием. (Напомним, что r безразмерно!) Мы увидим ниже, что $D_{\text{flat}}(t)$ войдет в измеримые расстояния и в общем случае $k \neq 0$.

В теоретической космологии важным является определение *сопутствующего* (comoving) расстояния

$$D_{\text{com}} = a(t_0)\chi ,$$

где χ — Фридмановская радиальная координата, входящая в выражение (2.3). Там Фридман использовал χ для замкнутого мира, когда $k = 1$. В общем случае можно написать:

$$r = \begin{cases} \sin \chi & \text{при } k = 1, \\ \chi & \text{при } k = 0, \\ \text{sh } \chi & \text{при } k = -1. \end{cases} \quad (5.4)$$

Мы не можем непосредственно измерить “расстояния” D_{prop} , D_{flat} и D_{com} до далёких объектов в расширяющейся вселенной с помощью линеек или радиолокации. Вместо этого в космографии вводят различные определения расстояний, зависящие от тех измерений, которые можно реально провести (например, расстояние углового размера — по измерению углового поперечника стандартной линейки). Подробности прекрасно изложены Вейнбергом [129, 130]. Мы следуем ему, а также тексту Кэррола [131].

5.1.1 Расстояние углового размера

Здесь дадим только набросок определения. Подробнее см. [129, 130, 132].

Если имеется источник с известным размером (стандартная линейка), то его можно использовать для измерения расстояния, измеряя его угловой размер и используя очевидные тригонометрические формулы для эвклидова пространства. Например, если луч зрения перпендикулярен стандартной линейке, то ясно, что при уменьшении углового размера вдвое расстояние увеличилось вдвое.

При больших расстояниях D углы малы, и для линейки длины R в плоском пространстве мы видим линейку под углом $\theta = R/D$. Это позволяет определить *расстояние углового размера*, или *расстояние по угловому диаметру* (по-английски *angular diameter distance*)

$$D_A \equiv R/\theta, \quad (5.5)$$

(для малых θ).

Нетрудно показать, что в расширяющейся вселенной (не только в пространственно плоской, но и в искривленной):

$$D_A = \frac{a_0 r}{1+z}, \quad (5.6)$$

где r — безразмерная радиальная координата в метрике FRW (2.4), поскольку свет был испущен, когда линейка была в $(1+z)$ раз ближе, чем в момент приёма, когда масштабный фактор равен a_0 .

Расстояние углового размера в космологии используются в основном при анализе анизотропии реликтового излучения — cosmic microwave background (CMB). В микроволновом диапазоне наблюдается почти идеальный спектр чёрного тела, который мы принимаем с поверхности “последнего рассеяния” (“Surface of Last Scattering”). Малые отклонения от средней температуры, $T \approx 2.7$ К, измеряемые как функция углового размера, говорят об акустических колебаниях первичной плазмы в этот период. Максимальная величина флуктуации δT , наблюдаемая на угловом разделении примерно в один градус, отвечает “последней” звуковой волне, вошедшей под горизонт как раз в момент рекомбинации. Длина этой волны нам известна и по величине угла можно определить расстояние до поверхности последнего рассеяния. Отсюда, в частности, получают, что наша Вселенная пространственно плоская. Детали см. [132, 134, 135]. Другое приложение расстояния углового размера даёт анализ ВАО — барионных акустических осцилляций — см. раздел 5.5 ниже.

5.2 Фотометрическое Расстояние

Более ценным для приложений сверхновых к космографии является так называемое фотометрическое расстояние (photometric distance):

$$D_{\text{ph}} = \left(\frac{L}{4\pi F} \right)^{1/2}, \quad (5.7)$$

где L — абсолютная светимость (т.е. световая мощность) источника — *стандартной свечи* (*standard candle*), а F — поток, измеренный наблюдателем (энергия, приходящая в единицу времени на единичную площадь приёмника). Иногда это расстояние обозначают D_L (от “luminosity distance”). Это определение соответствует тому, что в плоском пространстве поток источника на расстоянии D есть $F = L/(4\pi D^2)$.

Во фридмановской вселенной, однако, нельзя сюда просто подставить $D_{\text{flat}} = a_0 r$ из (5.3), где a_0 — масштабный фактор в момент, когда фотоны были наблюдаемы на сопутствующей координате r от источника. Дело в том, что с ростом r поток уменьшается не только из-за обычной дилуции (поверхность сферы растёт как $4\pi D_{\text{flat}}^2$), а ещё из-за двух эффектов: индивидуальные фотоны испытывают красное смещение на фактор $(1+z)$, и темп прихода фотонов тоже снижается в $(1+z)$ раз. Поэтому мы имеем

$$F = \frac{L}{4\pi a_0^2 r^2 (1+z)^2},$$

или

$$D_{\text{ph}} = a_0 r (1+z) = D_{\text{flat}}(t_0)(1+z). \quad (5.8)$$

Итак, получаем, что расстояния, введённые в выражениях (5.5) и (5.7) не равны друг другу в общем случае даже в случае плоского пространства, если метрика нестационарна. Равенство $D_A = D_{\text{ph}}$ выполняется только в статическом плоском пространстве, а в расширяющейся вселенной $D_{\text{ph}} = D_A(1+z)^2$. Т.е. для сгустков горячей плазмы, которую мы видим на момент рекомбинации, когда $z \approx 1000$, различие в *миллион раз!*

Фотометрическое расстояние D_{ph} — это нечто недоступное измерению, если у нас есть астрофизический источник, чья абсолютная светимость L известна (“стандартная свеча”). Но r в выражении (5.8) не наблюдаемо непосредственно, так что мы должны избавиться от него. На нулевой геодезической, по которой к наблюдателю распространяются фотоны от далёкого объекта, можно положить $d\theta = d\varphi = 0$ и тогда получим:

$$0 = ds^2 = c^2 dt^2 - \frac{a^2}{1 - k\bar{r}^2} d\bar{r}^2, \quad (5.9)$$

или

$$\int_{t_1}^{t_0} \frac{cdt}{a(t)} = \int_0^r \frac{d\bar{r}}{(1 - k\bar{r}^2)^{1/2}}. \quad (5.10)$$

Интеграл в правой части (5.10) элементарный:

$$\int_0^r \frac{d\bar{r}}{(1 - k\bar{r}^2)^{1/2}} = \begin{cases} \arcsin(r) & \text{при } k = 1, \\ r & \text{при } k = 0, \\ \text{Arsh}(r) & \text{при } k = -1. \end{cases} \quad (5.11)$$

Для левой части (5.10) сделаем следующие преобразования

$$\int_{t_1}^{t_0} \frac{dt}{a(t)} = \int_{a_1}^{a_0} \frac{dt}{da} \frac{da}{a} = - \int_{a_0/a_1}^1 \frac{a}{a_0} \frac{dt}{da} d\left(\frac{a_0}{a}\right) = \int_1^{a_0/a_1} \frac{a}{a_0} \frac{dt}{da} d\left(\frac{a_0}{a}\right).$$

Отсюда

$$a_0 \int_0^r \frac{d\bar{r}}{(1 - k\bar{r}^2)^{1/2}} = c \int_1^{z+1} \frac{d(\bar{z} + 1)}{H} = c \int_0^z \frac{d\bar{z}}{H}$$

и все свелось к наблюдаемым величинам типа $1/H$ (равного a/\dot{a}), z (с помощью $a_0/a_1 = z + 1$) и т.п. Таким путём мы можем избавиться от r в выражении (5.8) для D_{ph} , если выразим r через элементарный интеграл $\int_0^r (1 - k\bar{r}^2)^{-1/2} d\bar{r}$ и $\int_0^z d\bar{z}/H$.

Чтобы сделать это, воспользуемся уравнением Фридмана (2.5) и учтём при этом возможность ненулевой энергии вакуума:

$$H^2 = \frac{8\pi G\rho}{3} - \frac{k}{a^2},$$

что эквивалентно

$$H^2 = H_0^2 [\Omega_m(1+z)^3 + \Omega_\Lambda + (1 - \Omega_m - \Omega_\Lambda)(1+z)^2], \quad (5.12)$$

где $\Omega_m = \mathcal{E}_m/\rho_c c^2$ и $\Omega_\Lambda = \mathcal{E}_{\text{DE}}/\rho_c c^2$ — введённые выше параметры плотности для нерелятивистского вещества (плотность которого ρ_m меняется обратно пропорционально сопутствующему объёму, т.е. как $(1+z)^3$) и тёмной энергии соответственно (эта плотность постоянна в простейшем случае Λ -члена). Заметим, что ρ_m содержит энергию как обычного, так и невидимого нерелятивистского вещества (Dark Matter, сокращённо DM). Ниже мы будем использовать обычные сокращения для космологических моделей, например, CDM — модель с холодной тёмной материей, Λ CDM — та же модель с учётом Λ -члена, и т.п.

Подставив H в выражение $\int_0^z dz_1/H$, и выразив r через $\int_0^r (1 - k\bar{r}^2)^{-1/2} d\bar{r}$ только для случая $k = -1$ (остальные случаи k получатся автоматически аналитическим продолжением), мы находим рабочую формулу для фотометрического расстояния:

$$D_{\text{ph}}(z) = \frac{c}{H_0} (1+z) \frac{1}{\sqrt{\Omega_k}} \text{sh} \left\{ \sqrt{\Omega_k} \int_0^z [\Omega_m(1+z)^3 + \Omega_\Lambda + \Omega_k(1+z)^2]^{-1/2} dz \right\}. \quad (5.13)$$

Здесь $\Omega_k \equiv 1 - \Omega_m - \Omega_\Lambda$, и при $\Omega_k < 0$ гиперболический синус (sh) переходит в тригонометрический (sin), а $\sqrt{\Omega_k}$ в $\sqrt{|\Omega_k|}$. При $\Omega_k \rightarrow 0$ легко берётся предел, причём sh исчезает из выражения для D_{ph} , а остаётся только интеграл $\int_0^z [\dots]^{-1/2} dz$.

Теперь зависимость $D_{\text{ph}}(z)$ выражена через космологические параметры. Мы видим из (5.13), что D_{ph} очень просто связано и с ‘плоским’ D_{flat} из (5.3) и с фридмановской радиальной координатой χ . Нетрудно найти аналогичное выражение для $D_{\text{ph}}(z)$ в случае непостоянной плотности тёмной энергии, когда $P = w(z)\mathcal{E}$.

Если $P_{\text{DE}} = w\mathcal{E}_{\text{DE}}$ ($\text{DE} \equiv \text{Dark Energy}$), имеем:

$$H(z) = H_0 [\Omega_m(1+z)^3 + v(z)\Omega_{\text{DE}} + \Omega_k(1+z)^2]^{1/2}, \quad (5.14)$$

где $\Omega_{\text{DE}} = \mathcal{E}_{\text{DE}}/\rho_c$. Теперь $H^{-1}(z)$ из (5.14) нужно подставить на место членов в квадратных скобках в (5.13). Плотность \mathcal{E}_{DE} постоянна в простейшем случае Λ -члена (когда $w = -1$). Функция $v(z)$ определяется уравнением состояния тёмной энергии $P(z) = w(z)\mathcal{E}_{\text{DE}}(z)$:

$$v(z) = \exp \left[3 \int_0^z \frac{1+w(z)}{1+z} dz \right], \quad (5.15)$$

и равна единице для постоянного Λ -члена, т.е. для $w = -1$.

Следует обратить внимание, что формулы для фотометрического расстояния D_{ph} , в которые входит D_{flat} , типа 5.8 применимы для любых k , а не только для $k = 0$. Расстояние D_{ph} связывает L и F через площадь сферы, через которую вся мощность L и проходит. Но у нас в метриках типа FRW площадь сферы связана только с $g_{22} \equiv g_{\theta\theta}$ и $g_{33} \equiv g_{\phi\phi}$, т.е. в неё не входит $g_{11} = g_{rr}$, где и “сидит” параметр 3D кривизны k . Всегда получаем для площади сферы $4\pi a^2 r^2$, а наше D_{flat} радиус этой сферы и измеряет. Поэтому мы получаем формулу D_{ph} , верную и в кривом 3D пространстве. А “истинное” расстояние D_{prop} содержит в себе $\int \sqrt{g_{rr}} dr$.

Конечно, наша формула не будет работать в анизотропном кривом пространстве, где g_{22} и g_{33} не имеют эвклидова вида.

5.3 Лестница космологических расстояний. Сверхновые

Лестница космологических расстояний опирается на *первичные индикаторы расстояний* (*primary distance indicators*) такие как тригонометрические параллаксы звёзд, близкие скопления звёзд с общим движением, пульсирующие звёзды, в частности, цефеиды (когда к ним применяют метод Бааде-Веселинка).

Имеется очень много *вторичных индикаторов расстояний* (*secondary distance indicators*), использующих различные калибровки для расстояний, которые установлены по предшествующим ступеням лестницы [136]. Например, те же цефеиды являются вторичными индикаторами расстояний, когда используется соотношение период-светимость, прокалиброванное по объектам с известным расстоянием.

Сверхновые относятся к астрономическим объектам наивысшей светимости L , поэтому они могут наблюдаться на огромных расстояниях и играют очень важную роль в проверках космологических моделей. В этом разделе мы поясним, как сверхновые используются в качестве индикаторов расстояний.

Астрономическая классификация сверхновых основана на их спектрах в видимом свете вблизи максимума блеска. Прежде всего проверяют, есть ли линии *водорода*.

1) Сверхновые типа I: *нет линий водорода* вблизи максимума блеска. Из них выделяют подтип Ia с линией ионизованного кремния. Такие сверхновые являются наиболее яркими (т.е. имеют очень высокую светимость в максимуме).

2) Сверхновые типа II: *чёткие линии водорода* в спектрах и в максимуме блеска и долгое время спуска.

Для измерений потока F и светимости L астрономы по традиции используют звёздные величины (звёздная вел., или *mag*), которые являются логарифмической мерой потока. Разность двух звёздных величин есть по определению

$$m_1 - m_0 = -2.5(\lg F_1 - \lg F_0) = -2.5 \lg(F_1/F_0). \quad (5.16)$$

Коэффициент -2.5 выбран потому, что по традиции звезда нулевой звёздной вел. имеет блеск (т.е. даёт световой поток) ровно в 100 раз больше, чем звезда 5-й звёздной вел. Нуль-пункт m_0 в (5.16) должен быть определён по стандартной звезде (обычно определяют по $\text{Веge} = \alpha \text{ Лугаe}$). Все буквы m и F в (5.16) могут иметь дополнительные индексы (например,

для частоты ν в случае монохроматических потоков, или U , B , V и т.п. для различных фильтров).

Абсолютная звёздная величина M определяется как звёздная величина на стандартном расстоянии D в 10 парсек (пк). Таким образом, $M = -2.5 \lg L + \text{const}$ — чем больше светимость L , тем меньше M

Для примера приводим на рис. 1 абсолютные кривые блеска $M(t)$ для нескольких SN Ia в фильтрах BVI — синем (blue), зелёном (visible) и ближнем инфракрасном (infrared).

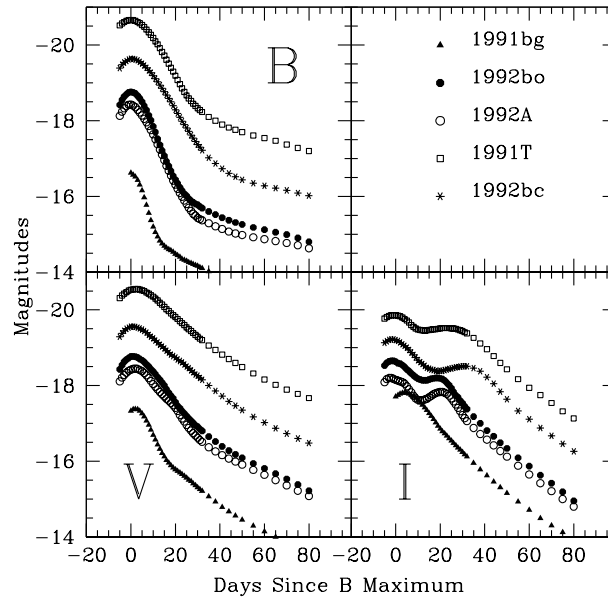


Рис. 1: Набор зависимостей $M(t)$ для SN Ia в фильтрах BVI . Источник: шаблоны СТИО.

Сейчас твёрдо установлено, что SN Ia являются продуктами термоядерного взрыва выродившихся звёзд. Моделирование надёжно показывает, что свет, т.е. энтропия в SNe Ia порождается в радиоактивных распадах: ^{56}Ni переходит в ^{56}Co , а тот в ^{56}Fe . Это в частности объясняет, почему кривые блеска Ia в фильтрах B, V по форме столь похожи (Fig. 1). В последнее время гамма-линии, сопровождающие распад $^{56}\text{Co} \rightarrow ^{56}\text{Fe}$, были непосредственно обнаружены в наблюдениях на спутнике Интеграл [137].

Сверхновые типа Ia видны в больших количествах до $z \sim 1.7$ [138], а по спектрам отождествлены 3 сверхновых типа II на $z = 0.808, 2.013, 2.357$ [139]. Самая далекая известная SN Ia имеет красное смещение $z=1.914$ [140].

Благодаря сверхновым Ia было открыто [141–143], что в рамках фридмановских моделей космологический лямбда-член не равен нулю, $\Omega_\Lambda > 0$, т.е. сейчас Вселенная расширяется с ускорением. В более общем классе моделей это можно интерпретировать, как наличие в космосе “тёмной энергии”. Одной из важнейших задач фундаментальной физики в настоящее время является установление реальности и свойств тёмной энергии (и тёмной материи). В решении этой задачи сверхновые, видимые на космологических расстояниях, будут продолжать играть ключевую роль. Как уже отмечалось, за это открытие

присуждена Нобелевская премия по физике 2011 года.

Основы использования сверхновых для измерения расстояний можно кратко сформулировать так.

1. Теоретическая зависимость фотометрического расстояния (5.7) от красного смещения z , $D_{\text{ph theor}}(z)[\Omega_m, \Omega_{\text{DE}}, w(z), \dots]$, определяется космологическими моделями, например, как в выражениях (5.12)–(5.15). Но, конечно, теоретические модели могут быть гораздо богаче, чем использованные в этих формулах, они могут основываться на неэйнштейновской гравитации, на дополнительных измерениях пространства и т.д. Тогда там будут совсем другие параметры.
2. Сравнение предсказанной зависимости $D_{\text{ph theor}}(z)$ с “наблюдаемой” $D_{\text{ph obs}}(z)$ даёт параметры наилучшим образом (best-fitting) воспроизводящие наблюдения, такие как $\Omega_m, \Omega_{\text{DE}}, w(z)$, и т.д.

Предложено несколько методов использования сверхновых и их газовых остатков в космографии. Эти методы можно разделить на две группы.

В первой группе применяют идею стандартной свечи, которую мы подробно разберём в разделе 5.4. Стандартная свеча требует калибровки, она опирается на лестницу космологических расстояний. Здесь сверхновые выступают как *вторичные индикаторы расстояний*.

Во второй группе методов сверхновые являются *первичными индикаторами расстояний*. Эти методы рассмотрены в разделе 5.9.

5.4 Разнообразие кривых блеска SN Ia и их использование для космографии

Как видно из рис. 1, несмотря на похожие формы кривых блеска SNe Ia, их светимости в максимуме сильно различаются, поэтому они не являются стандартными свечами!

Это разнообразие не было столь очевидно многим исследователям три-четыре десятилетия назад. Тогда почти все считали, что сверхновые Ia все одинаковы, т.е. SN Ia являются стандартными свечами в том смысле, что максимумы абсолютной светимости (т.е. световой мощности) в разных сверхновых одинаковы. Позже выяснилось [144, 145], что это не так, но были предложены процедуры, позволяющие найти абсолютную светимость, т.е. произвести стандартизацию свечи [146, 147].

Более детально история развития применимости сверхновых для космологии может быть описана так. Некоторая неоднородность максимальной светимости SN I была известна давно, однако разброс казался намного меньшим, чем у других быстро-переменных астрофизических объектов, например, новых звезд. В 1938 году Бааде [148] заметил, что дисперсия абсолютной звёздной величины в максимуме для сверхновых (по его данным 1.1^m) намного меньше, чем для новых. Он предложил использовать их в качестве индикаторов расстояний, используя одну и ту же абсолютную звездную величину для всех SN. Заметим, что в его выборке было всего 18 объектов и деления SN I на подтипы тогда еще не было. Идея использования сверхновых для космографии была тут же поддержана [149, 150]. Параметры, характеризующие кривые блеска, стал вводить Псковский [151] (его знаменитое β для наклона “хвоста” кривой блеска). В 1967 году он измерил β для сверхновых I типа и показал, что все они имеют очень схожие значения β , тем самым подтвердив вывод о пригодности SN I в качестве индикаторов расстояний. И только в 1977, используя большие выборки SN, Псковский заметил связь между наклоном кривой блеска (β) и абсолютной звездной величиной SN [144]. Тогда же он выписал формулу для этой корреляционной зависимости.

Итак, Ю.П.Псковский первым связал форму кривых блеска сверхновых со светимостью в максимуме. История этого открытия описана в статье [152]. Псковский одним из первых

установил не только разнообразие Ia, но и нашёл важную корреляцию светимости в пике L_{\max} и темпа спада $L(t)$ [144, 144, 145]. Именно такого рода корреляции используются сейчас для нахождения абсолютной светимости, т.е. для *стандартизации свечи*. Подробности получения разных подходов к стандартизации свечи описаны в обзоре [116, 117]. Исследование [116, 117] установило, что большую роль в открытии Псковского сыграла переписка с американским астрофизиком Растром (B.W. Rust), который, однако, не публиковал своих работ в доступных журналах. Тем не менее, диссертация Рафта [146] была замечена классиками исследования расширяющейся Вселенной [153, 154] и сыграла свою роль в установлении корреляции, которая позволяет стандартизовать свечу SN Ia.

Характер этой корреляции состоит в том, что “Более яркие SNe Ia являются более медленными”. Здесь “яркие” строго значит “имеющие высокую светимость”, а “медленные” относится к темпу спада потока после максимума. Качественно это можно увидеть уже на рис. 1, но эти данные не были известны 40 лет назад. М.Филлипс [147] после Псковского нашёл аналогичную корреляцию. Сейчас такие корреляции называют *соотношением Псковского-Филлипса*, *Pskovskij-Phillips*, или *PP*, а также WLR (Width-Luminosity-Relation), и BDR (Brightness-Decline-Rate). Пример современных данных для PP корреляции $B - \Delta m_{15}$ мы приводим на рис. 2 из работы [155] с разрешения авторов. Здесь Δm_{15} обозначает изменение светимости в звёздных величинах через 15 сут после максимума в B -фильтре. Большее Δm_{15} означает более быстрый спад. Тогда, в самом деле, сверхновая слабее в максимуме.

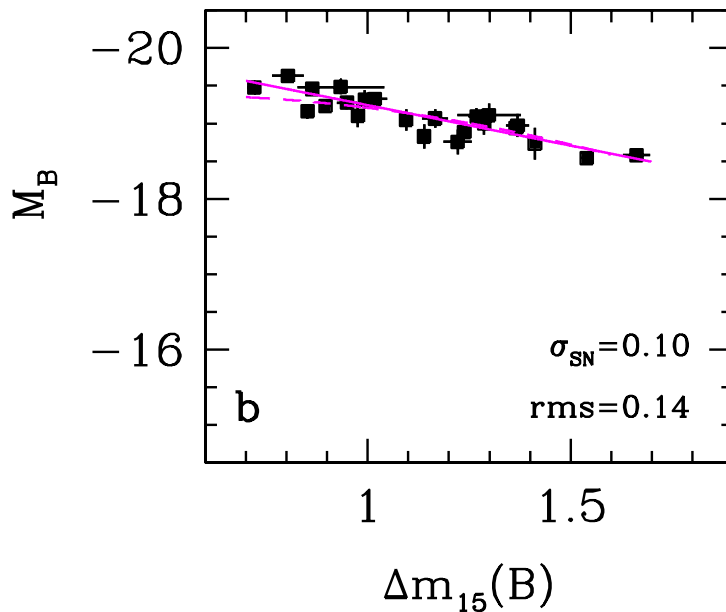


Рис. 2: Соотношение Псковского-Филлипса по данным проекта Carnegie [155]. По оси абсцисс отложено значение падения потока через 15 сут после максимума Δm_{15} , по оси ординат – абсолютная звёздная величина в максимуме блеска.

Если измерен темп спада наблюдаемого потока $F(t)$ для далёкой сверхновой, то из соотношений типа изображённого на рис. 2, с учётом фактора замедления времени $(1+z)$, можно получить L , и фотометрическое расстояние D_{ph} . Именно таким путём стандартизуются нестандартные свечи.

Затем берётся формула типа (5.13) и методом наименьших квадратов находятся космологические параметры, наилучшим образом воспроизводящие наблюдения. На практике и стандартизация, и нахождение космологических параметров проводится одним глобальным фитом. Это позволяет уменьшить ошибки. То есть χ^2 содержит не только параметры,

связанные с космологией, но и параметры, связанные с кривой блеска. Именно таким путём было получено ненулевое значение Λ в работах [141–143].

Такая работа продолжается, точность полученных параметров повышается, однако нельзя сказать, что она очень высока. Например, первые результаты группы SN Legacy Survey (SNLS) [156] дали по $D_{\text{ph}}(z)$ наилучший фит $\Omega_M = 0.263 \pm 0.042(\text{stat.}) \pm 0.032(\text{syst.})$, отсюда $\Omega_\Lambda \approx 0.74$ для плоской Λ - космологии. Для тёмной энергии, когда используются выражения (5.14),(5.15), они получили $w = -1.023 \pm 0.090(\text{stat.}) \pm 0.054(\text{syst.})$ при условии, что w постоянно в уравнении состояния $P = w\rho$. Эти результаты получены при комбинировании данных по сверхновым с данными Sloan Digital Sky Survey (SDSS) по барионным акустическим осцилляциям (BAO) – т.е. по распределению галактик в пространстве (см. раздел 5.5). Более поздняя важная работа, выполненная той же самой французской группой [157], представляет собой компиляцию данных от коллабораций SNLS, SDSS, Nearby SNe, HST. Комбинированные данные по CMB, BAO и SN Ia приводят согласно работе [157] к значению параметра Хаббла $H_0 = 68.50 \pm 1.27$ км/с/Мпк, что несколько ниже, чем даёт группа А.Риса $H_0 = 73.8 \pm 2.4$ в [158], но в хорошем согласии с последними результатами *WMAP*. Для плоской Λ CDM космологии в работе [157] найдено $\Omega_m = 0.295 \pm 0.034$ (stat+sys), что согласуется со значениями, найденными по измерениям флуктуаций реликтового излучения (CMB) в экспериментах *Planck* и *WMAP*. С учётом данных по CMB был получен параметр $w = -1.018 \pm 0.057$ (stat+sys) для плоской вселенной.

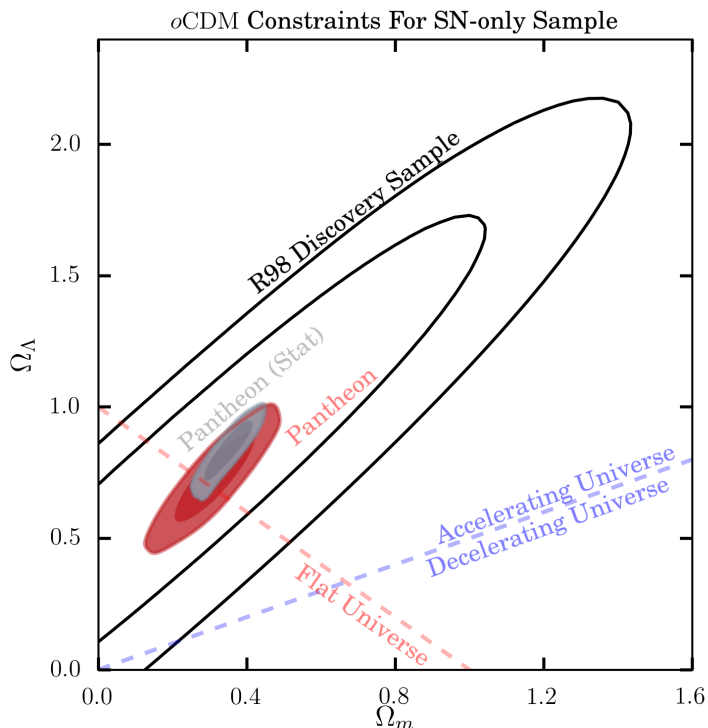


Рис. 3: Свидетельства наличия тёмной энергии на основе данных только о SN Ia [159]. Показаны доверительные контуры при 68% и 95% для космологических параметров Ω_m и Ω_Λ для CDM модели при фиксированном $w = -1$, но при переменном Ω_K как для первого набора сверхновых R98 [142], так и для набора Pantheon. Ограничения Pantheon с учётом систематических неопределённостей показаны красным цветом, а чисто статистические неопределённости показаны серым.

В следующем разделе 5.5 мы кратко опишем возможности метода BAO для космологических исследований. Этот метод является важным дополнением к методам, опирающимся

на свойства сверхновых. Здесь же на рисунке 3 приведём последние результаты, полученные на основе измерений только сверхновых [159]. Они собрали 276 SN Ia ($0.03 < z < 0.65$) из наблюдений проекта Pan-STARRS1 с полезными оценками расстояний до SN Ia из обзоров SDSS, SNLS, HST и др., что дало самый большой объединенный набор SN Ia, общим числом 1049 сверхновых в диапазоне $0.01 < z \lesssim 2$, который авторы назвали ‘Pantheon Sample’.

Во всех упомянутых выше результатах по космологическим параметрам, извлечённым из наблюдений сверхновых использовался обычный аппарат для моделей FRW-космологии с учётом тёмной энергии, когда эволюция масштабного фактора описывается через плотность энергии, усреднённой по очень большим масштабам (> 100 Мпк). На самом деле, усреднение нелинейных уравнений Эйнштейна – задача нетривиальная. Могут возникать отклонения от решений, полученных, при обычном усреднении – так называем эффект backreaction. Не услубляясь в споры вокруг этой проблемы дадим ссылки на недавние работы, где, в частности, используются данные по SN Ia и обсуждается этот эффект [160–162].

5.5 Барийонные акустические колебания, или осцилляции (BAO)

Барийонными акустическими колебаниями, или осцилляциями (далее BAO) называют первичные звуковые волны, распространяющиеся в горячей плазме фотонов и барионов благодаря давлению фотонов в ранней Вселенной. Здесь мы остановимся на основных идеях метода BAO для определения космологических параметров (в том числе для нахождения доли DE – тёмной энергии). Подробности см. в хорошем обзоре [163] – там же много полезного материала и о других методах исследования DE, в том числе по сверхновым. Специально барийонным акустическим колебаниям посвящён обзор [164]. Основы, необходимые для понимания теории BAO, можно найти и в старых обзорах по развитию возмущений во вселенной, например, полезен обзор [133].

В ранней вселенной барионы и фотоны тесно связаны, и возмущения в плазме распространяются в форме акустических колебаний. После рекомбинации водорода при красном смещении $z_r \approx 10^3$ фотоны и барионы практически перестают взаимодействовать и давление света на барионы исчезает. Как говорят, происходит расщепление барионов и фотонов. Вскоре после этого, вследствие космологического расширения волны в барионах, т.е. распространяющиеся звуковые волны, останавливаются, оставляя след в распределении вещества на масштабе, соответствующем расстоянию, пройденному звуковыми волнами до этой эпохи (т.е. на масштабе акустического горизонта).

Звуковые волны распространяются до эпохи рекомбинации $t \approx 4 \cdot 10^5$ лет, со скоростью $\approx c/\sqrt{3}$ (чуть меньше перед самой рекомбинацией) и застывают на масштабе, который в современную эпоху даёт сопутствующий размер $l_{\text{BAO}} \approx 150$ Мпк (т.е. $l_{\text{BAO}} \approx 100 h^{-1}$ Мпс). Количественный вывод этого значения радиуса остановки на основе упрощенных моделей приведен в [165, 166], а также [167] раздел 7.1.2.

Уточним эти утверждения. Пока барионы тесно связаны с фотонами, имеем для скорости звука (при $c \equiv 1$)

$$u_s = \left(\frac{dP}{d\rho} \right)_S^{1/2} \approx \frac{1}{\sqrt{3}}. \quad (5.17)$$

Здесь индекс s в u_s обозначает звук (sound), а заглавное S у скобки – энтропию, так как скорость звука – адиабатическая. Поскольку $u_s = a(t)dr/dt$, где r – радиальная координата Робертсона-Уокера из (2.4), имеем для координаты акустического горизонта

$$r_s = \int_0^{t_r} \frac{u_s dt}{a(t)}, \quad (5.18)$$

а для его размера

$$l_s(t_r) = a(t_r)r_s = a(t_r) \int_0^{t_r} \frac{u_s dt}{a(t)}. \quad (5.19)$$

При произвольном красном смещении z после рекомбинации в корреляционной функции материи должна быть особенность на длине

$$l_{\text{BAO}}(z) = \frac{1+z_r}{1+z} l_s(t_r). \quad (5.20)$$

Если приближенно положить до рекомбинации $u_s \approx 1/\sqrt{3}$ (5.17) и $a(t) \propto t^{1/2}$ (что на самом деле верно только в радиационно-доминированную эпоху), то получим оценку

$$l_s(t_r) = t_r^{1/2} \int_0^{t_r} \frac{dt}{\sqrt{3}t^{1/2}} = \frac{2}{\sqrt{3}} t_r \approx 135 \text{ кпк}, \quad (5.21)$$

если для рекомбинации $t_r \approx 380$ тысяч лет. Для нерелятивистского закона $a(t) \propto t^{2/3}$ – другая оценка $l_s = \sqrt{3}t_r \approx 200$ кпк. На самом деле надо учесть, что закон расширения лежит между этими двумя предельными случаями. Кроме того, скорость звука (5.17) отличается от $1/\sqrt{3}$ из-за вклада барионов в давление:

$$u_s^2 = \frac{1}{3} \frac{1}{1+R_B}, \quad (5.22)$$

где

$$R_B = \frac{3\rho_b}{4\rho_\gamma} \approx \frac{3 \cdot 10^4 \Omega_b h^2}{1+z} \left(\frac{T_0}{2.725 \text{ К}} \right)^4, \quad (5.23)$$

см. ниже выражение (10.4) для $\Omega_b h^2$.

В результате получается $l_s(t_r) \approx 150$ кпк на эпоху рекомбинации, угловой размер пятен реликтового излучения именно этого размера и определяет основной пик в спектре мощности возмущений температуры по сферическим гармоникам. Этот же масштаб даёт современный размер корреляционной длины акустических осцилляций $l_{\text{BAO}}(0) \approx 150$ Мпк, так как $z_r \approx 10^3$.

Данные 5 лет наблюдений реликтового фона WMAP дали [168]:

$$l_{\text{BAO}}(0) = 153.3 \pm 2.0 \text{ Мпк}, \quad z_d = 1020.5 \pm 1.6, \quad (5.24)$$

т.е. это значение для современного масштаба ВАО получено из акустического горизонта для момента окончания так называемой “эпохи увлечения” фотонов барионами — drag epoch по-английски. В выражении (5.24) стоит обозначение z_d вместо z_r , так как в литературе различают для эпохи рекомбинации два определения (для порядковых оценок это различие не существенно, но важно в точных расчётах), а именно, отличают момент последнего рассеяния фотонов от конца эпохи увлечения барионов фотонами. Последнее рассеяние — это момент, когда оптическая глубина по комптоновскому рассеянию фотонов до сегодняшнего наблюдателя падает ниже 1 — без учёта последующей реионизации.

Момент t_d конца эпохи увлечения определяется как время, когда барионы выходят из тесной связи с фотонами. На самом деле барионы зацеплены за электроны электрическими полями, а те зацеплены за фотоны комптоновским рассеянием. Сечение процесса то же самое, томсоновское σ_T , что и при последнем рассеянии фотона, но число фотонов гораздо больше, чем число барионов (и электронов) в горячей (по энтропии) вселенной, поэтому пробег фотонов $(n_e \sigma_T)^{-1}$ на много порядков больше, чем пробег барионов $(n_\gamma \sigma_T)^{-1}$ в море фотонов (поскольку $n_\gamma/n_b \sim 10^9$ и до рекомбинации $n_e \sim n_b$).

На самом деле для правильного анализа выхода фотонов и барионов из режима тесной связи нужно сравнивать не пробеги частиц, а эффективность их обмена импульсами. Сделаем это, следуя работе [169], где показано, что в гидродинамическом приближении комптоновское рассеяние приводит к обмену импульсами между жидкостью барионов и излучения и стремится уравнивать средние скорости жидкостей u_b и u_γ соответственно. Однако плотности импульса $(\rho_\gamma + p_\gamma)u_\gamma = \frac{4}{3}\rho_\gamma u_\gamma$ и $(\rho_b + p_b)u_b \approx \rho_b u_b$ не равны при равенстве скоростей. Сохранение импульса (т.е. уравнение Эйлера, точнее Навье-Стокса) требует, чтобы ускорение барионной жидкости из-за комптоновского увлечения (*англ.* drag) было умножено на $R_B^{-1} = \frac{4}{3}\rho_\gamma/\rho_b$ (ср. выражение 5.23) в сравнении с той же величиной для фотонной жидкости. Таким образом, в динамику процесса входит не огромное число n_γ/n_b , а число R_B , близкое к единице при $z \approx 10^3$. Прекрасное педагогическое изложение этого вопроса см. в книге [170]. Там показано, что аналитическая теория [169] полностью подтверждается численным моделированием кинетических уравнений для фотонов и барионов в эпоху рекомбинации Вселенной.

Поскольку гидродинамическое приближение для фотонов становится неприменимым после рекомбинации, различие между моментом последнего рассеяния и концом эпохи увлечения можно описать, перефразировав Вайнберга [130] стр. 441 русского издания: “Строго говоря, момент конца эпохи увлечения t_d здесь следует выбрать на той стадии рекомбинации, когда типичный электрон перестаёт обмениваться ощутимым импульсом с фотонами, вместо несколько более раннего момента времени последнего рассеяния t_{ls} , когда типичный фотон перестаёт обмениваться импульсом с электронами. Так как R_B при последнем рассеянии несколько отличается от единицы, между этими временами есть небольшая разница.” Насколько конкретно конец эпохи увлечения t_d отличается от момента последнего рассеяния, зависит от истории ионизации, аппроксимирующие формулы см. Appendix E статьи [169].

Следует иметь в виду, что $t_d > t_{ls}$ только при $\Omega_b \ll 1$. Если бы было $\Omega_b h^2 > 0.03$, то последнее рассеяние было бы позже конца эпохи увлечения барионов.

Таким образом, характерный масштаб ВАО представляет собой масштаб звукового горизонта в конце эпохи тесной связи, когда фотонное давление больше не может предотвращать гравитационную неустойчивость в барионах (что происходит несколько позже последнего рассеяния фотонов, потому что параметр $\Omega_b h^2 = 0.022$ мал).

Часто говорят, что ВАО оставляют чёткий отпечаток на характерном масштабе сгущения (кластеризации) вещества, но следует иметь в виду, что этот след проявляется только статистически – в качестве локального повышения в корреляционной функции при $r \approx 150$ Мпк.

Поясним, как используют ВАО для измерения космологических расстояний. Проводятся обзоры изображений галактик или скоплений галактик в определённых достаточно широких по телесному углу областях неба. При этом по показателям цвета галактик определяют их так называемое фотометрическое красное смещение. Такие обзоры могут обнаружить отпечаток ВАО в кластеризации галактик по углу в достаточно узких интервалах по фотометрическому красному смещению. Пусть такой отпечаток имеет угловой поперечник α . Поскольку линейный поперечник $r \approx 150$ Мпк задаёт нам стандартную линейку, тем самым это позволяет измерить расстояние углового размера $D_A(z) = R/\alpha$ согласно формуле (5.5). Спектроскопическое исследование галактик в том же объёме позволяет измерить красные смещения гораздо более аккуратно, а также позволяет увидеть ВАО вдоль луча зрения, а не только по углу. Тем самым оно даёт более точное измерение $D_A(z)$. Кроме того, измерение разницы скоростей галактик на масштабе ВАО позволяет напрямую определить зависимость параметра Хаббла от красного смещения $H(z)$. Другие индикаторы распределения материи также можно использовать для измерения ВАО. Поскольку масштаб ВАО известен в абсолютных единицах (на основе простого физического расчёта и значений параметров, хорошо измеренных по реликтовому фону), метод

BAO измеряет $D(z)$ в абсолютных единицах — Мпк, а не в h^{-1} Мпс — так что BAO и измерения расстояний до сверхновых на том же красном смещении дают различную информацию. Недавние результаты по космологическим параметрам из подробного обзора Baryon Oscillation Spectroscopic Survey (BOSS) см. в работе [171]. На основе данных Planck и BOSS получено $\Omega_K = 0.0003 \pm 0.0026$ и $w = -1.01 \pm 0.06$, в близком согласии с плоской Λ CDM моделью. Добавление данных о сверхновых Ia улучшает ограничение на параметр в уравнении состояния тёмной энергии до $w = -1.01 \pm 0.04$ и приводит к значению постоянной Хаббла $H_0 = 67.9 \pm 0.9$ км/с/Мпк.

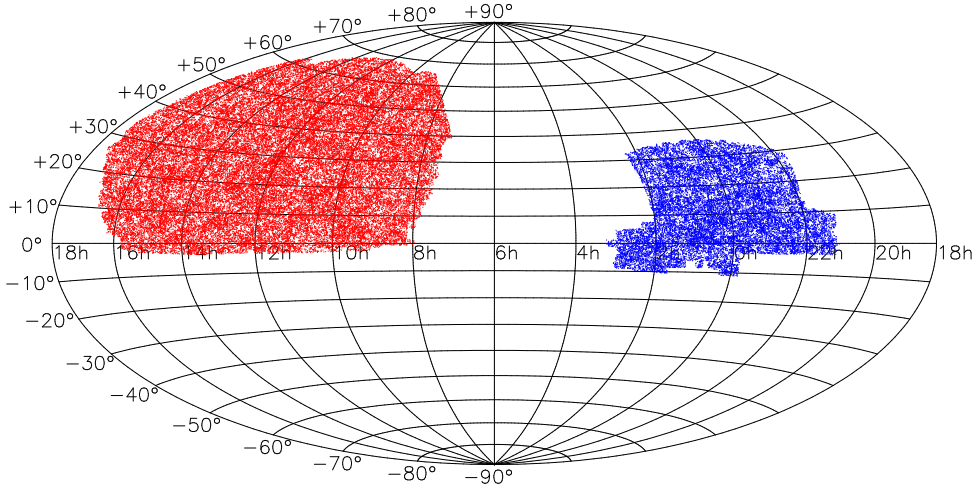


Рис. 4: Набор скоплений галактик [172] в двух областях неба. Распределения скоплений представляются равномерными (ср. с рис. 6 справа), если не проводить подробный анализ.

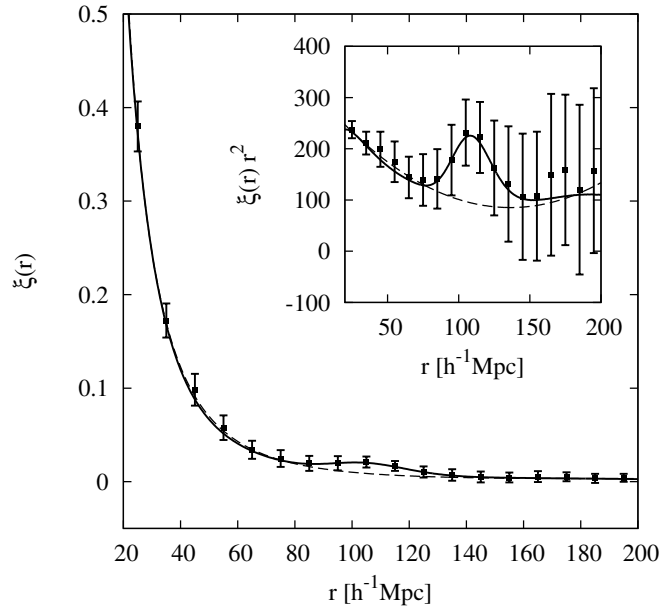


Рис. 5: Корреляционная функция для скоплений галактик [172] с явным максимумом из-за BAO.

Наглядно BAO можно увидеть прямо из наблюдательных данных по скоплениям галактик, например, по обработке в работе [172], см. рис. 4 и 5. На рис. 4 показаны две

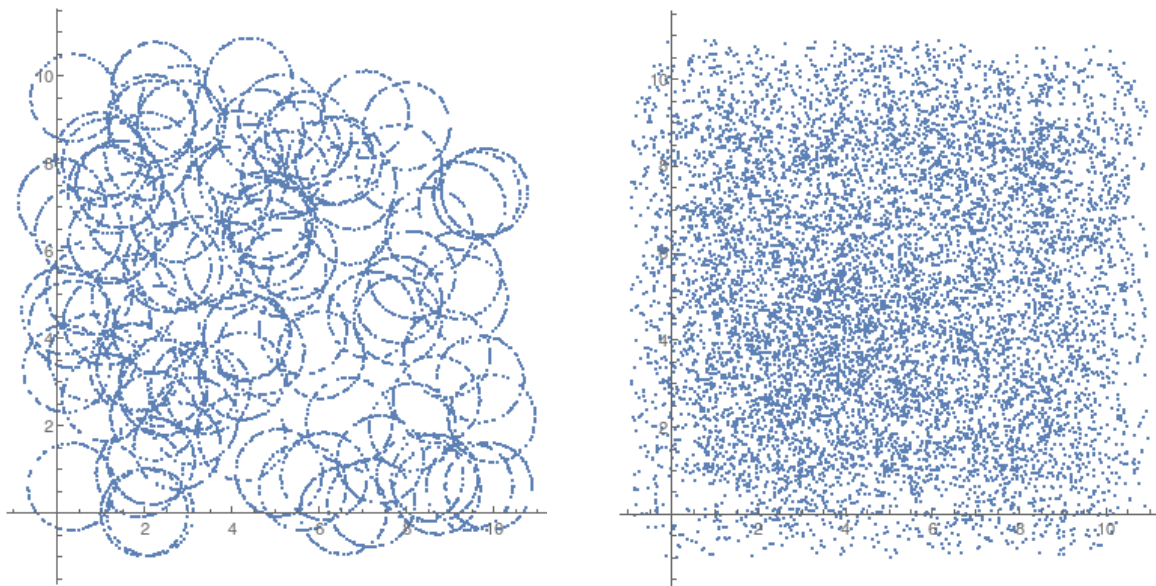


Рис. 6: Слева: по 100 случайных точек на 100 случайно расположенных окружностях. Справа: 1000 окружностей по 10 точек на каждой. Алгоритм взят здесь:

<http://mathematica.stackexchange.com/questions/57938/how-to-generate-random-points-in-a-region>

области на небесной сфере, точки отображают положения скопления галактик. Кажется, что распределение точек случайное и совершенно равномерное.

След ВАО в распределении материи проявляется как в распределении скопления галактик, так и в распределении галактик поля [173]. Его наблюдения оказались мощным и надежным зондом тёмной энергии (смотри, например, [174]). Сравнение наблюдаемого масштаба ВАО из обзоров галактик и истинного физического масштаба звукового горизонта, который можно независимо оценить из исходных данных космического микроволнового фона, позволяет установить соответствие между наблюдательными координатами и физическими координатами; это соответствие чувствительно к истории расширения и, следовательно, к свойствам тёмной энергии, см., например, [175]. Точность, с которой корреляционная функция ВАО может быть измерена, и следовательно, ограничения на тёмную энергию, полученные из измерений ВАО, зависит от силы следа ВАО, и от того, как хорошо мы можем отделить след ВАО от широкополосного шума в спектре мощности возмущений. Из-за образования крупномасштабных структур, а также благодаря наблюдаемому эффекту пространственных искажений из-за красного смещения, след ВАО, как ожидается, постепенно деградирует/затухает вместе с эволюцией структур, так что этот след значительно слабее при низких красных смещениях, где расширение Вселенной в основном управляется тёмной энергией.

Приведём наглядные примеры замыывания сигнала кольцевого распределения точек на двумерной плоскости: когда много случайных точек расположены на небольшом числе колец, выявление сигнала не представляет трудности. Если то же число точек разбросано по большому числу колец (на каждое кольцо приходится мало точек), то требуется специальная процедура обработки и поиска корреляции, — см. рис. 6.

Но главная причина трудности восстановления (реконструкции) распределения плотности не в выявлении сигнала из случайной картины распределения точек, а в том, что пик плотности соответствует размеру 150 Мпк в настоящую эпоху, поэтому приходится обследовать большой объём пространства, чтобы найти пик с приемлемой точностью. Проблема реконструкции подробно освещена в обзорах [176, 177].

Измерение характерного масштаба барионных акустических колебаний (ВАО) в корре-

ляционной функции различных индикаторов распределения вещества – это эффективный инструмент для исследования космического расширения и убедительный метод получения космологических параметров. Пик ВАО в корреляционной функции при красном смещении z появляется на угловом удалении объектов $\Delta\theta = l_d/(1+z)D_A(z)$, где $D_A = D_L/(1+z)^2$ – расстояние по угловому диаметру, а $l_d = l_s(z_d)$ – звуковой горизонт при красном смещении расщепления z_d (drag), то есть в эпоху, когда барионы отделяются от фотонов. Корреляционная функция ВАО также проявляется в красном смещении $\Delta z = l_d/D_H$, где $D_H \equiv c/H(z)$. Поэтому измерение положения пика ВАО при некотором z ограничивает комбинации космологических параметров, которые определяют D_H/l_d и D_A/l_d на этом красном смещении [178].

5.6 ВАО в корреляционной функции галактик

Пик ВАО наблюдался в основном в корреляционной функции пар галактик, полученных в обзорах красного смещения. Небольшая статистическая значимость предыдущих исследований давала ограничения только на D_V/l_d , где

$$D_V(z) \equiv \{z(1+z)^2 D_H D_A^2\}^{1/3}. \quad (5.25)$$

Как физика, так и данные ВАО зависят от содержания вещества во вселенной. Следовательно, они априори зависят от выбранной динамической структуры (см., например, обзор [179]). Анализ, проведённый в работе [180], показал, что отношение $D_V(z)/D_V(z_0)$ слабо зависит от динамической структуры, поэтому можно получать надёжные ограничения на космологические параметры на основе таких отношений.

Результаты коллаборации Planck [181] и работы [157], по ВАО-измерениям величины D_V/l_d при $z = 0.106$, 0.35 , и 0.57 на основе [182–184] соответственно, а также статей [185] и [186] для $z = 0.35$ и $z = 0.2$ дают:

$$\frac{D_V(z)}{D_V(z=0.35)} = (0.335 \pm 0.016, 0.576 \pm 0.022, 1.539 \pm 0.039), \quad (5.26)$$

при $z = (0.106, 0.2, 0.57)$ соответственно.

На основе такого подхода к ВАО и с использованием общедоступных данных по сверхновым типа Ia, в работе [178] были получены наблюдательные ограничения на класс моделей модифицированной гравитации, которые при низких красных смещениях приводят к степенной космологии (т.е. к моделям со степенным ростом масштабного фактора в зависимости от времени). Было показано, что при режиме расширения $a(t) \propto t^\beta$ с β , близким к $3/2$, пространственно плоская вселенная хорошо подходит для описания данных ВАО и SN Ia.

5.7 Краткое резюме результатов по сверхновым совместно с ВАО

Более новые результаты той же группы SNLS [187] дают на основе более богатой статистики наблюдений для двух разных процедур подгонки кривых блеска к наблюдениям (тут надо учесть, что наблюдаемые точки на кривой блеска, как правило, расположены редко, нужны специальные процедуры выявления максимума, значений Δm_{15} и т.п.): либо $\Omega_M = 0.173_{-0.098}^{+0.095}$ и $w = -0.85_{-0.20}^{+0.14}$, либо $\Omega_M = 0.214_{-0.097}^{+0.072}$ и $w = -0.95_{-0.19}^{+0.17}$ (все интервалы ошибок здесь чисто статистические). Для параметра w в уравнении состояния тёмной энергии (который считается постоянным по крайней мере до $z = 1.4$) в плоской вселенной, они получили $w = -0.91_{-0.20}^{+0.16}(\text{stat.})_{-0.14}^{+0.07}(\text{syst.})$ на основе данных только по сверхновым. Эти значения w согласуются с космологической постоянной, которая требует $w \equiv -1$. Результаты обзора Center for Astrophysics CfA3 [188], см. рис. 7 и 8, совместно с данными ВАО, используемыми в качестве априорного распределения вероятностей, дают

$1+w = 0.013_{-0.068}^{+0.066}$ (0.11 syst.), что тоже согласуется с космологической постоянной. Данные ВАО совместно с их набором сверхновых дают также $\Omega_M = 0.281_{-0.016}^{+0.037}$ и $\Omega_\Lambda = 0.718_{-0.056}^{+0.062}$. Хотя результаты разных групп формально согласуются, всё же видно, что различия между ними больше, чем можно было бы ожидать по их собственным оценкам ошибок.

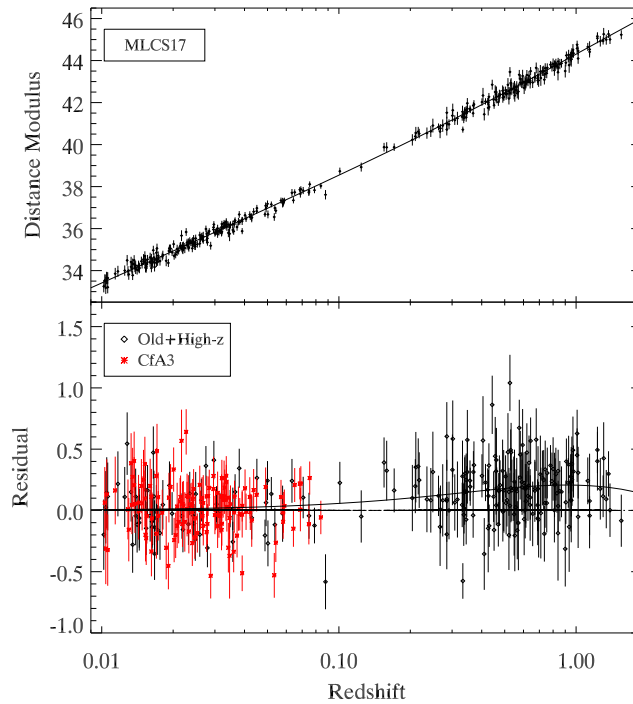


Рис. 7: Диаграмма Хаббла по SN Ia и её невязки из каталога CfA3 [188]. Новые данные показаны красным, а старые - черными. Невязки относятся к вселенной без тёмной энергии, $\Omega_M = 0.27$ и $\Omega_\Lambda = 0$. Наилучший космологический фит показан в панели невязок. Более современную версию диаграммы Хаббла по SN Ia см. на рис. 8 из работы [157]

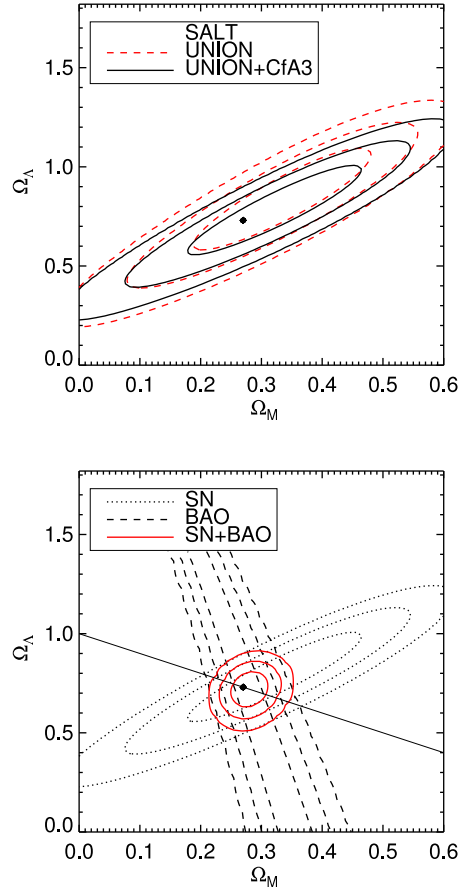


Рис. 8: Параметры Ω из обзора CfA3 [188]. Контуры допустимых значений Ω_Λ и Ω_M при $1 + w = 0$ без предположения о плоском пространстве. Согласованная космология (concordance cosmology) $\Omega_\Lambda = 0.73$, $\Omega_M = 0.27$ представлена точкой. Верхний рисунок показывает, как добавление набора CfA3 значительно сужает контуры вдоль оси Ω_Λ . Нижний рисунок показывает сочетание контуров SN с ограничениями из BAO, а прямая линия описывает плоскую вселенную $\Omega_\Lambda + \Omega_M = 1$.

Космологические параметры, извлекаемые из наблюдений сверхновых и BAO, непрерывно уточняются. Например, статья [157] является в каком-то смысле продолжением описанной выше работы [187]. Помимо этого там исправлены некоторые неточности в предыдущем анализе. В [157] с учётом данных по BAO получено $w = -1.027 \pm 0.055$ для параметра в уравнении состояния тёмной энергии, что согласуется с их значением при учёте CMB $w = -1.018 \pm 0.057$ (stat+sys).

Комбинированные результаты, представленные на рис. 9, заимствованы из работы [159], содержащей самый полный набор SN Ia на конец 2017 г.

Данные по BAO [189] в сочетании с измерениями флуктуаций температуры реликтового излучения миссией Planck, с измерениями поляризации WMAP (Wilkinson Microwave Anisotropy Probe) 9, и 6dF обзором BAO, не выявил отклонений от плоской модели Λ CDM. В этой модели получается параметр Хаббла $H_0 = 67.15 \pm 0.98$ км с⁻¹Мпк⁻¹. Для переменного уравнения состояния тёмной энергии, получается $w_{DE} = -1.080 \pm 0.135$. В неплоской Λ CDM модели получена кривизна $\Omega_K = -0.0043 \pm 0.0047$, согласующаяся с нулём.

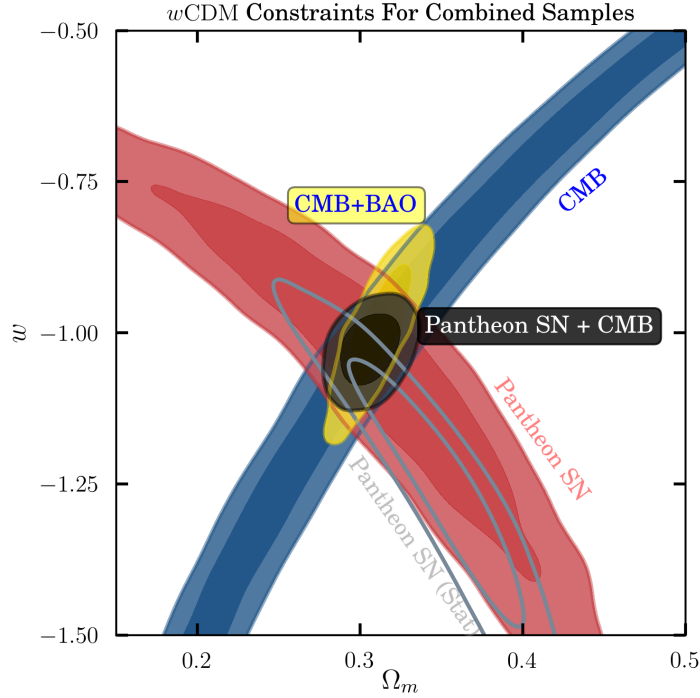


Рис. 9: Доверительные контуры 68% и 95% для Ω_m и w в Λ CDM модели по результатам [159]. Показаны ограничения по реликтовому фону CMB (оттенки синего цвета), SN – с учётом систематических неопределённостей (красный цвет), SN – с учётом только статистических неопределённостей (серые линии), и SN+CMB (фиолетовые).

5.8 Систематика, зависимость от z

При переходе от описания соотношения Псковского-Филлипса к получению диаграммы Хаббла нужно учесть важную добавку. Давно установлено, что светимость SN Ia зависит не только от формы кривой блеска (соотношение Псковского-Филлипса), но и от цвета сверхновой. И зависимость от цвета очень существенна. Поправка за цвет вводится во все современные космологические анализы. В наиболее популярной модели стандартизации SALT2 [190] абсолютная звёздная величина SN Ia определяется следующим образом: $M = M_0 + \alpha X_1 - \beta C$, где X_1 – это аналог Δm_{15} (отвечает за форму кривой блеска), а C – это цвет. По-видимому, первым параметр цвета ввел Роберт Трип [191], хотя и Адам Рис тоже как-то его учитывал в своем методе MLCS.

Кроме того, можно отметить (но эта поправка еще не внесена в космологический анализ), что достоверно установлено, что абсолютная звёздная величина SN Ia зависит от родительской галактики (host galaxy). В качестве физической величины, характеризующей хост, используют деление по подтипам (спиральные, эллиптические [192, 193]), массу звездной составляющей галактики [157, 194, 195], глобальный и локальный темп звездообразования [196, 197] (исследуют непосредственное окружение сверхновой, [198]). Пока что поправки за свойства родительской галактики вносят в космологический анализ буквально руками. Например, см. формулу (5) в [157]: для сверхновых, родительские галактики которых имеют звездную массу более $10^{10} M_\odot$, к M_0 прибавляют малую добавку Δ_M , то есть просто сдвигают одну часть диаграммы Хаббла (с массивными родительскими галактиками) относительно другой (с маломассивными).

Имеется много факторов, которые могут повлиять на результаты, полученные для космологии с помощью сверхновых типа Ia, прокалиброванных по соотношению Псковского-Филлипса, например, поглощение и рассеяние света в межгалактическом пространстве или

в родительских галактиках (см. Folatelli et al. [155, 199] и ссылки там), изменение металличности прародителей сверхновых и относительной роли различных предсверхновых с изменением возраста Вселенной.

Для читателя-физика попытаемся в нескольких словах объяснить роль этих факторов в космологических приложениях сверхновых.

Особенно трудно определить поглощение и рассеяние света сверхновых по пути к наблюдателю. Рентгеновская астрономия даёт очень много информации о горячем межгалактическом газе внутри скоплений галактик (так называемый “intracluster gas”), но о барионном газе *между* скоплениями галактик известно очень мало (“inter-cluster gas”). Известна проблема “нехватки” барионов во Вселенной – missing baryon problem: космологический нуклеосинтез предсказывает около 4–5% плотности энергии в барионах, то же самое число получается из анализа реликтового излучения СМВ. Однако полное число всех наблюдаемых барионов (в газе и звёздах) значительно меньше. Эти скрытые барионы могут находиться в состоянии тёплого газа между скоплениями галактик (inter-cluster gas). Температура этого газа может быть слишком высока для его детектирования в видимом или ближнем ультрафиолетовом диапазоне, но низка для заметной эмиссии в рентгене. В принципе такой газ может содержать примесь “серой” пыли (поглощение на которой не зависит от длины волны). Тогда мы увидим далёкие галактики ослабленными, что может быть ложно истолковано как эффект ускорения космологического расширения. Тут можно упомянуть работу Богомазова и Тутукова [200]. Они писали про серую пыль и ее влияние на диаграмму Хаббла. В той же работе они также рассмотрели эффект от эволюции массы сливающихся белых карликов с Хаббловским временем. Однако, этот эффект не должен присутствовать при красных смещениях больше $z \sim 1$: столь далёкие сверхновые не показывают эффекта ускоренного расширения.

Такое построение с серой пылью может показаться совершенно искусственным, тем не менее, его нельзя стопроцентно исключить, пока не решена проблема скрытых барионов.

Очень мало известно также о так называемом “покраснении” в родительских галактиках сверхновых. Это тот же эффект поглощения/рассеяния света, но теперь в среде, окружающей взрывающуюся звезду. Свойства этой среды могут сильно меняться по пространству. Для близких галактик эти свойства можно исследовать, но это очень трудно для далёких объектов.

Металличность, т.е. содержание элементов тяжелее гелия, в предсверхновых может влиять на поведение кривых блеска сверхновых, т.е. на соотношения типа Псковского-Филлипса и тем самым на стандартизацию свечей.

Предложено несколько допустимых сценариев рождения сверхновых типа Ia в очень сложной и запутанной эволюции двойных звёзд (одиночные вырожденные звёзды – белые карлики взрываться не могут). Относительную роль этих сценариев в близкой вселенной трудно оценить (в литературе имеются противоречивые данные об этом). Тем более трудно оценить это в далёкой, молодой вселенной.

Все эти факторы – поглощение света, металличность, относительная роль сценариев эволюции – могут изменяться с возрастом вселенной: звёзды производят всё больше и больше металлов, загрязняющих межзвёздную среду. Таким образом появляются систематические ошибки в определении расстояний и космологических параметров с помощью сверхновых.

Другим возможным источником ошибок является неправильная классификация и примесь необычных событий типа SN Ia. Например, был открыт своеобразный подкласс SN Ia, подтип SN 2002cx сверхновых [201]. Они слабые, но медленные, см., например, рис. 10, взятый из работы [202], т.е. ведут себя противоположно соотношению Псковского-Филлипса (PP), которое используется для космологии и согласно которому медленно спадающие SN Ia являются согласно PP самыми яркими. Теперь представим себе, что число событий подтипа SN 2002cx растёт с космологическим красным смещением z . Тогда, опираясь

на соотношение PP , которое установлено для близких SN Ia, т.е. при $z = 0$, мы получим, что сверхновые Ia при больших z в среднем кажутся *более слабыми*, следовательно, фотометрическое расстояние до них больше, чем при истинном значении Ω_Λ . Таким образом, будет получен ложный вклад в DE.

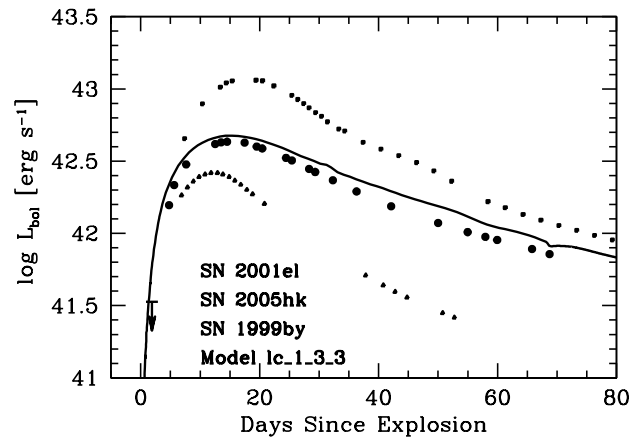


Рис. 10: SN 2005hk в сравнении с двумя “нормальными” SN Ia.

Можно процитировать работу Конлей и др. [187]: “Evolution in the absolute magnitude of SNe Ia with redshift is not constrainable without a detailed physical model because it can in principle mimic any cosmology”. “Эволюцию абсолютной величины сверхновых Ia с красным смещением нельзя получить без детальной физической модели, поскольку она в принципе может имитировать любую космологию”. Это не означает, что сверхновые нельзя использовать для надежной космографии. Просто нужно развивать новые подходы к этой задаче. Один из таких новых подходов по SN Ia см. в работе [203]. Здесь отмечается: “These results imply that at least 3/4 of the variance in Hubble residuals in current supernova cosmology analyses is due to SN Ia”. “Эти результаты означают, что по меньшей мере 3/4 дисперсии невязок параметра Хаббла в текущем анализе космологии на основе сверхновых обязаны SN Ia.” Такие результаты подтверждают наши опасения об использовании SN Ia для анализа DE, как делается, например, в работах [204, 205], так как свойства звёзд меняются с возрастом вселенной. Авторы работы [203] на основе наблюдений пытаются оценить количественную меру астрофизической неопределённости. Они аккуратно всё делают в локальной вселенной, улучшая стандартизируемость SN Ia, но на больших расстояниях всё равно неизвестная астрофизика будет давать неизвестную систематику, так как SN Ia являются вторичными индикаторами расстояний, и остаётся невыясненным, как будет меняться для

больших z их улучшенная калибровка, полученная при $z \sim 0$, (их оценка “standardizing high-redshift supernovae to within 0.06 ± 0.07 magnitudes” остаётся принципиально статистической).

При участии авторов данного обзора был предложен новый прямой метод DSM для измерения расстояний в космологии [206–208], который обсуждается в следующем разделе.

5.9 Сверхновые как первичные индикаторы расстояний

Для методов “стандартной свечи” требуется знать расстояние до большого числа сверхновых, измеренного совсем другим, независимым методом с привлечением лестницы космологических расстояний [128]. Иначе, без набора большой статистики объектов с известным расстоянием, невозможно провести калибровку процедуры стандартизации свечи: см. обзоры, например, [152, 226]. Т.е. в этой группе методов сверхновые используются как вторичные индикаторы расстояний (secondary distance indicators).

Другая группа методов позволяет использовать сверхновые как *первичные индикаторы расстояний* (primary distance indicators). Например, сверхновые II типа (SN II) очень сильно различаются по светимости и по формам кривых блеска и не годятся, вообще говоря, для метода стандартной свечи. Но их большое преимущество — это возможность прямых измерений расстояния, например, методом расширяющейся фотосферы (Expanding Photosphere Method, EPM) [227]. Для этого не нужна стандартизация свечи и не нужна лестница космологических расстояний.

Хорошие спектральные наблюдения сверхновой позволяют получить расстояние методом SEAM (Spectral-fitting Expanding Atmosphere Method [228]). В отличие от EPM в этом методе нет необходимости делать предположение о чернотельном характере спектра сверхновой.

В настоящем обзоре мы описываем развитие нового метода для измерения расстояний в космологии, частично основанного на EPM и SEAM и частично на ESM (Expanding Shock Front Method [229]). В этом методе должны использоваться сверхновые типа II_n наивысшей светимости, которые в последние годы стали не только активно открывать, но и детально исследовать [230].

Предлагается называть этот метод DSM – Dense Shell Method, так как светимость SN II_n обусловлена распространением тонкого плотного слоя в окружающей среде. На примере SN 2006gy и SN 2009ip показано, что этот метод является работоспособным: получено расстояние до этих сверхновых, независимо от обычных калибровок расстояний. Для нового метода не требуется приближения стандартной свечи, как для сверхновых типа Ia, и нет необходимости опираться на шкалу (так называемую лестницу) космологических расстояний.

В SN II фотоны рождаются в ударных волнах, распространяющимися в их оболочках (за время $< 10^4$ с в SN 1987A и до $\sim 10^7$ с и больше в SN II_n). В обычных SN II ударная волна порождает не только кратковременную вспышку жёсткого излучения, но и резервуар энтропии, обеспечивающий свечение на стадии “плато” в течение нескольких месяцев. У сверхновых SN II_n, где ударная волна распространяется в окружающей среде несколько месяцев, она и является источником свечения [231–234].

Кривые блеска SN II очень разнообразны по форме и амплитуде, что делает невозможным для их описания введение стандартной свечи, т.е. какой-то унифицированной кривой блеска. Кривая блеска сильно зависит от свойств оболочки, окружающей источник энергии сверхновой, будь то коллапсирующее ядро или термоядерное горение в ядре. В то же время оболочка делает SN II гораздо менее зависимой от деталей взрыва. В течение месяцев в оболочке наблюдается реальная фотосфера, проявляющаяся на кривых блеска в виде классического плато.

Аббревиатура EPM происходит от слов Expanding Photosphere Method. Идея этого метода восходит к работам Бааде [235] и Весселинка [236], которые развивали его для опре-

деления расстояний до пульсирующих звёзд – цефеид.

Поскольку мы в состоянии построить детальную модель SN II_p, на основе той же идеи возникает новый прямой метод Dense Shell Method (DSM), позволяющий использовать яркий свет SN II_p для космологии.

Суть метода в следующем. Если известна скорость фотосферы v , то за время измерений dt ее радиус изменится на $dr = vdt$, и мы сразу узнаем изменение радиуса dr безо всяких лестниц космологических расстояний. Измеряемый поток излучения равен

$$F = 4\pi r^2 \sigma T^4 / D^2, \quad (5.27)$$

где D - фотометрическое расстояние. Температура T измерима, dr и dF измеримы, а D не меняется. Удобнее ввести $S = \sqrt{F}$

$$S = 2\sqrt{\pi\sigma}rT^2/D \quad (5.28)$$

Отсюда, если T не изменяется значительно между двумя измерениями, имеем

$$dS = 2\sqrt{\pi\sigma}drT^2/D \quad (5.29)$$

Величина dr может быть измерена непосредственно в ряде случаев. А именно, $dr = v_{ph}dt$, если v_{ph} есть скорость фотосферы. Тогда из измерения dS , dr и T прямым методом находим расстояние D .

Авторы [227] чётко поняли, что по спектральным линиям мы видим скорость u вещества, а сама фотосфера движется относительно вещества (ведь при расширении падает коэффициент поглощения вещества). Даже знаки u и v_{ph} могут быть противоположны, когда фотосфера сжимается. В этом состоит главная трудность методов EPM и SEAM: чтобы эти методы работали, необходимо полагать, что идёт свободный разлёт и скорость вещества составляет $u = r/t$. Так бывает, когда через какое-то время после взрыва вокруг отсутствует плотное вещество. А в SN II_p как раз не так, вокруг много вещества и ударная волна месяцами или даже годами не прорывается в разреженную среду.

Зато, как видно из графиков в работах [233] и [234], в таких сверхновых всё вещество за фронтом ударной волны сжалось в холодный плотный слой (Cold Dense Shell, CDS или DS). Фотосфера приклеена к этому плотному слою, и как раз $u = v_{ph}$ – а это можно измерить. Всё описанное соответствует идее Бааде [235], выдвинутой ещё в 1920-е годы.

Итак, мы можем сформулировать новый метод DSM (Dense Shell Method) для определения космологических расстояний с помощью сверхновых типа SN II_p. Этот метод состоит из следующих этапов.

- Нужно измерить *узкие* компоненты спектральных линий для оценки свойств (плотности, скорости) околзвёздной оболочки. Здесь не требуется высокая точность измерений и моделирования.
- Измерить *широкие* эмиссионные компоненты линий и найти скорость на уровне фотосферы (с максимально возможной точностью).
- Хотя закон $u = r/t$ в этих сверхновых не применим, но v_{ph} соответствует теперь *истинной* скорости радиуса фотосферы (а не только скорости течения вещества, как в SN II-P).
- Теперь работает первоначальная идея Бааде [235] для измерения приращений радиуса $dr = v_{ph}dt$ путём интегрирования по времени (конечно, с необходимым учётом рассеяния, потемнения/уярчения к краю, и т.п.). Получаемые значения изменений радиуса должны использоваться при итерациях оптимальной модели.

- Наблюдаемый поток теперь позволяет получить расстояние D из выражения

$$D = 2\sqrt{\pi\sigma}drT^2/dS . \quad (5.30)$$

При значительном изменении T такой простой подход не работает и нужно построить модель, наилучшим образом воспроизводящую наблюдения широкополосной фотометрии и скорость v_{ph} , которая контролируется по наблюдениям $dr(t)$. Такая модель нужна для вычисления эволюции r и поправочного фактора ζ , а в реальности и для детальных предсказаний теоретического потока F_ν .

Изложим основной алгоритм метода на основе чернотельной модели с температурой T с поправочным фактором ζ . Будем считать, что наблюдения достаточно часты, чтобы для ряда точек можно было измерить изменения радиуса $dr = v_{ph}dt$. Пусть начальный (неизвестный нам) радиус есть R_0 , а $R_i = R_0 + \Delta R_i$ для $i = 1, 2, 3, \dots$, где ΔR_i уже можно считать известными из суммирования измеренных dr . Тогда

$$\zeta_i^2 (R_0 + \Delta R_i)^2 \pi B_\nu(T_{ci}) = 10^{-0.4A_\nu} D^2 f_{\nu i}, \quad (5.31)$$

или, извлекая корень,

$$\zeta_i (R_0 + \Delta R_i) \sqrt{\pi B_\nu(T_{ci})} = 10^{-0.2A_\nu} D \sqrt{f_{\nu i}} . \quad (5.32)$$

Хорошая модель даёт нам набор ζ_i , T_{ci} для всех точек наблюдений, и по измеренным $f_{\nu i}$, ΔR_i мы находим методом наименьших квадратов неизвестные R_0 и комбинацию $10^{-0.4A_\nu} D^2$. Чтобы получить расстояние D , мы должны либо знать поглощение A_ν из астрономических наблюдений, либо получить его из тех же уравнений, записанных для различных спектральных фильтров. В таком случае, уже зная R_0 , мы получим ряд уравнений вида:

$$10^{-0.4A_\nu} D^2 = a_s , \quad (5.33)$$

где индекс s обозначает один из фильтров UBVRI, а a_s - некоторая постоянная, зависящая от выбора фильтра. Это дает нам разности $A_{s1} - A_{s2}$ и, зная закон зависимости экстинкции от частоты, можно получить A_ν .

С помощью описанного здесь метода DSM в работах [206–208] были получены расстояния до трёх сверхновых типа II: SN 2006gy, SN 2009ip, SN 2010jl. Сравнение с расстояниями до этих объектов, измеренными другими (косвенными) методами, доказывает работоспособность нового прямого метода, который позволяет избавиться от систематических ошибок, вносимых лестницей космологических расстояний

5.10 Слияние нейтронных звёзд и метод стандартной сирены

В 2015 году произошел прорыв в эру гравитационно-волновой астрономии: впервые было объявлено о наблюдении слияния пары массивных чёрных дыр. Ранее человечество наблюдало Вселенную в электромагнитном и нейтринном каналах, теперь оно обрело новое “зрение”: абсолютно новый гравитационно-волновой канал для исследования объектов во Вселенной, изучения их свойств и проверки предсказаний теорий. Первый сигнал гравитационных волн был получен 14 сентября 2015 года двумя антеннами коллаборации LIGO [209]. Анализ показал, что источником сигнала были две массивные чёрные дыры. Затем последовало ещё несколько открытий сигналов слияния чёрных дыр вплоть до 14 августа 2017 года (уже при участии обновлённого детектора VIRGO).

Три дня спустя, 17 августа 2017 было сделано ещё одно важное открытие: был зарегистрирован сигнал гравитационных волн GW180717 [210], продолжительность и форма которого свидетельствовала не о слиянии чёрных дыр, а о слиянии нейтронных звёзд в

тесной двойной системе. По временной задержке сигнала двух антенн LIGO с учётом данных VIRGO удалось определить область нахождения источника — примерно 30 квадратных градусов на небесной сфере. Космические обсерватории Fermi [211] и Интеграл [212] увидели слабый короткий гамма-всплеск GRB170817A в квадрате локализации источника гравитационных волн через 1.7 секунды после потери сигнала LIGO.

По амплитуде гравитационной волны и по картине изменения её частоты можно оценить расстояние до источника. Оно оказалось примерно 40 Мпк с ошибкой в несколько десятков процентов, но даже при большой ошибке на таком расстоянии в области локализации на небесной сфере совсем немного галактик, поэтому наземные телескопы (в том числе робот МАСТЕР [213]) довольно быстро нашли вспышку слабой сверхновой (так называемой “килоновой”) в галактике NGC 4993, которая находится от нас на расстоянии 40 мегапарсек.

В связи с этим выдающимся открытием мировой науки важно подчеркнуть, что первое предсказание такого явления было сделано в 1980-х годах в работе одного из авторов настоящего обзора с коллегами [214, 215]. Здесь впервые было предсказано, что при слиянии пары нейтронных звёзд должен происходить выброс тяжёлых элементов, электромагнитная вспышка, в частности гамма-всплеск, а не только излучение гравитационных волн. До этой работы предлагались модели слияния нейтронной звезды и чёрной дыры, но с неэффективным гамма-всплеском внутри нашей Галактики [216], а Блиинников и др. [214, 215] прямо писали про десятки мегапарсек и про энергию взрыва порядка сверхновой. Раньше этой работы была также замечательная статья [217], в которой было всё предсказано про гравитационно-волновой и нейтринный сигнал при слиянии нейтронных звёзд в паре, но ничего не говорилось про электромагнитный сигнал, который в миллион раз слабее первых двух, но гораздо легче регистрируется. В дальнейшем сценарий работы [215] был подкреплён количественным расчётом [218, 219], в котором были получены все основные характеристики слабого гамма-всплеска GRB170817A (полная энергия и жесткость фотонов в гамма-диапазоне, характерные скорости выброса тяжёлых элементов).

Фотометрическое расстояние до источника гравитационной волны, измеренное чисто по гравитационно-волновому сигналу — так называемый метод стандартной сирены, — даёт возможность измерить постоянную Хаббла H_0 , если известно красное смещение материнской галактики. Это было впервые указано Шутцем [220] как раз после статьи [215], когда стало ясно, что мощный сигнал в гравитационных волнах должен сопровождаться слабым электромагнитным сигналом. Отождествление электромагнитного сигнала с конкретной галактикой гораздо надёжней, чем по гравитационным волнам, а это повышает точность измерения параметра Хаббла. Оценка расстояния по гравитационно-волновому сигналу неизбежно содержит неопределенности в основном из-за неопределенности угла наклона плоскости орбиты (получено расстояние $43.8^{+2.9}_{-6.9}$ Мпк уже с учётом локализации килоновой [221]). Был получен параметр Хаббла с использованием данных гравитационной волны для GW170717 $H_0 = 70.0^{+12.0}_{-8.0}$ км/с/Мпк (на уровне достоверности 68.3% [221]). Очевидно, что эта оценка совместима с измерениями по сверхновым 73.45 ± 1.66 км/с/Мпк [222, 223] и по реликтовому фону по данным PLANCK: $H_0 = (67.8 \pm 0.9)$ [224], и более новое значение $H_0 = (67.4 \pm 0.5)$ [225]. Как видно из оценок доверительных интервалов, между этими двумя группами имеется значимое расхождение (tension) в значении H_0 . Когда будет открыто большое количество слияний пар нейтронных звезд, тогда точность измерения H_0 этим методом можно будет улучшить. Заметим, что в настоящее время точность нашего метода DSM [206–208], описанного выше, вполне конкурентноспособна с методом стандартной сирены, и его можно развивать при меньших материальных затратах, чем последний, поскольку самые мощные оптические телескопы всё же дешевле, чем установки для детектирования гравитационных волн.

6 Тёмная энергия

Тёмная энергия – это общее название неизвестной субстанции, которая, возможно, вызывает космологическое ускорение. Тёмной энергией может быть любая форма вещества, для которой справедливо уравнение состояния $P = w\rho$ (2.9) с $w < -1/3$, см. уравнение (2.6). Напомним, что согласно наблюдениям параметр w весьма близок к (-1). Специальный частный случай $w = -1$ отвечает обсуждавшейся выше вакуумной энергии и принципиально отличается от всякого другого.

Как справедливо отмечено в работе [10], из-за наличия вакуумной энергии с таким уравнением состояния для двух атомов водорода в абсолютном вакууме нашей современной Вселенной достаточно большим расстоянием, на котором их гравитационное притяжение будет компенсироваться гравитационным отталкиванием вакуумной энергии, будет уже один метр. Строго говоря, отталкивание на этом расстоянии будет незаметным на фоне наведенного электрического дипольного взаимодействия атомов. Этот мысленный эксперимент справедлив для идеально нейтральных частиц с массой в 1 ГэВ. В реальном мире такое утверждение верно для двух галактик с массой Млечного Пути на расстоянии в пару мегапарсек.

Альтернативным механизмом ускоренного космологического расширения могла бы быть модификация гравитации на больших (космологических) расстояниях, рассматриваемая в следующем разделе.

Существование тёмной энергии было предсказано в работе [63], еще до открытия ускоренного ускорения. Там и в нескольких последующих работах [64, 65] было сделано утверждение, что компенсационный механизм должен иметь недокомпенсированный остаток с плотностью энергии, близкой к космологической и нестандартным уравнением состояния. В частности, в работе [65] отмечалось, что может возникнуть уравнение состояния с $w < -1$, которое за конечное время приведет к космологической сингулярности, впоследствии получившей название фантомной [237].

Другие ранние работы, в которых отмечалось, что скалярное поле может вести себя при некоторых потенциалах, как зависящая от времени вакуумо-подобная энергия, приведены в статьях [86–89]. Важным продвижением в описании тёмной энергии было обнаружение потенциалов, которые приводят к так называемым следящим (tracking) решениям, впервые найденным в работах [238] и в несколько более поздних статьях [239]. Такие следящие решения интересны тем, что за счет выбора потенциала скалярного поля можно сделать так, чтобы плотность энергии этого поля довольно естественно оказывалась близкой к плотности энергии обычного вещества в настоящее время, тем самым решая проблему близости ρ_m к ρ^{vac} в современной вселенной. Эта тематика быстро стала очень популярной [240–257], см. также обзоры [258–260].

Возможные формы моделей тёмной энергии, основанных на скалярном поле, можно разделить на несколько классов. В частности, это могло бы быть поле с обычным кинетическим членом, см. уравнение (11.1) в приложении В, однако потенциал такого поля $U(\phi)$, как правило, выбирается довольно необычным и, как минимум, приводит к неперенормируемой, сильно нелинейной теории. Это поле было названо “квинтэссенция”, согласно предложению Колдуэлла (Caldwell) и др. [243].

Другие варианты включают так называемую К-эссенцию (K-essence) - теорию, в которой кинетический член имеет нестандартную форму:

$$A_K = \int d^4x \sqrt{-g} P(\phi, X), \quad (6.1)$$

$X = (1/2)g^{\mu\nu} \partial_\mu \phi \partial_\nu \phi$ - обычный кинетический член, но функция P нелинейно зависит от него. Часто P выбирается в факторизованном виде $P(\phi, X) = f_1(\phi) f_2(X)$. Свобода тут очень большая, чем и объясняется поток работ на эту тему.

Еще один способ описания тёмной энергии опирается на скалярное тахионное поле, примером действия для которого может служить выражение:

$$A_T = \int d^4x V(\phi) \sqrt{-\det[g_{\mu\nu} - \partial_\mu\phi \partial_\nu\phi]}, \quad (6.2)$$

где $V(\phi)$ - некоторая потенциальная функция, подбираемая *ad hoc*. Обратим внимание на необычную размерность поля ϕ , обратную первой степени энергии.

Такое действие напоминает действие Борна-Инфельда [261], где вместо $\partial_\mu\phi \partial_\nu\phi$ стоит тензор Максвелла, $F_{\mu\nu}$ или же модификацию гравитации [262], где в действие под знаком корня подставляется $R_{\mu\nu}$. Все эти теории имеют ряд похожих свойств.

Наконец, стоит упомянуть “фантомное” поле со знаком действия, который противоположен нормальному. Такое поле приводит к $w < -1$, как видно из выражения для плотности энергии и давления (11.5) при изменении знака перед производными поля ϕ . Разумеется, неправильный знак кинетического члена приводит к неустойчивости высокочастотных мод, что представляет серьезную проблему для таких теорий уже на классическом уровне, не говоря уже о проблемах квантовой теории.

Более подробное обсуждение этих вариантов феноменологического описания (эффективного, в духе эффективных лагранжианов) тёмной энергии и обширный список литературы можно найти в обзорах [258–260]. Возникает впечатление, что всё, что считалось патологией ранее в нормальных теориях, используется для “создания” ускоренного расширения. Мы не можем, однако, исключить, что решение проблемы лежит именно на этом пути.

Простейшим кандидатом на роль носителя тёмной энергии является скалярное поле ϕ с каноническим кинетическим членом и с очень малой (или даже нулевой) массой, $m < H_0$, где H_0 – параметр Хаббла в современную эпоху. Это поле удовлетворяет уравнению Клейна-Гордона:

$$\ddot{\phi} + 3H\dot{\phi} - \frac{\nabla^2\phi}{a^2(t)} + U'\phi = 0, \quad (6.3)$$

где $U(\phi)$ – потенциал этого поля, а $U' = dU/d\phi$.

Если параметр Хаббла велик (ниже будут приведены конкретные условия необходимой величины), то решение этого уравнения окажется приближенно постоянным. Во-первых, пространственные неоднородности ϕ замоются из-за космологического расширения, вызываемого фактором $1/a^2$ при пространственных производных. А вторая производная по времени окажется пренебрежимой в силу большого хаббловского трения. Отметим, что для пространственно однородного поля $\phi = \phi(t)$ уравнение (6.3) совпадает с уравнением движения в ньютоновской механике, где роль координаты играет $\phi(t)$. Поэтому его решение интуитивно легко представить, зная форму потенциала $U(\phi)$. Член $3H\dot{\phi}$ ведет себя, как жидкое трения в механике, так что при большом трении движение напоминает плавание в глицерине, когда скорость под воздействием постоянной силы стремится к постоянной величине.

Итак, предположим, что вторыми производными в уравнении (6.4) можно пренебречь, найдем решение и проверим, удовлетворяет ли найденное решение исходным предположениям о медленности изменения ϕ . В указанных предположениях ϕ удовлетворяет уравнению первого порядка:

$$\dot{\phi} = -U'/3H. \quad (6.4)$$

Это так называемое приближение медленного скатывания, широко используемое в инфляционных моделях.

Если основной вклад в космологическую плотность энергии ρ , дает ϕ , то в пределе медленного изменения этого поля ρ определяется потенциалом $U(\phi)$ и согласно уравнению (2.5) параметр Хаббла равен

$$H^2 = \frac{8\pi U}{3m_{Pl}^2}. \quad (6.5)$$

Приближение медленного скатывания будет справедливым, если $\ddot{\phi} \ll 3H\dot{\phi}$ и $\dot{\phi}^2 \ll 2U(\phi)$. Для реализации этих условий необходимо:

$$U''/U \ll \frac{8\pi}{3m_{Pl}^2}, \quad (6.6)$$

что требует очень большой величины поля ϕ . В частности, для массивного невзаимодействующего поля, т.е. поля с гармоническим потенциалом $U = m^2\phi^2/2$ указанные выше условия будут выполнены, если

$$\phi^2 > (4\pi/3) m_{Pl}^2. \quad (6.7)$$

Если потребовать, чтобы плотность энергии поля ϕ , а именно $\rho_\phi = m_\phi^2\phi^2$ была порядка современной космологической плотности энергии, то его масса должна быть ограничена очень низким значением: $m_\phi < 1/t_U \approx 10^{-42}$ эВ.

Некоторые сведения о теории скалярного поля приведены в Приложении В. Там дан вывод тензора энергии-импульса скалярного поля, который имеет вид (11.4). Для квазипостоянного и квази-однородного поля он становится пропорциональным метрическому тензору, $T_{\mu\nu} \sim g_{\mu\nu}$, реализуя вакуумо-подобное уравнение состояния (2.15), т.е. $w \approx -1$, что и приводит к почти экспоненциальному ускоренному расширению. Существенно, однако, что поле ϕ , хоть и медленно, но падает. Предполагается, что в точке равновесия, где $dU/d\phi = 0$, потенциал также обращается в ноль, $U = 0$. (Это требование отсутствия вакуумной энергии и его выполнение, вообще говоря, не обязательно.) Простыми примерами таких потенциалов, стремящихся к нулю на бесконечности, являются степенной $U \sim 1/\phi^q$ или экспоненциальный $U \sim \exp(-\phi/\mu)$, где μ -постоянный параметр размерности массы [263]. Эти потенциалы были специально введены для феноменологического описания ускоренного расширения, но фундаментальные причины для их возникновения довольно шаткие.

Движение $\phi(t)$ в таких потенциалах принципиально отлично от движения в потенциалах, имеющих минимум при конечном ϕ , например, $U(\phi) = m_\phi^2\phi^2/2$ или $U(\phi) = \lambda\phi^4/4$ и также нулевое значение вакуумной энергии. Отметим, что эти два потенциала естественны в квантовой теории поля, так как отвечают перенормируемой теории. В таких потенциалах произойдет существенное изменение режима расширения, когда ϕ упадет до такого значения, при котором H^2 сравняется с m_ϕ^2 или с $\lambda\phi^2$, т.е. ϕ упадет заметно ниже планковского значения. В этот момент квазиэкспоненциальный режим ускоренного расширения перейдет в обычный замедляющийся фридмановский: либо нерелятивистский ($w = 0$) для квадратичного потенциала, либо в релятивистский ($w = 1/3$) для квартичного. При этом ϕ начнет осциллировать вокруг минимума, порождая безмассовые частицы, фотоны или гравитоны.

Если же потенциал не имеет минимума при конечном ϕ , то поле монотонно стремится к нулю и режим расширения вечно будет ускоренным и в режиме медленного скатывания (slow roll) параметр w будет постоянным и отрицательным, обеспечивая ускоренное расширение. Рассмотрим для примера экспоненциальный потенциал [263, 264]:

$$U(\phi) = U_0 \exp\left(-\frac{\phi}{\mu}\right). \quad (6.8)$$

В предположении, что $\dot{\phi}^2 \ll U(\phi)$ уравнение движения ϕ сводится к (6.4), которое легко интегрируется, если в плотности энергии доминирует потенциальный член и параметр Хаббла дается выражением (6.5). Поле ϕ логарифмически растет со временем:

$$\phi(t) = 2\mu \ln \left[\sqrt{\frac{U_0}{96\pi\mu^4}} m_{Pl}(t - t_0) + \exp\left(\frac{\phi_0}{2\mu}\right) \right], \quad (6.9)$$

где ϕ_0 -величина поля в начальный момент t_0 .

Соответственно при больших t :

$$U(\phi) \approx \frac{96\pi\mu^4}{(m_{Pl}t)^2}, \quad (\dot{\phi})^2 \approx \frac{4\mu^2}{t^2} \quad (6.10)$$

и условие медленного скатывания выполняется при $m_{Pl} \lesssim \mu$. Параметр Хаббла при этом падает обратно пропорционально времени:

$$H \approx \frac{16\pi\mu}{m_{Pl}t}, \quad (6.11)$$

т.е. расширение будет степенным:

$$a \sim t^{16\pi\mu/m_{Pl}} \quad (6.12)$$

При $16\pi\mu > m_{Pl}$ процесс расширения будет идти с ускорением. При $m_{Pl}/\mu \rightarrow 0$ закон расширения будет стремиться к экспоненциальному, а $w \rightarrow -1$.

7 Модифицированная гравитация

Конкурирующей гипотезой феноменологического описания механизма космологического ускорения является предположение о модификация гравитации при малой кривизне. Обычно это осуществляется добавлением некоторой функции скаляра кривизны R к действию Гильберта-Эйнштейна:

$$A = \frac{m_{Pl}^2}{16\pi} \int d^4x \sqrt{-g} [R + F(R)] + A_m, \quad (7.1)$$

где $m_{Pl} = 1.22 \cdot 10^{19}$ GeV - масса Планка, R - скаляр кривизны и A_m - действие полей материи. Дополнительный член $F(R)$ меняет гравитацию на больших расстояниях, поэтому говорят об инфракрасной модификации гравитации. Нелинейная функция $F(R)$ подбирается таким образом, чтобы уравнения движения имели решения $R = \text{const}$ в отсутствие материи. Отметим, что, в принципе, можно бы рассматривать более сложные варианты модификации гравитации с какими-то функциями не только R , но и инвариантных комбинаций, построенных из $R_{\mu\nu}R^{\mu\nu}$ или тензора Римана. В настоящее время, однако, рассматриваются лишь теории с $F(R)$. Это диктуется не только простотой, но и проблемами с духами и тахионами в более сложных теориях.

Уравнения Эйнштейна для $F(R)$ -гравитации модифицируются следующим образом:

$$(1 + F') R_{\mu\nu} - \frac{1}{2} (R + F) g_{\mu\nu} + (g_{\mu\nu} D_\alpha D^\alpha - D_\mu D_\nu) F' = \frac{8\pi T_{\mu\nu}^{(m)}}{m_{Pl}^2}, \quad (7.2)$$

где $F' = dF/dR$, D_μ ковариантная производная в метрике Фридмана-Робертсона-Уокера и $T_{\mu\nu}^{(m)}$ - тензор энергии-импульса вещества. Взяв след по индексам этого уравнения, $g_{\mu\nu} \delta A / \delta g_{\mu\nu}$, получим:

$$3D^2 F'_R - R + R F'_R - 2F = 8\pi T_\mu^\mu / m_{Pl}^2, \quad (7.3)$$

где $D^2 \equiv D_\mu D^\mu$ - ковариантный оператор Д'Аламбера. При рассмотрении $F(R)$ -теории изучение решений этого уравнения часто оказывается вполне достаточным.

Следует, однако, заметить, что добавление нелинейного по кривизне слагаемого в действие может привести к серьезным патологиям в теории, в частности, к нарушению унитарности и появлению духов и/или тахионов. Обычно эти проблемы игнорируются при кривизнах близких к планковским – кто знает, что там происходит – но заметные отклонения от обычной гравитации при малых кривизнах, т.е. в пределе слабого поля, могут привести к противоречию с хорошо установленными наблюдаемыми фактами. Мы, однако, не будем останавливаться на всем круге этих проблем, а ограничимся лишь возможными отклонениями от стандартной ОТО на уровне решений классических уравнений движения.

В пионерских статьях по описанию космологического ускорения за счет модификации гравитации [265, 266] функция $F(R)$ была выбрана в виде $F(R) = -\mu^4/R$, где μ - малый параметр размерности массы. Однако, как было показано в работе [267], такой выбор функции $F(R)$ приводит к очень сильной экспоненциальной неустойчивости теории при наличии материи, так что обычная теория гравитации будет сильно искажена. Действительно рассмотрим уравнение, описывающее эволюцию кривизны как функцию времени (7.3), для теории с $F(R) = -\mu^4/R$:

$$D^2 R - 3 \frac{(D_\alpha R)(D^\alpha R)}{R} = \frac{R^2}{2} - \frac{R^4}{6\mu^4} - \frac{\tilde{T} R^3}{6\mu^4}. \quad (7.4)$$

Здесь $\tilde{T} = 8\pi T_\nu^\nu / m_{Pl}^2 > 0$.

Это уравнение в отсутствие вещества имеет очевидное решение $R^2 = 3\mu^4$, описывающее вселенную де Ситтера с постоянным скаляром кривизны.

Предположим теперь, что источником гравитационного поля является обычное небесное тело, например, Земля или Солнце, так что создаваемое гравитационное поле оказывается слабым и фоновое пространство является четырехмерно плоским с метрикой Минковского. Будем искать решение уравнения (7.4) по теории возмущений, предполагая малое отклонение от стандартной ОТО. В низшем порядке кривизна алгебраически выражается через след тензора энергии-импульса: $R_0 = -\tilde{T}$. Обычное решение в пустоте $R = 0$ теперь оказывается приближенным, так как функция $F(R)$, как уже отмечалось, подбирается в виде, чтобы уравнение (7.3) в отсутствие материи имело бы решение $R = R_c = \text{const}$, где R_c равняется наблюдаемой космологической кривизне и пренебрежимо мало с кривизной внутри любых материальных тел, в отношении космологической плотности энергии к плотности энергии этих тел. Можно проверить также, что стационарное решение вне гравитирующего тела в модифицированной теории быстро убывает при удалении от этого тела. На этом основании можно сделать вывод, что стационарные решения в модифицированной гравитации хорошо согласуются с ньютоновским пределом стандартной ОТО при достаточно малом μ .

На первый взгляд введение дополнительного члена в действие μ^4/R при достаточно малом μ не приводит к значительным отклонениям от обычной теории гравитации, но это совсем не так. Дело в том, что в модифицированной теории скаляр R становится динамической величиной, эволюция которой определяется уравнением второго порядка с малым коэффициентом перед старшей производной по времени. В силу этого возникает очень сильная неустойчивость решения в присутствии материальных тел [267].

Применим уравнение (7.4) к пертурбативному вычислению гравитационного поля, точнее скаляра кривизны, внутри какого-либо небесного тела, например, Солнца, Земли или просто облака газа в галактике с зависящей от времени плотностью энергии. Будем искать решение в виде $R = R_0 + R_1$, где R_0 - обычное решение ОТО, т.е. $R_0 = -\tilde{T}$. Полагая, как отмечалось выше, фоновую метрику плоской, найдем, что отклонение от ОТО, R_1 ,

удовлетворяет уравнению

$$\ddot{R}_1 - \Delta R_1 - \frac{6\dot{\tilde{T}}}{\tilde{T}} \dot{R}_1 + \frac{6\partial_j \tilde{T}}{\tilde{T}} \partial_j R_1 + R_1 \left[\tilde{T} + 3 \frac{(\partial_\alpha \tilde{T})^2}{\tilde{T}^2} - \frac{\tilde{T}^3}{6\mu^4} \right] = \Delta \tilde{T} + \frac{\tilde{T}^2}{2} - \frac{3(\partial_\alpha \tilde{T})^2}{\tilde{T}}, \quad (7.5)$$

где $(\partial_\alpha \tilde{T})^2 = \dot{\tilde{T}}^2 - (\partial_j \tilde{T})^2$.

Последнее слагаемое в квадратных скобках в левой части приводит к экспоненциальной неустойчивости малых флуктуаций, а также и к неустойчивости гравитационного поля, создаваемого регулярно меняющейся со временем плотностью массы/энергии рассматриваемого тела. Характерное время неустойчивости оказывается очень коротким:

$$\tau_{\text{instab}} = \frac{\sqrt{6}\mu^2}{T^{3/2}} \sim 10^{-26} \text{ сек} \left(\frac{\rho_m}{\Gamma/\text{см}^3} \right)^{-3/2}, \quad (7.6)$$

где ρ_m - плотность массы/энергии рассматриваемого тела, а $\mu^{-1} \sim t_u \approx 3 \cdot 10^{17}$ сек. В силу малости μ слагаемое, содержащее μ^4 в знаменателе в уравнении (7.5), намного превосходит все другие члены.

Обычно пространственные производные ликвидируют или подавляют неустойчивость. Например, джинсовская неустойчивость устраняется противодействующим гравитации давлением. Однако в рассматриваемом случае слагаемое, содержащие лапласиан, ΔR_1 , которое обратно пропорционально квадрату размера системы, намного меньше, чем член, вызывающий неустойчивость. Легко убедиться, что неустойчивость может быть подавлена на масштабах менее, чем комптоновская длина волны протона, т.е. короче, чем 10^{-14} см.

Чтобы решить проблему неустойчивости, была предложена дальнейшая модификация модифицированной гравитации. Мы рассмотрим здесь лишь класс моделей, предложенных в работах [268–270]. Некоторые другие формы модификации гравитации рассмотрены в обзоре [271]. Различные формы действия, изучаемые в работах [268–270], имеют вид:

$$F_{\text{HS}}(R) = -\frac{R_{\text{vac}}}{2} \frac{c \left(\frac{R}{R_{\text{vac}}} \right)^{2n}}{1 + c \left(\frac{R}{R_{\text{vac}}} \right)^{2n}}, \quad (7.7)$$

$$F_{\text{AB}}(R) = \frac{\epsilon}{2} \log \left[\frac{\cosh \left(\frac{R}{\epsilon} - b \right)}{\cosh b} \right] - \frac{R}{2}, \quad (7.8)$$

$$F(R)_S = \lambda R_0 \left[\left(1 + \frac{R^2}{R_0^2} \right)^{-n} - 1 \right]. \quad (7.9)$$

Несмотря на внешнее различие, все эти выражения приводят практически к совпадающим следствиям. Ниже мы будем следовать анализу, проведенному в работе [272], а в конкретных примерах мы будем использовать выражение (7.9).

Введя обозначение $f = R + F(R)$, перепишем полевые уравнения в виде:

$$f' R'_\mu - \frac{f}{2} \delta_\mu^\nu + (\delta_\mu^\nu \square - D_\mu D^\nu) f' = \frac{8\pi T_\mu^\nu}{M_{\text{Pl}}^2}. \quad (7.10)$$

Здесь и всюду ниже штрих у f или F означает производную по R .

Взяв след по индексам μ и ν , приходим к замкнутому уравнению для R :

$$3\square f'(R) + R f'(R) - 2f(R) = 8\pi M_{\text{Pl}}^{-2} T_\mu^\mu. \quad (7.11)$$

Такая модифицированная теория приведет к ускоренному космологическому расширению при условии, что уравнение

$$R f'(R) - 2f(R) = 0 \quad (7.12)$$

имеет решение $R = R_1 > 0$, с (приближенно) постоянным R_1

Для того, чтобы избежать возможных патологий в теории, необходимо потребовать выполнение следующих условий:

1. Устойчивость космологических решений в будущем:

$$F'(R_1)/F''(R_1) > R_1. \quad (7.13)$$

2. Классическая и квантовая устойчивость (гравитационное притяжение и отсутствие духов):

$$F'(R) > 0, \quad (7.14)$$

3. Отсутствие неустойчивости в материальных телах, продемонстрированное выше:

$$F''(R) > 0. \quad (7.15)$$

Несмотря на существенное улучшение эти дважды модифицированные версии теории по-прежнему приводят к серьезным проблемам. Во-первых, в космологической ситуации, когда плотность энергии падает со временем, в недалеком прошлом должна была существовать сингулярность, когда кривизна имела бесконечно большую величину хотя плотности энергии оставалась конечной.

Более того, астрономические системы с растущей плотностью энергии либо должны уже прийти к сингулярному состоянию, либо придут к нему в близком будущем [273, 274]. Следуя работе [274], рассмотрим версию (7.9) модифицированной гравитации в пределе $R \gg R_0$, когда можно приближенно принять

$$F(R) \approx -\lambda R_0 \left[1 - \left(\frac{R_0}{R} \right)^{2n} \right] \quad (7.16)$$

и проанализируем эволюцию R в массивных астрономических объектах с растущей со временем плотностью массы/энергии $\rho \gg \rho_{\text{cosm}}$.

Предположим, как и выше, что гравитационное поле изучаемых объектов является слабым, так что ковариантные производные могут быть заменены на обычные. В этом приближении уравнение (7.11) принимает вид:

$$\begin{aligned} (\partial_t^2 - \Delta)R - (2n+2) \frac{\dot{R}^2 - (\nabla R)^2}{R} + \frac{R^2}{3n(2n+1)} \left[\frac{R^{2n}}{R_0^{2n}} - (n+1) \right] \\ - \frac{R^{2n+2}}{6n(2n+1)\lambda R_0^{2n+1}} (R + \tilde{T}) = 0. \end{aligned} \quad (7.17)$$

Уравнение кардинально упростится, если вместо R ввести другую неизвестную функцию $w \equiv F' = -2n\lambda (R_0/R)^{2n+1}$ которая подчиняется уравнению:

$$(\partial_t^2 - \Delta)w + dU(w)/dw = 0, \quad (7.18)$$

где потенциал $U(w)$ равен:

$$U(w) = \frac{1}{3} \left(\tilde{T} - 2\lambda R_0 \right) w + \frac{R_0}{3} \left[\frac{q^\nu}{2n\nu} w^{2n\nu} + \left(q^\nu + \frac{2\lambda}{q^{2n\nu}} \right) \frac{w^{1+2n\nu}}{1+2n\nu} \right], \quad (7.19)$$

с параметрами: $\nu = 1/(2n+1)$ и $q = 2n\lambda$. Здесь мы следуем обозначениям работы [274] и надеемся, что совпадения обозначения w для новой функции кривизны и космологического параметра, связывающего давление и плотность энергии, не приведет к путанице.

Заметим, что обсуждаемой сингулярности $R = \infty$ отвечает $w = 0$. Это обстоятельство при анализе сингулярности позволяет спокойно пренебречь пространственными производными в этом уравнении. Действительно, обычно пространственные производные не дают

функции расти. Наоборот, они “тащат” её в ноль. Если сделать преобразование Фурье по координате, то $-\Delta w = k^2 w$, т.е. это слагаемое ведет себя, как потенциал гармонического осциллятора с минимумом в нуле. Таким образом, если сингулярность возникает в пренебрежении членом Δw , то она тем более возникнет и при учете этого члена.

Если ограничиться лишь главными по малому отношению R_0/R слагаемыми и пренебречь пространственными производными, то уравнение (7.18) превращается в обычное осцилляторное уравнение:

$$\ddot{w} + \frac{\tilde{T}}{3} - \frac{q^\nu(-R_0)}{3w^\nu} = 0 \quad (7.20)$$

с потенциалом, который в этом приближении принимает вид

$$U(w) = \frac{\tilde{T}w}{3} - \frac{q^\nu(-R_0)w^{1-\nu}}{3(1-\nu)}. \quad (7.21)$$

Потенциал U будет зависеть от времени, если плотность массы/энергии рассматриваемого небесного тела меняется со временем. Возьмем для примера объект, состоящий из нерелятивистского вещества с растущей по линейному закону плотностью массы:

$$\tilde{T} \equiv \tilde{T}(t) = \tilde{T}_0(1 + t/t_{\text{contr}}), \quad (7.22)$$

где t_{contr} -характерное время сжатия системы. Разумеется, линейное приближение когда-то должно стать несправедливым, но результаты качественно не меняются.

Для дальнейшего удобно ввести безразмерные переменные: $t = \gamma\tau$ and $w = \beta\zeta$, где

$$\begin{aligned} \gamma^2 &= \frac{3q}{(-R_0)} \left(-\frac{R_0}{\tilde{T}_0} \right)^{2(n+1)}, \\ \beta &= \gamma^2 \tilde{T}_0 / 3 = q \left(-\frac{R_0}{\tilde{T}_0} \right)^{2n+1}. \end{aligned} \quad (7.23)$$

В их терминах уравнение (7.20) становится очень простым по форме:

$$z'' - z^{-\nu} + (1 + \kappa\tau) = 0. \quad (7.24)$$

Здесь штрих означает производную по безразмерному времени τ .

Легко видеть, что минимум потенциала движется к $\zeta = 0$, а глубина потенциала в минимуме уменьшается. Кажется совершенно очевидным, что даже если в исходном состоянии ζ неподвижно сидело в минимуме потенциала, то при росте плотности массы возникнут осцилляции ζ вокруг ползущего минимума, и в процессе раскачки z достигнет нуля. Численные расчеты, проведенные в работе [274], показывают точно такую картину.

Для качественного анализа поведения осцилляций удобно использовать интегральный закон эволюции энергии, который для осцилляционного уравнения общего вида:

$$\zeta'' + \partial U / \partial \zeta = 0 \quad (7.25)$$

с потенциалом, который может явно зависеть от времени, имеет вид:

$$\frac{(\zeta')^2}{2} + U(\zeta, \tau) - \int d\tau \frac{\partial U}{\partial \tau} = \text{const.} \quad (7.26)$$

Соотношение (7.26) также позволяет провести общий анализ возникновения сингулярности R , как было сделано в работе [275].

Можно избежать бесконечных значений R , если добавить к действию слагаемое пропорциональное R^2 :

$$F(R) \rightarrow F(R) - R^2/6m^2. \quad (7.27)$$

Космологические модели с квадратичным по кривизне действием были впервые рассмотрены в работах [276–278]. Члены высшего порядка по кривизне могут возникнуть в результате радиационных поправок к обычному действию Гильберта-Эйнштейна при рассмотрении вакуумного среднего тензора энергии-импульса в искривленном пространстве. Заметим, что радиационные поправки генерируют не только R^2 , но и $R_{\mu\nu}R_{\mu}{}^{\nu}$, которые не столь безобидны, как предыдущие, так как приводят к патологии в теории в виде тахионов и духов.

Интересным свойством действия с квадратичными по кривизне членами является ранняя инфляционная стадия, как это имеет место в модели Старобинского [279]. В этой модели инфляция естественно заканчивается за счет рождения частиц новой скалярной гравитационной степенью свободы - скаляра кривизны, который становится динамической переменной за счет R^2 -поправок. Процесс разогрева Вселенной, знаменующий окончание инфляции, за счет гравитационного рождения частиц в R^2 -теории рассматривался в ранних работах [280–284] и в недавних работах [285, 286].

Процесс рождения частиц в поздней Вселенной за счет высокочастотных осцилляций скаляра кривизны в теории с действием (7.9) рассматривался в работах [287, 288], где был сделан вывод, что рожденные частицы могут давать заметный вклад в поток космических лучей высоких энергий. Этот результат критиковался в работах [289, 290], в которых ставилась под сомнение высокая эффективность рождения частиц. Однако, как было показано в работе [291], эта критика является необоснованной.

Уравнение движения, определяющее эволюцию $R(t)$, при наличии R^2 -члена, не удастся явно привести к осцилляторному уравнению типа (7.25), оно принимает более сложный вид [274]:

$$\left[1 - \frac{R^{2n+2}}{6\lambda n(2n+1)R_0^{2n+1}m^2} \right] \ddot{R} - (2n+2) \frac{\dot{R}^2}{R} - \frac{R^{2n+2}(R+T)}{6\lambda n(2n+1)R_0^{2n+1}} = 0. \quad (7.28)$$

Тем не менее можно видеть, что наличие второго слагаемого в коэффициенте перед \ddot{R} не дает кривизне добраться до бесконечности. Интересно, что наивная оценка обрезания R на величине, когда это второе слагаемое будет по порядку величины близко к единице, оказывается сильно заниженной. Рост R прекращается при гораздо более высоком значении, как это показано в работах [287], где был проведен более подробный анализ эволюции $R(t)$ в инфракрасно модифицированных теориях с действием типа (7.7 - 7.9) с добавленным слагаемым $R^2/6m^2$ для астрономических систем с растущей плотностью энергии. Были получены аналитическое, с использованием соотношения (7.26), а также численное решения, находящиеся в хорошем согласии между собой.

При больших частотах численное решение неустойчиво и “взрывается” при довольно малых временах. Из-за этого не удастся надежно продвинуться к асимптотическому режиму. Однако при достаточно малых частотах вычисления вполне надежны и хорошо согласуются с аналитическими. С другой стороны, аналитические результаты становятся более точными с ростом частоты. Благодаря этому удастся покрыть весь существенный диапазон частот.

Для анализа уравнение движения (7.28) было преобразовано к форме (7.25), однако явного выражения для потенциала в этом случае получить не удастся. Тем не менее полученные приближения адекватно описывают решения. Для рассматриваемого случая астрономических систем с растущей плотностью справедливы соотношения: $|R_c| \ll |R| \ll m^2$ и тогда F примерно равна

$$F(R) \simeq -R_c \left[1 - \left(\frac{R_c}{R} \right)^{2n} \right] - \frac{R^2}{6m^2}. \quad (7.29)$$

Рассмотрим приближенно однородное распределение материи с растущей плотностью массы, которая остается достаточно малой (например, облако газа в процессе образования

галактики или звезды). В этом случае фоновую метрику можно полагать метрикой Минковского. В этом приближении уравнение (7.3) принимает вид:

$$3\partial_t^2 F' - R - T = 0. \quad (7.30)$$

Введем, как и выше, безразмерные величины

$$\begin{aligned} z &\equiv \frac{T(t)}{T(t_{in})} \equiv \frac{T}{T_0} = \frac{\rho_m(t)}{\rho_{m0}}, & y &\equiv -\frac{R}{T_0}, \\ g &\equiv \frac{T_0^{2n+2}}{6n(-R_c)^{2n+1}m^2} = \frac{1}{6n(mt_U)^2} \left(\frac{\rho_{m0}}{\rho_c}\right)^{2n+2}, & \tau &\equiv m\sqrt{g}t, \end{aligned} \quad (7.31)$$

где $\rho_c \approx 10^{-29}$ г/см³ – космологическая плотность энергии в современной вселенной, ρ_{m0} – начальное значение плотности энергии в рассматриваемой системе, и $T_0 = 8\pi\rho_{m0}/m_{Pl}^2$.

Далее введем новую неизвестную функцию:

$$\xi \equiv \frac{1}{2n} \left(\frac{T_0}{R_c}\right)^{2n+1} F_{,R} = \frac{1}{y^{2n+1}} - gy, \quad (7.32)$$

для которой уравнение движения (7.30) может быть переписано в простой осцилляторной форме:

$$\xi'' + z - y = 0, \quad (7.33)$$

где штрих у ξ означает производную по безразмерному времени τ . Подстановка (7.32) аналогична, но не тождественна той, что была сделана в работе [274], даже при отсутствии R^2 -члена. В рассматриваемом случае это несколько более удобно технически.

Потенциал этого осциллятора, очевидно, определяется условием:

$$\frac{\partial U}{\partial \xi} = z - y(\xi). \quad (7.34)$$

Теперь y не выражается через ξ аналитически и явное выражение для потенциала отсутствует. Все же удастся получить достаточно аккуратные приближенные выражения для $U(\xi)$, особенно при малых g , для положительных и отрицательных ξ по отдельности. Детали можно найти в работах [287].

Осцилляции $\xi(t)$ довольно близки к гармоническим, но физическое поле $R(t)$ колеблется весьма далеким от гармонической формы образом, демонстрируя резкие короткие пики с большой амплитудой, в которых $y \gg 1$, т.е. решение далеко уходит от стандартного значения в ОТО, $R_{GR} = -T_0$. Эти пики отвечают нереализованным сингулярным точкам, когда достижение кривизной бесконечной величины останавливается R^2 -членом. Поведение кривизны в зависимости от времени изображено на рис. 11. Сильная ангармоничность колебаний y или, что то же, R приводит к эффективной перекачке энергии низкочастотных мод, которые возбуждаются при медленном сжатии системы, в высокочастотные.

Высокочастотные осцилляции кривизны с большой амплитудой приведут к рождению космических лучей высоких энергий в период образования крупномасштабной структуры вселенной. Потоки таких частиц могут быть наблюдаемы для довольно широкого интервала значений параметров теории.

Мы довольно подробно остановились на этом необычном поведении кривизны еще и из-за того, что на этих решениях нарушается теорема Йебсена-Биркгофа (Jebsen-Birkhoff) и в частности возникает поразительное явление гравитационного отталкивания, антигравитации для систем конечного размера [292]. Возникновение гравитационного отталкивания для бесконечных систем, например, ускоренного космологического расширения, не противоречит ОТО. Обсуждение нарушения теоремы Йебсена-Биркгофа в $F(R)$ -модифицированных теориях можно найти в работах [293, 294].

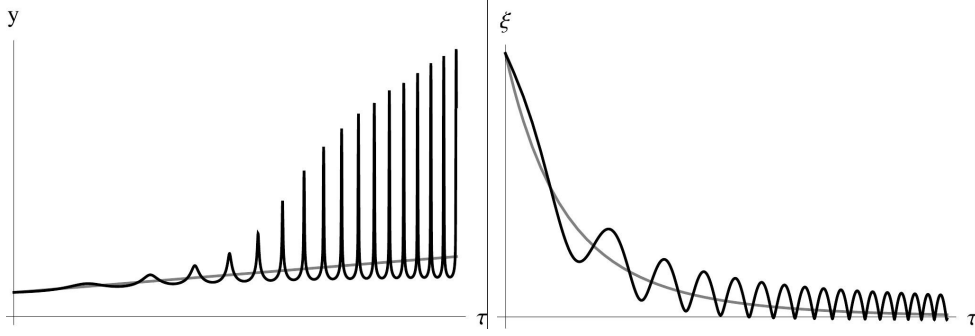


Рис. 11: Пики в осцилляциях кривизны. Результаты представлены для $n = 2$, $g = 0.001$, $\kappa = 0.04$ и $y'_0 = \kappa/2$.

Мы продемонстрируем возникновение гравитационного отталкивания на примере сферически симметричного распределения материи с метрикой, определяемой обычным выражением:

$$ds^2 = A(r, t)dt^2 - B(r, t)dr^2 - r^2(d\theta^2 + \sin^2\theta d\phi^2). \quad (7.35)$$

Метрика такого типа для $F(R)$ теорий анализировалась в работах [295, 296], но там не были приняты во внимание осцилляции кривизны, на которых и сидит эффект антигравитации.

Предположим, что метрические коэффициенты A и B близки к единице, т.е. что метрика близка к плоской метрике Минковского. Именно в этом предположении и были получены количественные результаты об осцилляциях R . Ненулевые компоненты тензора Риччи, отвечающие метрике (7.35), равны:

$$R_{00} = \frac{A'' - \ddot{B}}{2B} + \frac{(\dot{B})^2 - A'B'}{4B^2} + \frac{\dot{A}\dot{B} - (A')^2}{4AB} + \frac{A'}{rB}, \quad (7.36)$$

$$R_{rr} = \frac{\ddot{B} - A''}{2A} + \frac{(A')^2 - \dot{A}\dot{B}}{4A^2} + \frac{A'B' - (\dot{B})^2}{4AB} + \frac{B'}{rB}, \quad (7.37)$$

$$R_{\theta\theta} = -\frac{1}{B} + \frac{rB'}{2B^2} - \frac{rA'}{2AB} + 1, \quad (7.38)$$

$$R_{\varphi\varphi} = \left(-\frac{1}{B} + \frac{rB'}{2B^2} - \frac{rA'}{2AB} + 1\right) \sin^2\theta = R_{\theta\theta} \sin^2\theta, \quad (7.39)$$

$$R_{0r} = \frac{\dot{B}}{rB}. \quad (7.40)$$

Здесь штрих и точка над символом функции означают производные по r и t , соответственно. Соответствующий скаляр кривизны, $R = g^{\mu\nu} R_{\mu\nu}$, равен:

$$\begin{aligned} R &= \frac{1}{A}R_{00} - \frac{1}{B}R_{rr} - \frac{1}{r^2}R_{\theta\theta} - \frac{1}{r^2 \sin^2\theta}R_{\varphi\varphi} \\ &= \frac{A'' - \ddot{B}}{AB} + \frac{(\dot{B})^2 - A'B'}{2AB^2} + \frac{\dot{A}\dot{B} - (A')^2}{2A^2B} + \frac{2A'}{rAB} - \frac{2B'}{rB^2} + \frac{2}{r^2B} - \frac{2}{r^2} \\ &= \frac{2}{A}R_{00} - \frac{2B'}{rB^2} + \frac{2}{r^2B} - \frac{2}{r^2}. \end{aligned} \quad (7.41)$$

Полагая, как сказано выше, слабое отличие метрики от плоской, т.е. что

$$A_1 = A - 1 \ll 1 \text{ and } B_1 = B - 1 \ll 1 \quad (7.42)$$

проверим, самосогласованность этого предположения для осцилляционных решений, найденных в работах [287], для которых R заметно превосходит свое значение в ОТО. Для

этого удобно использовать уравнения (7.2) в форме:

$$R_{00} - R/2 = \frac{\tilde{T}_{00} + \Delta F_{,R} + F/2 - RF_{,R}/2}{1 + F_{,R}}, \quad (7.43)$$

$$R_{rr} + R/2 = \frac{\tilde{T}_{rr} + (\partial_t^2 + \partial_r^2 - \Delta)F_{,R} - F/2 + RF_{,R}/2}{1 + F_{,R}}, \quad (7.44)$$

так как их левая часть не содержит вторых производных кривизны. В пределе слабого гравитационного поля можно пренебречь квадратами производных $A(r, t)$ и $B(r, t)$, и в результате получим для R_{00} и R_{rr} компонент тензора Риччи и для скаляра кривизны R следующие выражения:

$$R_{00} \approx \frac{A'' - \ddot{B}}{2} + \frac{A'}{r}, \quad (7.45)$$

$$R_{rr} \approx \frac{\ddot{B} - A''}{2} + \frac{B'}{r}, \quad (7.46)$$

$$R \approx A'' - \ddot{B} + \frac{2A'}{r} - \frac{2B'}{r} + \frac{2(1 - B)}{r^2}. \quad (7.47)$$

Если плотность энергии материи внутри облака, т.е. для $r < r_m$ намного больше, чем средняя космологическая плотность энергии, то будут верны следующие соотношения:

$$F_{,R} \ll 1 \quad \text{и} \quad F \ll R \quad (7.48)$$

Для статических решений эффекты модификации гравитации в этом пределе невелики и решение окажется близким к обычному шварцшильдовскому решению в согласии с имеющейся литературой. Как было отмечено выше, в работах [287] показано, что в системах с растущей плотностью энергии возбуждаются высокочастотные осцилляции кривизны. Для таких решений можно пренебречь пространственными производными $F'_{,R}$ по сравнению с временными, так как характерное время осцилляций микроскопически мало, а пространственные вариации макроскопически велики. Так что из уравнения (7.3) следует что $(\partial_t^2 - \Delta)F_{,R} = (\tilde{T} + R)/3$ и мы получим

$$B'_1 + \frac{B_1}{r} = r\tilde{T}_{00}, \quad (7.49)$$

$$A''_1 - \frac{A'_1}{r} = -\frac{3B_1}{r^2} + \ddot{B}_1 + \tilde{T}_{00} - 2\tilde{T}_{rr} + \frac{\tilde{T}_{\theta\theta}}{r^2} + \frac{\tilde{T}_{\varphi\varphi}}{r^2 \sin^2 \theta} \equiv S_A. \quad (7.50)$$

Предполагая малое отклонение от метрики Минковского, мы пренебрегли поправками к $T_{\mu\nu}$, вызванными кривизной пространства-времени. Ниже мы проверим, в каком случае справедливо это предположение.

Уравнение (7.49) имеет решение:

$$B_1(r, t) = \frac{C_B(t)}{r} + \frac{1}{r} \int_0^r dr' r'^2 \tilde{T}_{00}(r', t). \quad (7.51)$$

Чтобы избежать сингулярности при $r = 0$, необходимо положить $C_B(t) \equiv 0$. Тогда выражение для B_1 формально совпадает с обычным шварцшильдовским решением, а решение для A_1 обладает дополнительной свободой:

$$A_1(r, t) = C_{1A}(t)r^2 + C_{2A}(t) + \int_r^{r_m} dr_1 r_1 \int_{r_1}^{r_m} \frac{dr_2}{r_2} S_A(r_2, t). \quad (7.52)$$

Пределы интегрирования выбраны таким образом, чтобы не возникло сингулярности при $r_2 = 0$.

Используя уравнение (7.51) с $C_B = 0$, перепишем S_A в следующем виде:

$$S_A = -\frac{3}{r^3} \int_0^r dr' r'^2 \tilde{T}_{00}(r', t) + \frac{1}{r} \int_0^r dr' r'^2 \ddot{\tilde{T}}_{00}(r', t) + \tilde{T}_{00} - 2\tilde{T}_{rr} + \frac{\tilde{T}_{\theta\theta}}{r^2} + \frac{\tilde{T}_{\varphi\varphi}}{r^2 \sin^2 \theta} \quad (7.53)$$

и в итоге найдем:

$$A_1(r, t) = C_{1A}(t)r^2 + C_{2A}(t) + \int_r^{r_m} dr_1 r_1 \int_{r_1}^{r_m} \frac{dr_2}{r_2} \left(\tilde{T}_{00}(r_2, t) - 2\tilde{T}_{rr}(r_2, t) + \frac{\tilde{T}_{\theta\theta}(r_2, t)}{r_2^2} + \frac{\tilde{T}_{\varphi\varphi}(r_2, t)}{r_2^2 \sin^2 \theta} \right) - \int_r^{r_m} dr_1 r_1 \int_{r_1}^{r_m} \frac{dr_2}{r_2} \left(\frac{3}{r_2^3} \int_0^{r_2} dr' r'^2 \tilde{T}_{00}(r', t) - \frac{1}{r_2} \int_0^{r_2} dr' r'^2 \ddot{\tilde{T}}_{00}(r', t) \right) \quad (7.54)$$

Найдем сначала постоянные интегрирования в случае, когда отсутствует осциллирующее слагаемое в кривизне. Определим массу внутри радиуса r обычным образом:

$$M(r, t) = \int_0^r d^3r T_{00}(r, t) = 4\pi \int_0^r dr r^2 T_{00}(r, t) \quad (7.55)$$

Если все вещество сосредоточено внутри радиуса r_m , то полная масса системы оказывается равной $M \equiv M(r_m)$ и, в соответствии с классическим решением Шварцшильда, не зависит от времени. Поскольку $\tilde{T}_{00} = 8\pi T_{00}/m_{Pl}^2$, то для $r > r_m$, получаем, как и ожидалось, $B_1 = r_g/r$, где $r_g = 2M/m_{Pl}^2$ - обычный внешний радиус Шварцшильда.

Вычислим теперь A_1 (7.54). Очевидно, что при $r > r_m$ первый интеграл обращается в нуль, так как $r_2 > r_m$, и по предположению там $T_{\mu\nu} = 0$. Интеграл, содержащий $\ddot{\tilde{T}}_{00}$, тоже зануляется в силу постоянства внешней массы. Остающийся интеграл легко берется:

$$\int_r^{r_m} dr_1 r_1 \int_{r_1}^{r_m} \frac{dr_2}{r_2} \frac{3}{r_2^3} \int_0^{r_2} dr' r'^2 \tilde{T}_{00}(r', t) = \frac{r_g}{r} + \frac{r_g r^2}{2r_m^3} - \frac{3r_g}{2r_m}. \quad (7.56)$$

Таким образом, метрический коэффициент вне источника равен:

$$A_1 = -\frac{r_g}{r} + \left[C_{1A}(t) - \frac{r_g}{2r_m^3} \right] r^2 + \left[C_{2A}(t) + \frac{3r_g}{2r_m} \right]. \quad (7.57)$$

Выберем

$$C_{1A} = r_g/(2r_m^3), \quad C_{2A} = -3r_g/(2r_m). \quad (7.58)$$

Первое условие необходимо, чтобы устранить слагаемое, пропорциональное r^2 на бесконечности, второе же необязательно, но оно всегда может быть наложено переопределением времени. Заметим, что такой выбор произвольных постоянных справедлив, когда в решении нет быстро осциллирующих членов.

В модифицированной гравитации внутреннее решение имеет ту же форму, что приведена выше: (7.51) и (7.54), однако коэффициент C_{1A} может нетривиально зависеть от времени. Этот коэффициент можно найти из уравнения (7.47), если известна скалярная кривизна $R(t)$. Используя выражения (7.51) и (7.54) и сравнивая их с уравнением (7.47), мы можем заключить, что доминирующий вклад в кривизну дается суммой $A'' + 2A'/r$ и соответственно $C_{1A}^{(\text{osc})}(t) = R(t)/6$, со скаляром кривизны, вычисленным в работах [287]:

$$R(t) = R_{GR}(r)y(t), \quad (7.59)$$

где $R_{GR} = -8\pi T(r)/m_{Pl}^2$ - решение в общей теории относительности, а быстро осциллирующая $y(t)$ функция может быть много больше единицы. В соответствии с работой [287] максимальное значение y в пиковой области составляет:

$$y(t) \sim 6n(2n+1)mt_u \left(\frac{t_u}{t_{\text{contr}}} \right) \left[\frac{\rho_m(t)}{\rho_{m0}} \right]^{(n+1)/2} \left(\frac{\rho_c}{\rho_{m0}} \right)^{2n+2}, \quad (7.60)$$

где t_u - возраст вселенной, t_{contr} - характерное время сжатия системы, так что плотность сжимающегося облака ведет себя, как $\rho_m(t) = \rho_{m0}(1 + t/t_{\text{contr}})$, а ρ_{m0} и $\rho_c = 10^{-29} \text{ г/см}^3$ - начальная плотность массы/энергии облака и современная космологическая плотность соответственно. В соответствии с результатами работы [286], параметр m , входящий в выражение (7.27), должен превосходить 10^5 ГэВ , чтобы не возникло противоречия с первичным нуклеосинтезом. Посему множитель mt_u принимает гигантское значение: $mt_u \geq 10^{47}$ и y может быть много больше единицы, если только не будет подавлен малой величиной отношения $(\rho_c/\rho_{m0})^{2n+2}$ при большом показателе n .

Отметим, что имеется существенное различие между вакуумными решениями в обычной и модифицированной гравитации. В стандартном случае пропорциональное r^2 слагаемое появляется как вне ($r > r_m$), так и внутри ($r < r_m$) облака с одним и тем же коэффициентом и поэтому оно должно обратиться в нуль. С другой стороны, в модифицированной гравитации такого условия нет и, следовательно, слагаемое $C_{1A}r^2$ может присутствовать при $r < r_m$ и отсутствовать при $r \gg r_m$.

Вакуумное решение для R , по-видимому, имеет вид $R \sim R_c$, где R_c - маленькая космологическая кривизна, плюс возможное осциллирующее слагаемое. Таким образом, метрические функции внутри облака равны:

$$B(r, t) = 1 + \frac{2M(r, t)}{m_{Pl}^2 r} \equiv 1 + B_1^{(\text{Sch})}, \quad (7.61)$$

$$A(r, t) = 1 + \frac{R(t)r^2}{6} + A_1^{(\text{Sch})}(r, t). \quad (7.62)$$

Иными словами, мы построили решение, предполагая, что оно состоит из двух слагаемых: шварцшильдовского и осциллирующего, причем быстро осциллирующая часть возникает в системах с медленно меняющейся со временем плотностью энергии. Выражение для $A_1^{(\text{Sch})}(r, t)$ определяется интегралами (7.54) с постоянными $C_{A1} = r_g/2r_m^3$ и $C_{A2} = -3r_g/r_m$, как это следует из выражений (7.58).

Что касается интегралов в равенстве (7.54) во внутренней области, то мы вычислим их, полагая, что вещество является нерелятивистским, так что пространственные компоненты $T_{\mu\nu}$ пренебрежимо малы по сравнению с T_{00} . Предположим также для простоты, что плотность массы/энергии $T_{00} \equiv \rho_m(t)$ постоянна по пространству, но может зависеть от времени. Первые два интеграла в выражении (7.54) взаимно сокращаются и выживает лишь интеграл пропорциональный второй производной плотности массы. Так что в результате получим:

$$A_1^{(\text{Sch})}(r, t) = \frac{r_g r^2}{2r_m^3} - \frac{3r_g}{2r_m} + \frac{\pi \ddot{\rho}_m}{3m_{Pl}^2} (r_m^2 - r^2)^2. \quad (7.63)$$

Как мы уже отмечали, $R(t)$ в модифицированной теории, как правило, выше своего значения в ОТО, т.е. $|R_{GR}| = 8\pi\rho_m/m_{Pl}^2$, так что второе слагаемое в уравнении (7.62), т.е. $R(t)r^2/6$, дает доминирующий вклад в A_1 при достаточно больших r . Действительно, $r^2 R(t) \sim r^2 y R_{GR}$, причем $y > 1$, в то время, как канонический шварцшильдовский вклад порядка $r_g/r_m \sim \rho_m r_m^2/m_{Pl}^2 \lesssim r_m^2 R_{GR}$.

В низшем порядке по гравитационному взаимодействию уравнение движения пробной нерелятивистской частицы (геодезическое уравнение) имеет вид:

$$\ddot{r} = -\frac{A'}{2} = -\frac{1}{2} \left[\frac{R(t)r}{3} + \frac{r_g r}{r_m^3} \right], \quad (7.64)$$

где A определено в уравнении (7.62). Поскольку в рассмотренной здесь модификации гравитации $R(t)$ отрицательно и велико по абсолютной величине, то внутри сжимающегося

облака с $\rho > \rho_c$ возникают эффекты гравитационного отталкивания, которое окажется сильнее гравитационного притяжения, если

$$\frac{|R|r_m^3}{3r_g} = \frac{|R|r_m^3 m_{Pl}^2}{6M} = \frac{|R|r_m^3 m_{Pl}^2}{8\pi\rho r_m^3} = \frac{|R|}{\tilde{T}_{00}} \equiv y > 1, \quad (7.65)$$

В результате могут образоваться ячеистые структуры, в частности, космические пустоты (voids).

Интересно, что в этой теории сила гравитационного отталкивания проявляется короткими, но сильными ударами, заметно превышающими обычное гравитационное притяжение.

Заметим, что хотя результат был получен в приближении плоского фонового пространства, он представляется более общим и справедливым и в случае искривленного пространства времени. Более того, естественно ожидать, что антигравитация возникает и в других похожих версиях $F(R)$ теорий.

8 Заключение

После того, как наш обзор был представлен в журнал, появился еще ряд работ, имеющих непосредственное отношение к рассматриваемым нами проблемам. Ниже, по предложению рецензента, мы кратко опишем некоторые из новых работ. Укажем, прежде всего, обзор [313], где рассмотрены различные типы модификации гравитации, а не только $F(R)$, как в нашем обзоре. В этом обзоре [313] описана космологическая эволюция, начиная от инфляционной эпохи до наших дней, а также модели отскока от сингулярности при схлопывании Вселенной.

В работе [314] выведены ограничения на параметры скалярно-тензорных и $F(R)$ -теорий на основе анализа наблюдений гравитационных волн от слияния нейтронных звезд.

Детальное обсуждение космологической эволюции в $F(R)$ -теориях приведено в неопубликованной на момент написания нашего обзора работе [315].

Авторы обзора [316] проводят строгое различие между тёмной энергией и модифицированной гравитацией на основе сильного и слабого принципов эквивалентности. Рассмотрены феноменология и характерные наблюдаемые характеристики этих двух категорий моделей.

В обзоре [317] подчёркнута квантовая природа проблемы тёмной энергии и необходимость такого решения, которое обходит по-го теорему Вайнберга [22].

Критический анализ широкой совокупности различного типа астрономических наблюдений проведен в работе [318]. По утверждению авторов, факт космологического ускорения является твердо установленным.

Вопрос о том, насколько твёрдо сверхновые SNIe могут считаться стандартными свечами обсуждается в работе [319] с учетом того, что гравитация может быть модифицирована. Авторы делают вывод, что в теориях, в которых сила гравитации зависит от времени, сверхновые SNIe не могут считаться стандартными свечами и вывод об ускоренном расширении, вообще говоря, может быть не справедлив. Однако, остаётся открытым вопрос, насколько необходимая зависимость гравитационной постоянной от времени остается совместимой с полным набором данных в пользу антигравитирующей тёмной энергии.

Недавно возникло новое течение для описания ускоренного расширения Вселенной и тёмной энергии, под названием “заболоченная почва” или просто “болото” (*англ.* ‘swampland’) [320, 321] как альтернатива струнному ландшафту. Под последним понимается почти бесконечное количество вакуумных состояний (более, чем $10^{100\,000}$) при компактификации суперструнных моделей на четырехмерное пространство. Столь гигантское количество вакуумных состояний открывает путь антропному решению проблемы вакуумной энергии, см. выше раздел 3 примерно через страницу после уравнения (3.6).

Авторы работ [320,321] отмечают, что общепринято полагать, будто все самосогласованные эффективные квантовые полевые теории, со взаимодействием с гравитацией с большой вероятностью могут быть получены тем или иным образом как результат компактификации струнной теории, что делает струнные теории не слишком полезными с точки зрения низкоэнергетической феноменологии. Согласно точке зрения, высказанной в работах [320,321], это не так, и на самом деле могут существовать эффективные теории поля, не приводящие к самосогласованной теории гравитации при ультрафиолетовом замыкании. Авторы предлагают называть набор таких теорий, которые не приводят к струнной теории при ультрафиолетовом замыкании, болотом по контрасту с ландшафтом.

Космологические эффекты, к которым могла бы привести “заболоченная” картина, рассмотрены в работе [322]. Критический анализ таких моделей и их следствий приведен в работе [323].

В настоящее время количество работ по “болотной” тематике составляет уже несколько десятков, и их анализ требует отдельного обзора.

Благодарности

Мы благодарим одного из рецензентов за конструктивные замечания, а также Гастона Фолателли (Gaston Folatelli) за обсуждения вопросов о систематических ошибках в наблюдаемых параметрах SN Ia и Марию Пружинскую за внимательное прочтение текста и многочисленные поправки по истории и по космологическим приложениям сверхновых.

С.Б. благодарен Shun Saito и Tomomi Sunayama за ценные указания на литературу по ВАО и критические замечания и гранту РФФИ 19-52-50014 за поддержку работ по моделированию сверхновых.

А.Д. благодарен за поддержку гранту РНФ 16-12-10037.

9 Приложения

9.1 Приложение А. Вывод уравнений Фридмана

9.1.1 Элементарный вывод из ньютоновской теории

Рассмотрим пространство, заполненное однородно и изотропно распределенным веществом, и выделим в нем небольшой шар радиуса $ra(t)$. Здесь r – это фиксированная, так называемая сопутствующая, координата, а возможное изменение радиуса определяется функцией $a(t)$. Такие обозначения выбраны для соответствия с используемыми в тексте космологическими обозначениями.

Рассмотрим поведение материальной точки на границе этого шара. Как известно, в сферически симметричном случае внешность шара не оказывает никакого гравитационного действия на пробную частицу. Сумма кинетической и потенциальной энергий этой частицы должна сохраняться:

$$\frac{r^2 \dot{a}^2}{2} - \frac{4\pi}{3} \frac{\rho r^2 a^2}{m_{Pl}^2} = \text{const} \quad (9.1)$$

Очевидно, что после деления на $r^2 a^2/2$ это уравнение совпадает с уравнением (2.5).

Рассмотрим далее баланс плотности энергии среды, $dE = -P dV$, где $E = \rho V$ и, следовательно, $dE = V d\rho + 3(da/a)V\rho$. Отсюда, очевидно, следует уравнение (2.7).

Дифференцируя уравнение (2.5) и используя уравнение (2.7), получим уравнение (2.6).

На этом этапе может возникнуть законный вопрос, каким образом на основании нерелятивистской механики Ньютона удалось получить релятивистскую теорию гравитации Эйнштейна, где гравитирует не только масса, но и давление? Ответ состоит в том, что мы предположили, что источником гравитации является, по крайней мере частично, не плотность массы, а плотность энергии. В этом и состоит критическое отличие от нерелятивистской теории Ньютона.

9.1.2 Вывод из вариационного принципа

Обычно в учебниках по ОТО основные уравнения космологии, т.е. уравнение Фридмана, выводят из уравнений Эйнштейна в предположении однородной и изотропной метрики (2.3) или (2.4). В самом деле, уравнение (2.12) в смешанных компонентах даст при $\Lambda = 0$ для тензора Эйнштейна G_μ^ν :

$$G_\mu^\nu \equiv R_\mu^\nu - \frac{1}{2}g_\mu^\nu R = \frac{8\pi}{m_{Pl}^2} T_\mu^\nu, \quad (9.2)$$

откуда для метрики FRW (2.4) имеем

$$G_0^0 = R_0^0 - \frac{1}{2}R = \frac{8\pi}{m_{Pl}^2} T_0^0. \quad (9.3)$$

Вычисление тензоров Риччи и Эйнштейна даёт

$$G_0^0 = \frac{3k + 3(\dot{a})^2}{a^2}. \quad (9.4)$$

Поскольку $T_0^0 = \rho$, отсюда сразу получаем (2.5).

Покажем, что это уравнение можно вывести в рамках ОТО, не пользуясь тензором энергии-импульса T_i^k и уравнениями Эйнштейна, а прямо из действия S . Чтобы выводить из вариационного принципа нужно знать только скаляр кривизны R . В этом выводе есть ряд поучительных моментов.

Действие S состоит из суммы двух слагаемых: гравитационной части и действия материи, S_m , определяемого лагранжианом \mathcal{L}_m :

$$S = S_H + S_m = \varkappa \int R\sqrt{-g}d^4x + \int \mathcal{L}_m\sqrt{-g}d^4x. \quad (9.5)$$

Константа \varkappa в выражении (9.5) равна:

$$\varkappa \equiv \frac{1}{16\pi G_N} \equiv \frac{m_{Pl}^2}{16\pi}. \quad (9.6)$$

Возьмем простой случай совершенной (идеальной) жидкости, когда плотность лагранжиана \mathcal{L}_m есть просто энергия в единице объёма, ρ . Это подробно рассмотрено в книге В.А.Фока [297].

Подставляя выражения для скаляра кривизны, R , через масштабный фактор и его производные и плотность энергии, ρ , умноженные на $\sqrt{-g} = a^3$, получим функцию Лагранжа для величины $a(t)$:

$$L[a(t)] = -6\varkappa(a^2\ddot{a} + a\dot{a}^2 + ka) + \rho a^3. \quad (9.7)$$

Мы можем избавиться от второй производной по времени, \ddot{a} , проинтегрировав соответствующее слагаемое в действии по частям:

$$\int_{t_{in}}^t a^2\ddot{a}dt = \int_{t_{in}}^t a^2\dot{a}da = a^2\dot{a}\Big|_{t_{in}}^t - \int_{t_{in}}^t \dot{a}da^2 = \text{const} - 2 \int_{t_{in}}^t \dot{a}adt. \quad (9.8)$$

Теперь обсудим пределы при интегрировании по времени. Нижний предел хотелось бы взять за нуль $t_{in} = 0$ (то что называют моментом Большого Взрыва - Big Bang), но не надо забывать, что решение в этом нуле в идеализированных моделях окажется сингулярным. Структуру этой сингулярности в рамках ОТО уже нельзя изучать. Верхний предел хотелось бы увести на бесконечность, но сделать это тоже нельзя, так как наша модельная вселенная может оказаться конечной во времени.

Избавившись от второй производной, мы получим лагранжиан в стандартном виде лишь с первыми производными, но в отличие от принципа экстремума действия классической механики, когда мы фиксируем только координаты частиц на концах траектории, теперь мы должны фиксировать и скорость (здесь \dot{a}). Только при $\delta a = 0$ и $\delta \dot{a} = 0$ на границах области интегрирования мы можем забыть о неинтегральном члене. В этом случае мы получим лагранжиан для масштабного фактора $a(t)$:

$$L = -6\kappa(-\dot{a}^2 a + ka) + \rho a^3. \quad (9.9)$$

Мы можем взять любое баротропное уравнение состояния, чтобы связать ρ и плотность числа частиц, n . В частности, можно предположить что ρ зависит только от a (через n), но не от \dot{a} . Тогда мы имеем ‘гамильтониан’

$$\mathcal{H} = \frac{\partial L}{\partial \dot{a}} \dot{a} - L = 6\kappa(a\dot{a}^2 + ka) - \rho a^3.$$

Здесь нет никакой явной зависимости от времени, следовательно, ‘энергия’ должна быть постоянной:

$$(a\dot{a}^2 + ka) - \frac{\rho a^3}{6\kappa} = \text{const}. \quad (9.10)$$

Мы можем обратить константу в правой части в нуль, добавив к плотности энергии плотность какой-то пылевидной материи: $\rho \rightarrow \rho + \Delta\rho$ с $\Delta\rho = \rho_0(a_0/a)^3$. Иными словами, произвольная постоянная может быть поглощена в определении плотности энергии за счет выбора $\rho_0 a_0^3$. Казалось бы, этого произвола нет при выводе такого же уравнения обычным путём из уравнений Эйнштейна, приведённом выше.

Но произвол всё равно остаётся, только константа определяется правильным выбором нулевого отсчёта энергии материи.

Выбор нуля для плотности энергии в (9.2) только кажется естественным: там где нет никакой кривизны, имеем нулевые тензоры Римана, Риччи и Эйнштейна, там же полагаем и $\rho = 0$. Но если истинные уравнения гравитации содержат Лямбда-член, то никакой естественности не получается: ведь можно писать либо Лямбда-член слева, либо ненулевую энергию вакуума справа с уравнением состояния $P = -\rho^{\text{vac}}$. А можно и произвольные доли Лямбда слева, а вакуумной энергии справа, получая совершенно эквивалентную динамику вселенной.

Итак, при занулении константы в уравнении (9.10) получаем, поделив его на a^3 и используя κ , определяемое выражением (9.6):

$$\left(\frac{\dot{a}}{a}\right)^2 = \frac{8\pi G}{3}\rho - \frac{k}{a^2}, \quad (9.11)$$

что и даёт известное первое уравнение Фридмана (2.5).

Вернёмся к вопросу о граничных членах, возникающих при интегрировании по частям в выводе уравнений движения. Связь вариационного принципа Гильберта с уравнениями Эйнштейна вовсе не тривиальна из-за внеинтегральных членов.

Зануление вариаций производных на границе в учебниках обычно упоминают, но уравнения из вариационного принципа получают, сразу забыв об этом ограничении. Одно известное нам исключение – книга Уолда [298]. Более свежая книга Eric Poisson [299] – см. там формулу (4.7) и ниже. Из книг по космологии это обсуждается в книге [300] (стр. 451-464 – on Hamiltonian constraint).

В этих книжках показано, что к действию Гильберта надо добавить члены с внешней кривизной. Такое действие обычно называют действием Гиббонса-Хокинга [301], иногда добавляют Йорка (Gibbons–Hawking–York action), хотя, по-видимому, Йорк [302] был первым, кто в явном виде добавил внешнюю кривизну в действие.

Например, одна из часто цитируемых статей [303] предлагает такое действие “for a metric g and generic matter fields ϕ ”:

$$I(g, \phi) = \int_M \left[\frac{R}{16\pi} + L_m(g, \phi) \right] + \frac{1}{8\pi} \oint_{\partial M} K \quad (9.12)$$

where R is the scalar curvature of g , L_m is the matter Lagrangian, and K is the trace of the extrinsic curvature of the boundary.”

В формуле (9.12) выбраны единицы, в которых и $m_{Pl} = 1$. Мы не будем давать формальное определение внешней кривизны K_{ik} . Его можно взять, например, из книги [304] стр.153 том 2 русского издания и далее, и убедиться, что в нашем примере с метрикой Фридмана (и Робертсона-Уокера) с нашей сигнатурой метрики мы имеем

$$K_{ik} = 0.5\dot{g}_{ik}, \quad (9.13)$$

ср. с формулой (21.70) из [304]. Здесь латинские индексы — это 1,2,3 (не так, как у Ландау-Лифшица [305]!).

Смысл такого выражения для внешней кривизны нетрудно понять: в нашем случае граница многообразия ∂M — это сечения при $t = \text{const}$, т.е. всё наше трёхмерное пространство. Внешняя кривизна получается по [304] из векторов, которые смотрят в 4-е измерение, в нашем случае — это t . Так и появляется производная по времени в (9.13).

Потом надо взять след

$$K \equiv K_i^i,$$

и мы увидим, что при том выборе коэффициентов, что сделан в выражении (9.12), наш внеинтегральный член в (9.8), а именно, $a^2 \dot{a} \Big|_{t_0}^t$, который содержит в себе точно ту же производную по времени, как и (9.13), исчезает. Не следует забывать и про другие коэффициенты, которые тут не выписаны. Таким образом, наш простой пример делает понятным выбор добавки к действию Гильберта в (9.12).

10 Приложение Б. Космологические параметры.

Здесь мы приведем значения основных космологических параметров и кратко опишем способы их измерения. Чтобы не загромождать список литературы, мы сошлемся лишь на [306], где имеются ссылки на оригинальные работы и краткие обзорные статьи.

Важной величиной в космологии является так называемая критическая плотность энергии:

$$\rho_c = \frac{3H^2 m_{Pl}^2}{8\pi}. \quad (10.1)$$

В англоязычной литературе ее называют “critical” или “closure” density. Последний термин связан с тем, что $\rho = \rho_c$ — граничное значение, при котором происходит переход от открытой к замкнутой вселенной. Согласно астрономическим данным полная плотность энергии всех форм материи во вселенной, ρ_{tot} , очень близка к критической, см. ниже, уравнение (10.3).

Космологическая плотность энергии той или иной формы материи характеризуется безразмерным параметром:

$$\Omega_a = \frac{\rho_a}{\rho_c} \quad (10.2)$$

Установлено, что

$$\Omega_{\text{tot}} = \rho_{\text{tot}}/\rho_c = 1.006 \pm 0.006. \quad (10.3)$$

Этот результат получен главным образом на основе анализа спектра угловых флуктуаций микроволнового фона (СМВ). Физическая длина волны, отвечающая первому максимуму на момент рекомбинации водорода ($z \approx 10^3$) известна, а тот угол, под которым мы ее наблюдаем сегодня, а значит и положение первого максимума, зависит от геометрии вселенной. Это наблюдаемое положение как раз отвечает плоской, эвклидовой геометрии.

Космологическая плотность барионной материи определяется несколькими независимыми способами: по наблюдаемым обилиям легких элементов, гелия, ^4He и дейтерия $\text{D} \equiv ^2\text{H}$, рожденных во время первичного нуклеосинтеза, по отношению высот пиков в флуктуациях микроволнового фона и по масштабу, на котором начинается диффузионное, или силковское затухание (Silk damping). Все эти методы приводят к близким значениям:

$$\Omega_B h^2 = 0.022, \quad (10.4)$$

где h - безразмерная постоянная Хаббла, нормированная на 100: $h = H/100$ км/сек/Мпк. Согласно принятому значению [306]:

$$h = 0.673 \pm 0.012 \quad (10.5)$$

Этот результат получен на основании анализа угловых флуктуаций микроволнового фона и крупномасштабной структуры вселенной [307]. Однако стоит указать на систематическое, и довольно значительное расхождение этого результата с измерениями h традиционными астрономическими методами [308]:

$$h = 0.738 \pm 0.024. \quad (10.6)$$

Пока неясно, означает ли это, что значение параметра Хаббла зависит от расстояния необычным образом и, следовательно, закон расширения не тот, что принимается в обычной ΛCDM - космологии, см. например работу [178], где проанализированы возможные вариации закона расширения, или же расхождение может быть объяснено наличием нестабильной, но долгоживущей компоненты тёмной материи [309, 310]. Впрочем, не исключено и даже вероятнее более прозаическое объяснение, что различие связано со систематическими ошибками в определении астрономической лестницы расстояний. В связи с последней возможностью большой интерес приобретает метод прямого измерения H , предложенный в работах [206], который свободен от неоднозначности обычных астрономических методов.

Так или иначе, плотность барионной материи близка к

$$\Omega_B = 0.05. \quad (10.7)$$

Заметим, что из этого 5%-го вклада барионов в космологическую плотность, менее половины наблюдаются непосредственно. Оставшаяся половина находится неизвестно где и неизвестно в чем.

Суммарная плотность барионов и тёмной материи определяется по совокупности целого ряда независимых космологических наблюдений. Некоторые, исторически более ранние методы, не могут конкурировать с получившимися развитие в недавнее время, такими как анализ флуктуаций микроволнового фона или барионных акустических осцилляций, но мы их упомянем, чтобы показать, что анализ физически различных явлений во вселенной приводит к близким значениям плотностей тёмной и барионной материи и, совокупно определяемой плотности тёмной энергии. В качестве альтернативы тёмной материи нередко предлагается модификация динамики или гравитационного взаимодействия, но им не под силу описать всю совокупность имеющихся указаний на наличие именно тёмной материи.

Итак, сам факт наличия тёмной материи и величина космологической плотности нормально гравитирующей (барионной плюс невидимой, тёмной материи) определяется по:

- 1) по плоским кривым вращения: скорости частиц газа или малых галактик-спутников при удалении от светящегося центра (большой) галактики не падают с расстоянием а стремятся к постоянной величине. Этот закон справедлив до расстояний порядка 10 галактических радиусов, внутри которого находится видимое светящееся вещество.
- 2) по гравитационному линзированию отдаленных объектов, которое позволяет оценить полное количество гравитирующего вещества вдоль луча зрения.
- 3) по равновесию горячего газа в богатых галактических скоплениях; для удержания газа внутри кластера требуется примерно в пять раз больше гравитации, чем создается видимым веществом.
- 4) по эволюции образования галактических скоплений как функции красного смещения; в пространственно плоской вселенной, т.е. во вселенной с $\Omega = 1$, в которой вся масса “сидела” бы в нормально гравитирующей материи, число галактических кластеров при $z \sim 1$ было бы раза в три меньше, чем наблюдается. Если же основная часть вещества находится в виде антигравитирующей тёмной энергии, наблюдаемая картина согласуется с теорией.

Все эти методы согласно дают для полной плотности кластеризованной нормально гравитирующей материи значение $\Omega_{DM} + \Omega_B \approx 0.3$. Более точные методы, основанные на анализе барионных акустических осцилляций и угловых флуктуациях температуры микроволнового фона приводят (после вычета вклада барионов) к:

$$\Omega_{DM} = 0.27. \quad (10.8)$$

Недостающий до единицы “кусоч” обеспечивается тёмной энергией:

$$\Omega_{DE} = 0.68. \quad (10.9)$$

Как уже отмечалось, указание на антигравитационные свойства тёмной энергии получены на основании открытия того, что отдаленные сверхновые оказались более тусклыми, чем ожидалось при стандартном замедляющемся космологическом расширении. Кроме того, ускоренное расширение необходимо для разрешения кризиса возраста вселенной. Без антигравитирующей тёмной энергии вселенная была бы раза в полтора моложе, чем следует из возраста старых звездных скоплений и из ядерной хронологии. К такому же результату о необходимости ускоренного расширения приводит и анализ крупномасштабной структуры вселенной. Ускоренное расширение приводит к подавлению образования структур на больших масштабах в согласии с наблюдениями. Если параметризовать равнение состояния тёмной материи в форме $P = w\rho$, то для параметра w имеем (см. [306] и [311]):

$$w = -1.01 \pm 0.04. \quad (10.10)$$

Любопытно, что данные не только не исключают фантомное значение $w < -1$, но и явно указывают на него. Остается возможным также вакуумное значение $w = -1$. В работе [312] на основе данных о барионных акустических осцилляциях был сделан вывод о возможной вариации тёмной энергии при космологическом расширении. К сожалению, имеющиеся данные пока не позволяют определить, чем вызывается ускоренное расширение: тёмной энергией или инфракрасной модификацией гравитации.

11 В. Скалярное поле

В этом приложении мы приведем сводку необходимых формул о скалярном поле в космологии. Действие для действительного скалярного поля обычно выбирается в виде:

$$A[\phi] = \int d^4x \sqrt{-g} [(1/2)g^{\mu\nu} \partial_\mu \phi \partial_\nu \phi - U(\phi)] \quad (11.1)$$

и приводит к уравнению движения

$$D^2\phi + U'(\phi) = 0, \quad (11.2)$$

где $U' = dU/d\phi$, $D^2 = g^{\mu\nu}D_\mu D_\nu$, а D_μ -ковариантная производная во внешнем гравитационном поле. В FRW-метрике (2.4) с $k = 0$ это уравнение принимает вид:

$$\ddot{\phi} + 3H\dot{\phi} - (1/a^2)\nabla^2\phi + U' = 0 \quad (11.3)$$

Отвечающий этому действию тензор энергии-импульса равен

$$T_{\mu\nu} = 2 \frac{\delta A}{\delta g^{\mu\nu}} = \partial_\mu\phi\partial_\nu\phi - g_{\mu\nu} \left[\frac{1}{2}(\partial\phi)^2 - U(\phi) \right]. \quad (11.4)$$

Соответственно плотность энергии и давления равны:

$$\rho = \frac{\dot{\phi}^2 + (\nabla\phi)^2/a^2}{2} + U(\phi), \quad P_{ij} = \delta_{ij} \left[\frac{\dot{\phi}^2 - (\nabla\phi)^2/a^2}{2} - U(\phi) \right] + \frac{\partial_i\phi\partial_j\phi}{a^2}. \quad (11.5)$$

Заметим, что при $U > 0$ среднее давление всегда меньше, чем плотность энергии, $P_i^i/3 < \rho$. Очевидно, что в случае медленно изменяющегося поля ϕ , как во времени и в пространстве будет приближенно справедливо вакуумо-подобное уравнение состояния: $P \approx -\rho$. В обратном предельном случае быстро изменяющегося $\phi(t)$, когда в $T_{\mu\nu}$ доминирует производная по времени, а поле ϕ пространственно однородно, имеет место максимально жесткое уравнение состояния: $P = \rho$. Для такого уравнения состояния скорость звука равна скорости света. Это уравнение могло бы реализоваться при космологическом сжатии.

Иногда рассматриваются так называемые тахионные уравнения состояния, возникающие при $U < 0$, например, при $U = -m^2\phi^2/2$, т.е. теории с отрицательным квадратом массы. Принято считать, что в таких теориях должно быть сверхсветовое распространение сигнала, но это неверно. Дело в том, что скорость сигнала - это скорость распространения его фронта, которая опережается асимптотикой коэффициента преломления при частоте/энергии, стремящейся к бесконечности. В этом пределе можно пренебречь потенциалом и мы приходим к нормальному распространению со скоростью света. Разумеется, групповая скорость оказывается сверхсветовой, но это означает лишь деформацию волны, что естественно так как вакуумное состояние неустойчиво при $m^2 < 0$. Как известно, в средах с аномальной дисперсией имеет место такая же картина: групповая скорость оказывается сверхсветовой, но волна деформируется, превращаясь в ударную волну с неаналитическим фронтом.

Заметим, что уравнение состояния в форме $P = P(\rho)$ не всегда существует. Хотя всегда можно определить параметр $w(t) \equiv P(t)/\rho(t)$, однако функциональной связи $P = P(\rho)$ может и не быть. Например, соотношение между P и ρ может быть нелокальным во времени. Тем не менее, несмотря на отсутствие уравнения состояния, набор космологических уравнений окажется полным так как недостающим уравнением будет уравнение движения поля (11.3).

Квантование поля проводится согласно обычной процедуре. В однородном пространстве оператор поля разлагается по его пространственным Фурье-модам с коэффициентами, зависящими от времени:

$$\phi(t, \mathbf{x}) = \int \frac{d^3k}{\sqrt{2E_k}(2\pi)^3} \left[a_k e^{i\mathbf{k}\mathbf{x}} f_k(t) + a_k^\dagger e^{-i\mathbf{k}\mathbf{x}} f_k^*(t) \right], \quad (11.6)$$

где $E_k = \sqrt{m^2 + k^2}$. Функции $f_k(t)$ являются решениями Фурье преобразованного уравнения (11.2) или уравнения (11.3), если речь идет о FRW-метрике. В частности, в плоском

пространстве получим известный результат, $f_k(t) = \exp(-iE_k t)$. В космологическом случае для FRW метрики решение уравнения (11.3) также известно аналитически. Можно показать, что оно выражается через функции Бесселя.

Операторы a_k и a_k^\dagger являются операторами уничтожения и рождения квантов поля ϕ (элементарными частицами). Они удовлетворяют соотношению коммутации:

$$[a_k^\dagger, a_{k'}] = 2E_k (2\pi)^2 \delta^3(\mathbf{k} - \mathbf{k}') \quad (11.7)$$

Оператор a_k , действуя на вакуум, уничтожает его, $a_k|vac\rangle = 0$, а оператор a_k^\dagger создает одночастичное состояние с импульсом k : $a_k^\dagger|vac\rangle = |k\rangle$. Фактор $2E$ в выражении (11.7) возникает лишь в пространстве Минковского. В общем случае искривленного пространства-времени необходимо писать вронскиан решений уравнения движения для $f_k(t)$.

Фермионные поля квантуются аналогично, только коммутатор операторов рождения-уничтожения заменяется на антикоммутатор. Этот факт имеет важное значение для взаимного уничтожения расходящихся частей вакуумных энергий бозонов и фермионов, см. раздел (3).

Список литературы

- [1] A. Einstein, Sitzungsberichte der Preussischen Akademie der Wissenschaften zu Berlin: 844 (1915);
- [2] A. Einstein, Annalen der Physik, 49 (1916) 76, “Die Grundllage der aillgemeinen Relativitätstheorie”.
- [3] A. Friedmann, Z. Phys. **10** (1922) 377.
- [4] A. Friedmann, Z. Phys. **21** (1924) 326.
- [5] H.P. Robertson, Rev. Mod. Phys. **5** (1933) 62.
- [6] A. G. Walker, MNRAS **94** (1933) 159
- [7] E. Hubble, PNAS, **15** (1929) 168.
- [8] G. Lemaitre, Annales de la Société scientifique de Bruxelles, Série A, 47 (1927), 49; английский перевод MNRAS, 91 (1931) 483; см. также Н. Nussbaumer, L. Bieri, arXiv:1107.2281v2 [physics.hist-ph].
- [9] A. Einstein, Sitzgsber. Preuss. Acad. Wiss. **1** (1918) 142.
- [10] A.D.Chernin, Physics Uspekhi, 178, 267 (2008)
- [11] W. de Sitter, Proc. Kon. Ned. Acad. Wet. 20 (1917) 229;
- [12] G. Lemaître, Annales de la Société Scientifique de Bruxelles 47 (1927) 49;
- [13] G. Lemaître, Nature 127 (1931) 706;
- [14] A.S. Eddington, Monthly Notices of the Royal Astronomical Society, 90 (1930) 668.
- [15] J.F. Koksma, T. Prokopec; arXiv:1105.6296 [gr-qc].
- [16] W. Pauli, “Feldquantisierung” 1950–1951, translation into English: W. Pauli, Pauli Lectures on Physics: Vol 6, Selected Topics in Field Quantization, MIT Press, 1971 (editor C.P. Enz)
- [17] Я.Б. Зельдович, Успехи Физических Наук, 95 (1968) 209

- [18] Visser, M. 2016. Lorentz invariance and the zero-point stress-energy tensor. ArXiv e-prints arXiv:1610.07264
- [19] Ю.А. Гольфанд, Е.П. Лихтман. Письма в ЖЭТФ, 13 (1971) 452;
Д.В. Волков, В.П. Акулов, Письма в ЖЭТФ, 16 (1972) 621;
J. Wess, B. Zumino, Phys. Lett. **49** (1974) 52.
- [20] M. Gell Mann, R.J. Oakes, B. Renner, Phys. Rev. 175 (1968) 2195.
- [21] M.A. Shifman, A.I. Vainshtein, V.I. Zakharov, Nucl. Phys. B147 (1978) 385.
- [22] S. Weinberg, Rev. Mod. Phys. **61** (1989) 1;
- [23] A.D. Dolgov, *Proc. of the XXIVth Rencontre de Moriond; Series: Moriond Astrophysics Meetings*, Les Arcs, France, p.227 (1989). Ed. J. Adouse and J. Tran Thanh Van;
- [24] A.D. Dolgov, *Fourth Paris Cosmology Colloquium*, World Scientific, 1998, Singapore, 161. Ed. H.J. De Vega and N. Sanchez;
- [25] P. Binetruy, Int. J. Theor. Phys. **39**, 1859 (2000) (lectures at Les Houches summer school “The early Universe” and Peyresq 4 meeting, July 1999);
- [26] V. Sahni, A. Starobinsky, Int. J. Mod. Phys. **D9**, 373 (2000);
- [27] S. Weinberg, astro-ph/0005265; talk given at Dark Matter 2000, February, 2000;
- [28] Y. Fujii, Grav. Cosmol. **6**, 107 (2000);
- [29] A. Vilenkin, hep-th/0106083, talks given at “The dark Universe” (Space Telescope Institute) and PASCOS-2001 in April 2001;
- [30] V. Sahni, astro-ph/0202076, invited review at “The Early Universe and Cosmological Observations: a Critical Review”, UCT, Cape Town, July 2001;
- [31] N. Straumann, astro-ph/0203330, Invited lecture at the first *Séminaire Poincaré*, Paris, March 2002;
- [32] P.J.E. Peebles, B. Ratra, Rev. Mod. Phys. **75**, 559 (2003);
- [33] J.E. Kim, hep-ph/0402043, talk presented at COSPA-03, Taipei, Taiwan, Nov. 13-15, 2003;
- [34] C.P. Burgess, hep-th/0402200, contribution to the proceedings of SUSY 2003, University of Arizona, Tucson AZ, June 2003;
- [35] R. Bousso, Gen. Rel. Grav. **40**, 607 (2008), arXiv:0708.4231 [hep-th].
- [36] R.H. Dicke, Nature **192** 440 (1961)
- [37] B. Carter, in IAU Symposium 63: Confrontation of Cosmological Theories with Observational Data, ed. by M. Longair (Reidel, 1974), page. 291;
- [38] B.J. Carr, M.J. Rees, Nature **278**, 605 (1979)
- [39] I. L. Rozental', Usp. Fiz. Nauk **131** 239 (1980) [Sov. Phys. Usp. 23,296 (1980).
- [40] И.Л. Розенталь, *Элементарные частицы и структура Вселенной*, Наука 1984
- [41] J. Barrow, F. Tipler, *The Anthropic Cosmological Principle*, Clarendon Press, 1986
- [42] И.Л. Розенталь, *Геометрия, Динамика, Вселенная*, Наука 1987

- [43] I.L. Rozental, *Big Bang, Big Bounce: How Particles and Fields Drive Cosmic Evolution*, Springer-Verlag (1988).
- [44] A. Vilenkin, Phys. Rev. D **27**, 2848 (1983).
- [45] A.D. Linde, Phys. Lett. B **175**, 395 (1986).
- [46] A.Д. Сахаров, ЖЭТФ, **87** 375 (1984).
- [47] S. Kachru, R. Kallosh, A. Linde, S.P. Trivedi Phys. Rev. D **68**, 046005 (2003).
- [48] R.M. Douglas, M. R., JHEP **0305**, 046 (2003).
- [49] L. Susskind; arXiv:hep-th/0302219 .
- [50] B. Carter, W. H. McCrea, Phil. Trans. Roy.Soc. London A **310**, 347 (1983).
- [51] S. Weinberg, Physical Review Letters **59** 2607 (1987).
- [52] A. D. Linde, Inflation And Quantum Cosmology, in: Three hundred years of gravitation. Cambridge Univ. Press, Eds. Hawking, S.W. and Israel, W., 604-630 (1987).
- [53] M. Tegmark, M.J. Rees, Ap. J. **499**, 526 (1998).
- [54] A. Vilenkin, in "Universe or Multiverse? ed. by B.J. Carr (Cambridge University Press, Cambridge 2007); arXiv:astro-ph/0407586.
- [55] J.Garriga, A, Vilenkin, Phys.Rev. D **61** 083502, On likely values of the cosmological constant (2000)
- [56] J. Garriga, M. Livio, A. Vilenkin, Phys. Rev. D **61**, 023503, The cosmological constant and the time of its dominance (1999)
- [57] L.Mersini-Houghton, F.Adams, Class.Quant.Grav.**25**:165002 Limitations of anthropic predictions for the cosmological constant: Cosmic Heat Death of Anthropic Observers (2008)
- [58] Sungwook E. Hong, Ewan D. Stewart, Heeseung Zoe, Phys. Rev. D **85**, 083510, Anthropic Likelihood for the Cosmological Constant and the Primordial Density Perturbation Amplitude (2012)
- [59] James Hartle, Thomas Hertog Phys. Rev. D **88**, 123516, Anthropic Bounds on Lambda from the No-Boundary Quantum State (2013)
- [60] G.L. Kane, M. J. Perry, A.N. Zytow, New Astronomy **7**, 45 (2002); arXiv:astro-ph/0001197.
- [61] Koyama, K., Sakstein, J., Phys. Rev. D, **91**, 124066 (2015); arXiv eprint 1502.06872
- [62] Vainshtein, A. I., To the problem of nonvanishing gravitation mass. Physics Letters B, **39**, 393-394, (1972)
- [63] A.D. Dolgov, The very early universe, Proceedings of Nuffield Workshop, 1982, eds. B.W. Gibbons and S.T. Siklos, Cambridge University Press.
- [64] A.D. Dolgov, JETP Lett. **41** (1985) 345 [Pisma Zh.Eksp.Teor.Fiz. **41** (1985) 280].
- [65] A.D. Dolgov, Phys. Rev. D **55** (1997) 5881.
- [66] M. Bronstein, Physikalische Zeitschrift der Sowjetunion, **3** (1933) 73.

- [67] T. Biswas, A. Notari, Phys.Rev. D74 (2006) 043508.
- [68] T. Rothman, R. Matzner, Astrophys. J. 257, 450 (1982)
- [69] F. S. Accetta, L. M. Krauss, P. Romanelli, Phys. Lett. B248, 146 (1990)
- [70] C. J. Copi, A. N. Davis, L. M. Krauss, Phys. Rev. Lett. 92, 171301 (2004)
- [71] C.Bambi, M.Giannotti and F.L. Villante, Phys.Rev.D., 71, 123524 (2005)
- [72] Zhu, W. W., and 19 colleagues 2015. Testing Theories of Gravitation Using 21-Year Timing of Pulsar Binary J1713+0747. The Astrophysical Journal 809, 41.
- [73] J.D. Anderson, G. Schubert, V. Trimble, and M.R. Feldman, EPL 110, 1002 (2015)
- [74] Schlamminger, S., Gundlach, J. H., Newman, R. D. Recent measurements of the gravitational constant as a function of time. Physical Review D 91, 121101 (2015)
- [75] F. Wilczek, Phys. Rep. **104**, 143 (1984)
- [76] M. Ozer, M.O. Taha, Phys. Lett. B 171 (1986), 363; Nucl. Phys. B287 (1987) 776;
- [77] Y. Fujii, Astropart. Phys. 5 (1996) 133
- [78] R.D. Peccei, J. Sola, C. Wetterich, Phys. Lett. B 195 (1987) 183
- [79] L.H. Ford, Phys. Rev. D 35 (1987) 2339
- [80] K. Freese, F.C. Adams, J.A. Frieman, E. Mottola, Nucl. Phys. B287 (1987) 797
- [81] M. Gasperini, Phys. Lett. B 194 (1987) 347
- [82] M. Reuter, C. Wetterich, Phys. Lett. B 188 (1987) 38
- [83] S.M. Barr, D. Hochberg, Phys. Lett. B 211 (1988) 49
- [84] N. Weiss Phys. Lett. B197 (1987) 42
- [85] Y. Fujii, T. Nishioka, Phys. Rev. D 42 (1990) 361; Phys.Lett. B 254 (1991) 347, см. также приведенные там ссылки.
- [86] L.F. Abbott, Phys. Lett. 150B, 427 (1985)
- [87] T. Banks, Nucl. Phys. B249, 332 (1985)
- [88] O. Bertolami, Nuovo Cimento 93B, 36 (1986)
- [89] S. M. Barr, Phys. Rev. D 36, 1691 (1987)
- [90] S. Mukohyama, L. Randall, Phys. Rev. Lett. 92 (2004) 211302.
- [91] A.D. Dolgov, M. Kawasaki, Phys. Atom. Nucl. **68**, 828; ЯФ **68**, 860; astro-ph/0307442, Realistic cosmological model with dynamical cancellation of vacuum energy (2005)
- [92] A.D. Dolgov, M. Kawasaki, astro-ph/0310822, Stability of a cosmological model with dynamical cancellation of vacuum energy (2003)
- [93] Y. Fujii, Phys. Rev. D **62**,064004 (2000)
- [94] Y. Fujii, T. Nishioka, Phys. Lett. B **25**, 347 (1991)

- [95] Y. Fujii, *Astropart Phys.* **5**, 133 (1996).
- [96] V.A. Rubakov, *Phys.Rev. D61* (2000) 061501, [hep-ph/9911305].
- [97] A. Hebecker, C. Wetterich, *Phys. Rev. Lett.* **85**, 3339 (2000).
- [98] S. Weinberg, *The Quantum Theory of Fields*, v.1, sec. 5.9, Cambridge University Press, 1995.
- [99] V.A. Rubakov, P.G. Tinyakov, *Phys. Rev. D61* (2000) 087503.
- [100] V. I. Ogievetsky, I. V. Polubarinov, *ЯФ* 4 (1966) 216; *Sov. J. Nucl. Phys.* 4 (1967) 156. Stability
- [101] V. Emelyanov, F.R. Klinkhamer, *Phys.Rev. D85* (2012) 063522
- [102] V. Emelyanov, F.R. Klinkhamer, *Int. J. Mod. Phys. D21* (2012) 1250025; arXiv:1108.1995
- [103] V. Emelyanov, F.R. Klinkhamer, *Phys.Rev. D85* (2012) 103508; arXiv:1109.4915
- [104] V. Emelyanov, F.R. Klinkhamer, *Phys.Rev. D86* (2012) 027302.
- [105] Steinhardt, P. J., Turok, N. 2006. Why the Cosmological Constant Is Small and Positive. *Science* 312, 1180-1183.
- [106] Shapley, H., and Curtis, H.D., 1921. The scale of the Universe. *Bulletin of the National Research Council*, 2, Part 3, No. 11, 171–217.
- [107] Boehle, A., et al., *Astrophysical Journal*, **830** (2016) p. 17.
- [108] Hubble, E. 1929. A Relation between Distance and Radial Velocity among Extra-Galactic Nebulae. *Proceedings of the National Academy of Science* 15, 168-173.
- [109] Sandage, A. 1995. *Practical Cosmology: Inventing the Past*. Saas-Fee Advanced Course 23. Lecture Notes 1993. Swiss Society for Astrophysics and Astronomy, XIV, Springer-Verlag Berlin Heidelberg New York, p. 1-232.
- [110] C. Wirtz, *Astronomische Nachrichten*, **215**, 349 (1922).
- [111] C. Wirtz, *Zeitschrift für Astrophysik*, **11**, 261 (1936).
- [112] Seitter, W. C., Duerbeck, H. W. 1999. Carl Wilhelm Wirtz - Pioneer in Cosmic Dimensions. *Harmonizing Cosmic Distance Scales in a Post-HIPPARCOS Era* 167, 237-242.
- [113] van den Bergh, S. 2011. Discovery of the Expansion of the Universe. *Journal of the Royal Astronomical Society of Canada* 105, 197.
- [114] Raifeartaigh, C. O 2012. The contribution of VM Slipher to the discovery of the expanding universe; arXiv:1212.5499.
- [115] Humason, M. L. 1931. Apparent Velocity-Shifts in the Spectra of Faint Nebulae. *The Astrophysical Journal* 74, 35.
- [116] М.В.Пружинская, С.М.Лисаков, 2015. *Природа* No. 12, 36
- [117] Pruzhinskaya, M.V., Lisakov, S.M., 2016. How supernovae became the basis of the observational cosmology. 2016, *ЖАН&Н*, 19(2), 203–215.

- [118] Lemaitre, G. Un Univers homogène de masse constante et de rayon croissant rendant compte de la vitesse radiale des nébuleuses extra-galactiques. *Annales de la Société Scientifique de Bruxelles*, A47 (1927) p. 49–59.
- [119] Lemaitre, G. 1931. Expansion of the universe, A homogeneous universe of constant mass and increasing radius accounting for the radial velocity of extra-galactic nebulae. *Monthly Notices of the Royal Astronomical Society* 91, 483-490.
- [120] Hubble, E.P. Extragalactic nebulae. *Astrophysical Journal*, **64** (1926) p. 321–369.
- [121] Shklovsky, J. 1967. On the Nature of “standard” Absorption Spectrum of the Quasi-Stellar Objects. *The Astrophysical Journal* 150, L1.
- [122] Kardashev, N. 1967. LEMAÎTRE’S Universe and Observations. *The Astrophysical Journal* 150, L135.
- [123] Gunn, J. E., Tinsley, B. M. 1975. An accelerating Universe. *Nature* 257, 454-457.
- [124] Tinsley, B. M. 1978. Accelerating universe revisited. *Nature* 273, 208-211.
- [125] Fukugita, M., Yamashita, K., Takahara, F., Yoshii, Y. 1990. Test for the cosmological constant with the number count of faint galaxies. *The Astrophysical Journal* 361, L1-L4.
- [126] Fukugita, M., Hogan, C. 1990. High H_0 ?. *Nature* 347, 120-121.
- [127] Fukugita, M., Hogan, C. J., Peebles, P. J. E. 1993. The cosmic distance scale and the Hubble constant. *Nature* 366, 309-312.
- [128] Sandage, A. and Tammann, G. A., *Astroph. J.*, **194**, 559-568 (1974).
- [129] S. Weinberg, *Gravitation and Cosmology*, 1972; С. Вейнберг, *Гравитация и космология*, Мир, Москва, 1975
- [130] S. Weinberg, *Cosmology*, 2008; С. Вайнберг, *Космология*, УРСС: Книжный дом “ЛИБ-РОКОМ”, Москва, 2013
- [131] S. Carroll, *Spacetime and Geometry, An Introduction to General Relativity*, Addison Wesley, 2004; arXiv:gr-qc/9712019
- [132] Д.С. Горбунов, В.А. Рубаков, Введение... (2006) «Введение в теорию ранней Вселенной. Теория горячего Большого взрыва» (М.: URSS, 2008)
- [133] Kodama, H., Sasaki, M. 1984. Cosmological Perturbation Theory. *Progress of Theoretical Physics Supplement* 78, 1.
- [134] Challinor, Anthony Constraining fundamental physics with the cosmic microwave background. Invited review at the Workshop on Cosmology and Gravitational Physics, 15-16 December 2005, Thessaloniki, Greece; arXiv:astro-ph/0606548
- [135] Rubakov, V. A., Vlasov, A. D., What do we learn from the CMB observations?, *Physics of Atomic Nuclei*, **75** (2012) 1123-1141; arXiv:1008.1704.
- [136] W.C. Keel, *The Extragalactic Distance Scale* (2009), <http://www.astr.ua.edu/keel/galaxies/distance.html>.
- [137] Churazov et al. *Nature*(2014).
- [138] Poznanski, D., et al., *MNRAS*, **382**, 1169 (2007)

- [139] Cooke, J., Sullivan, M., Barton, E. J., Bullock, J. S., Carlberg, R. G., Gal-Yam, A., & Tollerud, E., *Nature*, **460**, 237 (2009).
- [140] Jones, D.O., et al. The discovery of the most distant known Type Ia supernova at redshift 1.914. *Astrophysical Journal*, **768** (2013) p. 166.
- [141] B.P. Schmidt et al., *Astroph. J.* **507**, 46 (1998)
- [142] A.G. Riess et al., *Astron.J.* **116**, 1009 (1998).
- [143] S. Perlmutter et al., *Astroph. J.* **517**, 565 (1999).
- [144] Y. P. Pskovskii, *Astron. Zh.* **54**, 1188 (1977). *Sov. Ast.* **21**, 675 (1977).
- [145] Pskovskii, Yu.P. *Astron. Zh.* **61**, 1125 (1984). Photometric classification and basic parameters of type I supernovae. *Soviet Astronomy*, **28** (1984), p. 658-664.
- [146] Rust B.W. The use of supernovae light curves for testing the expansion hypothesis and other cosmological relations // Univ. of Illinois, ORNL 4953, Ph.D. thesis, Oak Ridge National Lab., TN., 1974.
- [147] M. M. Phillips, *Astroph. J. Lett.* **413**, L105 (1993).
- [148] Baade, W., 1938. The absolute photographic magnitude of supernovae. *Astrophysical Journal*, **88** (1938) 285-304.
- [149] Wilson, O.C., 1939. Possible applications of supernovae to the study of the nebular red shifts. *Astrophysical Journal*, 90, 634-636.
- [150] Zwicky, F., 1939. On the theory and observation of highly collapsed stars. *Physical Review*, 55, 726-743.
- [151] Pskovskii, Yu.P., 1967. The photometric properties of supernovae. *Soviet Astronomy*, **11**, 63-69. *Астроном.Ж.* **44**, 82.
- [152] M. M. Phillips, in *1604-2004: Supernovae as Cosmological Lighthouses*, Ed. by M. Turatto et al. (2005), p. 211.
- [153] Branch, David; Tammann, G. A. *Annual review of astronomy and astrophysics.* **30** (1992) p. 359-389.
- [154] de Vaucouleurs, G.; Pence, W. D. *Astrophysical Journal*, **209** (1976) p. 687-692.
- [155] G.Folatelli, M.M.Phillips, C.R.Burns et al. *Astron. J.*, **139**, 120-144 (2010), eprint:0910.3317.
- [156] P. Astier et al., *Astron. Ap.* **447**, 31 (2006), eprint:astro-ph/0510447.
- [157] Betoule, M., et al. Improved cosmological constraints from a joint analysis of the SDSS-II and SNLS supernova samples. *A&A*, **568** (2014), p. 22, eprint:arXiv:1401.4064.
- [158] Riess, A. G., Macri, L., Casertano, S., et al. 2011, *Astroph. J.*, 730, 119
- [159] Scolnic, D. M., et al. The Complete Light-curve Sample of Spectroscopically Confirmed Type Ia Supernovae from Pan-STARRS1 and Cosmological Constraints from The Combined Pantheon Sample (2017); arXiv:1710.00845.
- [160] Dam, L. H., Heinesen, A., & Wiltshire, D. L. 2017. Apparent cosmic acceleration from Type Ia supernovae. *MNRAS*, 472, 835

- [161] Rácz, G., Dobos, L., Beck, R., Szapudi, I., & Csabai, I. 2017. Concordance cosmology without dark energy. *MNRAS*, 469, L1
- [162] Buchert, T. 2018. On Backreaction in Newtonian cosmology. *MNRAS*, 473, L46
- [163] Weinberg, D. H. et al. Observational probes of cosmic acceleration, *Phys. Rep.* 530, 87-255 (2013); arXiv:1201.2434
- [164] Bassett, Hlozek Baryon Acoustic Oscillations (2009); arXiv:0910.5224
- [165] Giovannini, M. *International Journal of Modern Physics D* **14** (2005) 363; astro-ph/0412601
- [166] Giovannini, M. 2008, A Primer on the Physics of the Cosmic Microwave Background, by Massimo Giovannini. World Scientific Publishing Co., Singapore.
- [167] Горбунов Д.С., Рубаков В.А. Введение в теорию ранней Вселенной. Космологические возмущения. Инфляционная теория. 2010, 564 с
- [168] Komatsu, E., and 18 colleagues 2009. Five-Year Wilkinson Microwave Anisotropy Probe Observations: Cosmological Interpretation. *The Astrophysical Journal Supplement Series* 180, 330-376
- [169] Hu, W., Sugiyama, N. 1996. Small-Scale Cosmological Perturbations: an Analytic Approach. *The Astrophysical Journal* 471, 542; astro-ph/9510117
- [170] Dodelson, S. 2003. *Modern cosmology*. Amsterdam (Netherlands): Academic Press. ISBN 0-12-219141-2, 2003, XIII + 440 p. .
- [171] Alam Sh. et al. The clustering of galaxies in the completed SDSS-III Baryon Oscillation Spectroscopic Survey: cosmological analysis of the DR12 galaxy sample (2016); arXiv:1607.03155
- [172] Hong, Tao; Han, J. L.; Wen, Z. L. A detection of Baryon Acoustic Oscillations from the distribution of galaxy clusters. *Astrophysical Journal*, 826, article id. 154, 8 pp. (2016); arXiv:1511.00392.
- [173] Seo, H.-J., Beutler, F., Ross, A. J., Saito, S. 2015. Modeling the reconstructed BAO in Fourier space. *Monthly Notices of the Royal Astronomical Society*, Volume 460, Issue 3, p.2453-2471 (2016); arXiv:1511.00663.
- [174] Anderson, L., Aubourg, É., Bailey, S., et al. 2014, *MNRAS*, 441, 24
- [175] Eisenstein, D. J., Hu, W., & Tegmark, M. 1998, *Astroph. J.*, 504, L57
- [176] Eisenstein, D. J., et al. 2007; arXiv:0607061
- [177] Padmanabhan N, White M, Cohn J D *Physical Review D*, **79**, Issue 6, id. 063523 (2009); arXiv:0812.2905
- [178] A. Dolgov, V. Halenka, I. Tkachev, Power-law cosmology, SN Ia, and BAO. *Journal of Cosmology and Astro-Particle Physics* 10, 047 (2014); arXiv:1406.2445.
- [179] B. A. Bassett, R. Hlozek, *Baryon Acoustic Oscillations*, in *Dark Energy*, Ed. P. Ruiz-Lapuente (2010); arXiv:0910.5224.
- [180] M. Tegmark *et al.* [SDSS Collaboration], *Phys. Rev. D* **74** (2006) 123507; astro-ph/0608632.

- [181] P. A. R. Ade *et al.* [Planck Collaboration], *Astron. Astrophys.* (2014); arXiv:1303.5076.
- [182] F. Beutler, C. Blake, M. Colless, *et al.*, *MNRAS*, **416** (2011) 3017.
- [183] N. Padmanabhan, X. Xu, D. Eisenstein, *et al.*, *MNRAS*, **427** (2012) 2132.
- [184] L. Anderson, E. Aubourg, S. Bailey, *et al.*, *MNRAS*, **427** (2012) 3435.
- [185] Jun-Qing Xia, V. Vitagliano, S. Liberati, M. Viel, *Phys. Rev.* **D85** (2012) 043520; arXiv:1103.0378.
- [186] W. J. Percival *et al.*, *MNRAS*, **401** (2010) 2148.
- [187] A. Conley, J. Guy, M. Sullivan, *et al.*, *Astroph. J. Supp. Ser.* **192**, 1 (2011).
- [188] M. Hicken *et al.*, *Astroph. J.* **700**, 1097 (2009); arXiv:0901.4804.
- [189] Kazin, E. A., and 28 colleagues 2014. The WiggleZ Dark Energy Survey: improved distance measurements to $z = 1$ with reconstruction of the baryonic acoustic feature. *Monthly Notices of the Royal Astronomical Society* **441**, 3524-3542
- [190] Guy, J., Astier, P., Baumont, S., Hardin, D., Pain, R., Regnault, N., Basa, S., Carlberg, R.G., Conley, A., Fabbro, S., Fouchez, D., Hook, I.M., Howell, D.A., Perrett, K., Pritchett, C.J., Rich, J., Sullivan, M., Antilogus, P., Aubourg, E., Bazin, G., Brondard, J., Filiol, M., Palanque-Delabrouille, N., Ripoche, P., Ruhlmann-Kleider, V., 2007. SALT2: using distant supernovae to improve the use of Type Ia supernovae as distance indicators. *A&A* 466, 11–21. doi: 10.1051/0004-6361:20066930.
- [191] Tripp, R., Branch, D. Determination of the Hubble Constant Using a Two-Parameter Luminosity Correction for Type IA Supernovae. *The Astrophysical Journal*, Volume 525, Issue 1, pp. 209-214 (1999).
- [192] Sullivan, M., Ellis, R.S., Aldering, et al., 2003. The hubble diagram of Type Ia supernovae as a function of host galaxy morphology. *MNRAS* 340, 1057–1075. doi: 10.1046/j.1365-8711.2003.06312.x.
- [193] Henne, V., Pruzhinskaya, M.V., Rosnet, P., et al. The influence of host galaxy morphology on the properties of Type Ia supernovae from the JLA compilation. *New Astronomy* 51 (2017) 43–50.
- [194] Sullivan, M., Conley, A., Howell, et al., 2010. The dependence of Type Ia supernovae luminosities on their host galaxies. *MNRAS* 406, 782–802. doi: 10.1111/j.1365-2966.2010.16731.x.
- [195] Johansson, J., Thomas, D., Pforr, J., Maraston, C., Nichol, R.C., Smith, M., Lampeitl, H., Beifiori, A., Gupta, R.R., Schneider, D.P., 2013. SN Ia host galaxy properties from Sloan Digital Sky Survey-II spectroscopy. *MNRAS* 435, 1680–1700. doi: 10.1093/mnras/stt1408.
- [196] Sullivan, M., Le Borgne, D., Pritchett, C.J., et al., 2006. Rates and properties of Type Ia supernovae as a function of mass and star formation in their host galaxies. *ApJ* 648, 868–883. doi: 10.1086/506137.
- [197] Neill, J.D., Sullivan, M., Howell, D.A., Conley, A., et al., 2009. The local hosts of type Ia supernovae. *ApJ* 707, 1449–1465. doi: 10.1088/0004-637X/707/2/1449.
- [198] Confirmation of a Star Formation Bias in Type Ia Supernova Distances and its Effect on the Measurement of the Hubble Constant. *Astrophysical Journal*, 802, article id. 20, 18 pp. (2015).

- [199] Folatelli, G., and 29 colleagues 2013. Spectroscopy of Type Ia Supernovae by the Carnegie Supernova Project. *The Astrophysical Journal* 773, 53, eprint:1305.6997
- [200] Bogomazov, A.I, Tutukov, A.V. Type Ia supernovae: Non-standard candles of the universe. *Astronomy Reports*, **55**, Issue 6 (2011), pp. 497–504.
- [201] W. Li, A. V. Filippenko, R. Chornock, *et al.*, *Publ. Astr. Soc. Pacific* **115**, 453 (2003), eprint:astro-ph/0301428.
- [202] Phillips, M.M., Li, W., Frieman, J. ., Blinnikov, S.I. et al. *Publ. Astr. Soc. Pacific*, **119**, 360-387 (2007); astro-ph/0611295.
- [203] Fakhouri et al. Improving Cosmological Distance Measurements Using Twin Type Ia Supernovae, *ApJ* 815, 58 (2015); arXiv:1511.01102
- [204] Alam, U., Sahni, V., Starobinsky, A. A. 2007. Exploring the properties of dark energy using type-Ia supernovae and other datasets. *Journal of Cosmology and Astro-Particle Physics* 2, 011.
- [205] Shafieloo, A., Sahni, V., Starobinsky, A. A. 2009. Is cosmic acceleration slowing down?. *Physical Review D* 80, 101301.
- [206] Blinnikov, S., Potashov, M., Baklanov, P., Dolgov, A. 2012. Direct determination of the Hubble parameter using type II_n supernovae. *Journal of Experimental and Theoretical Physics Letters* 96, 153-157.
- [207] Potashov, M., Blinnikov, S., Baklanov, P., Dolgov, A. 2013. Direct distance measurements to SN 2009ip. *Monthly Notices of the Royal Astronomical Society* 431, L98-L101.
- [208] Baklanov, P. V., Blinnikov, S. I., Potashov, M. S., Dolgov, A. D. 2013. Study of supernovae important for cosmology. *Journal of Experimental and Theoretical Physics Letters* 98, 432-439.
- [209] Abbott, B. P., and 1012 colleagues 2016. Observation of Gravitational Waves from a Binary Black Hole Merger. *Physical Review Letters* 116, 061102.
- [210] Abbott, B. P., and 1125 colleagues 2017. GW170817: Observation of Gravitational Waves from a Binary Neutron Star Inspiral. *Physical Review Letters* 119, 161101.
- [211] Abbott, B. P., and 1155 colleagues 2017. Gravitational Waves and Gamma-Rays from a Binary Neutron Star Merger: GW170817 and GRB 170817A. *The Astrophysical Journal* 848, L13.
- [212] Savchenko, V., and 22 colleagues 2017. INTEGRAL Detection of the First Prompt Gamma-Ray Signal Coincident with the Gravitational-wave Event GW170817. *The Astrophysical Journal* 848, L15.
- [213] Lipunov, V. M., and 32 colleagues 2017. MASTER Optical Detection of the First LIGO/Virgo Neutron Star Binary Merger GW170817. *The Astrophysical Journal* 850, L1.
- [214] Blinnikov, S. I., Novikov, I. D., Perevodchikova, T. V., Polnarev, A. G. 1984. Exploding neutron stars in close binaries. *Pisma v Astronomicheskii Zhurnal* 10, 422-428.
- [215] Blinnikov, S. I., Novikov, I. D., Perevodchikova, T. V., Polnarev, A. G. 1984. Exploding Neutron Stars in Close Binaries. *Soviet Astronomy Letters* 10, 177-179, arXiv:1808.05287.
- [216] Lattimer, J. M., Schramm, D. N. 1976. The tidal disruption of neutron stars by black holes in close binaries. *The Astrophysical Journal* 210, 549-567.

- [217] Clark, J. P. A., Eardley, D. M. 1977. Evolution of close neutron star binaries. *The Astrophysical Journal* 215, 311-322.
- [218] Blinnikov, S. I., Imshennik, V. S., Nadezhin, D. K., Novikov, I. D., Perevodchikova, T. V., Polnarev, A. G. 1990. Explosion of a low mass neutron star. *Astronomicheskii Zhurnal* 67, 1181-1194.
- [219] Blinnikov, S. I., Imshennik, V. S., Nadezhin, D. K., Novikov, I. D., Perevodchikova, T. V., Polnarev, A. G. 1990. Explosion of a Low-Mass Neutron Star. *Soviet Astronomy* 34, 595.
- [220] Schutz, B. F. 1986. Determining the Hubble constant from gravitational wave observations. *Nature* 323, 310.
- [221] Abbott, B. P., and 1313 colleagues (The LIGO Scientific Collaboration, The Virgo Collaboration, The 1M2H Collaboration, The Dark Energy Camera GW-EM Collaboration and the DES Collaboration, The DLT40 Collaboration, The Las Cumbres Observatory Collaboration, The VINRO UGE Collaboration & The MASTER Collaboration) 2017. A gravitational-wave standard siren measurement of the Hubble constant. *Nature* 551, 85-88.
- [222] Riess, A. G., and 14 colleagues 2016. A 2.4% Determination of the Local Value of the Hubble Constant. *The Astrophysical Journal* 826, 56.
- [223] Riess, A. G., and 11 colleagues 2018. Milky Way Cepheid Standards for Measuring Cosmic Distances and Application to Gaia DR2: Implications for the Hubble Constant. *The Astrophysical Journal* 861, 126.
- [224] Planck Collaboration 2016. Planck 2015 results. XIII. Cosmological parameters. *Astronomy and Astrophysics* 594, A13.
- [225] Planck Collaboration, and 178 colleagues 2018. Planck 2018 results. VI. Cosmological parameters. ArXiv e-prints arXiv:1807.06209.
- [226] B.Leibundgut. *Nuclear Physics A*, 688:1–8, May 2001.
- [227] R. P. Kirshner and J. Kwan. *Astroph. J.*, 193:27–36, October 1974.
- [228] E. Baron, P. E. Nugent, D. Branch, and P. H. Hauschildt. *Astroph. J. Lett.*, 616:L91–L94, December 2004.
- [229] N. Bartel, M. F. Bietenholz, M. P. Rupen, and V. V. Dwarkadas. *Astroph. J.*, 668:924–940, October 2007.
- [230] Taddia, F., Stritzinger, M.D., Sollerman, J., et al. *Astron. Astroph.* **555** (2013) A10.
- [231] Grassberg, E. K., Imshennik, V. S., Nadyozhin, D. K. 1971. On the Theory of the Light Curves of Supernovae. *Astrophysics and Space Science* 10, 28-51.
- [232] Grasberg, E. K., Nadezhin, D. K. 1986. Type-II Supernovae - Two Successive Explosions. *Soviet Astronomy Letters* 12, 68-70.
- [233] N. N. Chugai, S. I. Blinnikov, R. J. Cumming, et al. *MNRAS*, 352:1213–1231, August 2004.
- [234] S. E. Woosley, S. Blinnikov, and A. Heger. *Nature*, 450:390–392, November 2007.
- [235] W. Baade. *Astronomische Nachrichten*, 228:359, October 1926.
- [236] A. J. Wesselink. *Bulletin of the Astronomical Institutes of the Netherlands*, 10:91, January 1946.

- [237] R. R. Caldwell, Phys. Lett. B 545 (2002) 23.
- [238] P.J.E. Peebles, B. Ratra, Astrophys J., 325 (1988) L17;
B. Ratra, P.J.E. Peebles, Phys. Rev. D37 (1988) 3406.
- [239] C. Wetterich, Nucl. Phys. B302 (1988) 668; Nucl. Phys. B302 (1988) 645;
- [240] I. Zlatev, L. Wang, P.J. Steinhardt, Phys. Rev. Lett. 82 (1999) 896
- [241] A.R. Liddle, R.J. Scherrer, Phys. Rev. D59 023509(1999)
- [242] T. Chiba, N. Sugiyama, T. Nakamura, MNRAS 289 (1997) L5
- [243] R.R. Caldwell, R. Dave, P.J. Steinhardt, Phys. Rev. Lett. 80 (1998) 1582
- [244] W. Hu, D.J. Eisenstein and M. Tegmark, Phys. Rev. D 59, 023512(1998)
- [245] G. Huey, L. Wang, R.R. Caldwell, P.J. Steinhardt, Phys.Rev. D59 (1999) 063005
- [246] P.G. Ferreria, M. Joyce, Phys. Rev. Lett. 79 (1997) 4740; Phys. Rev. D58, 023503 (1998)
- [247] K. Coble, S. Dodelson, J.A. Frieman, Phys. Rev. D 55 (1997) 1851
- [248] M.S. Turner, M. White, Phys. Rev. D 56 (1997) 4439
- [249] J. Frieman, I. Waga, Phys. Rev. D57 (1998) 4642
- [250] S.M. Carroll, Phys. Rev. Lett. 81 (1998) 3067; Quintessence and the Rest of the World;
astroph/9806099
- [251] P.J. Steinhardt, L. Wang, I. Zlatev, Phys. Rev. 59 (1999) 123504
- [252] T. Chiba, Phys. Rev. D60 (1999) 083508; gr-qc/9903094; Quintessence, the Gravitational
Constant, and Gravity
- [253] M.C.Bento, O. Bertolami, Gen.Rel.Grav. 31 (1999) 1461;gr-qc/9905075; Compactification,
Vacuum Energy and Quintessence
- [254] F. Perrotta, C. Baccigalupi, S. Matarrese, Phys. Rev. D61 (2000) 023507; astro-
ph/9906066; Extended Quintessence
- [255] J. Garriaga, M. Livio, A. Vilenkin, Phys. Rev. D61 (2000) 023503; astro-ph/9906210. The
cosmological constant and the time of its dominance
- [256] N. Bartolo, M. Pietroni, Phys. Rev. D61 (2000) 023518; hep-ph/9908521; Scalar-Tensor
Gravity and Quintessence
- [257] Y. Fujii, Phys. Rev. D62 (2000) 044011. Quintessence, scalar-tensor theories and non-
Newtonian gravity
- [258] E. J. Copeland, M. Sami, S. Tsujikawa, Int. J. Mod. Phys. D15, 1753 (2006);
- [259] R. Bean, TASI Lectures on Cosmic Acceleration; arXiv:1003.4468
- [260] M.J. Mortonson, D.H. Weinberg, M. White, to appear as Chapter 25 of Particle Data
Group 2014 Review of Particle Physics; arXiv:1401.0046
- [261] M. Born and L. Infeld, Proc. Roy. Soc. Lond. A 144 (1934) 425.
- [262] S. Deser and G. W. Gibbons, Class. Quant. Grav. **15**, L35 (1998);
D. Comelli, A. Dolgov, JHEP 0411 (2004) 062.

- [263] F. Lucchin, S. Matarrese, *Phys. Rev. D* **32**, 1316 (1985).
- [264] V. Sahni, H. Feldman, A. Stebbins, *Astrophys. J.* 385, 1 (1992).
- [265] S. Capozziello, S. Carloni, A. Troisi, *RecentRes. Dev. Astron. Astrophys.* 1, 625 (2003); astro-ph/0303041
- [266] S.M. Carroll, V. Duvvuri, M. Trodden, M.S. Turner, *Phys.Rev.* **D 70**, 043528 (2004); astro-ph/0306438.
- [267] A.D. Dolgov, M.Kawasaki, *Phys. Lett.* **B 573**, 1 (2003).
- [268] A.A. Starobinsky, *JETP Lett.* 86 (2007) 157
- [269] W. Hu, I. Sawicki, *Phys. Rev. D* 76 (2007) 064004
- [270] A. Appleby, R. Battye, *Phys. Lett. B* 654 (2007) 7.
- [271] S. Nojiri, S. Odintsov, *Phys.Rept.* 505 (2011) 59.
- [272] S.A. Appleby, R.A. Battye, A.A. Starobinsky, *JCAP* 1006 (2010) 005.
- [273] A.V. Frolov, *Phys. Rev. Lett.* 101 (2008) 061103.
- [274] E.V. Arbuzova, A.D. Dolgov, *Phys.Lett.* B700 (2011) 289.
- [275] L. Reverberi, *Phys. Rev. D* 87 (2013) 084005.
- [276] V.Ts. Gurovich, A.A. Starobinsky, *Sov. Phys. JETP* 50 (1979) 844; [*ЖЭТФ* 77 (1979) 1683]
- [277] A.A. Starobinsky, *JETP Lett.* 30 (1979) 682; [*Письма ЖЭТФ* 30 (1979) 719]
- [278] A. A. Starobinsky, “Nonsingular model of the Universe with the quantum- gravitational de Sitter stage and its observational consequences”, in *Proc. of the Second Seminar “Quantum Theory of Gravity”* (Moscow, 13-15 Oct. 1981), INR Press, Moscow , 1982, pp. 58-72; reprinted in: *Quantum Gravity*, eds. M. A. Markov and P. C. West. Plenum Publ. Co., N.Y., 1984, pp. 103-128.
- [279] A. A. Starobinsky, *Phys. Lett.* B91, 99 (1980).
- [280] S. G. Mamaev, V. M. Mostepanenko and A. A. Starobinsky, *JETP* 43, 823 (1976)
- [281] Ya. B. Zeldovich, A. A. Starobinsky, *JETP Lett.* 26 (1977) 252
- [282] A. Vilenkin, *Phys. Rev. D* 32 (1985) 2511
- [283] M. B. Mijic, M. S. Morris, Wai-Mo Suen, *Phys. Rev. D* 34 (1986) 2934
- [284] Wai-Mo Suen, P. R. Anderson, *Phys. Rev. D* 35 (1987) 2940.
- [285] D. S. Gorbunov and A. G. Panin, *Phys. Lett. B* 700, 157 (2011); arXiv:1009.2448 [hep-ph].
- [286] E.V. Arbuzova, A.D. Dolgov, L. Reverberi, *JCAP* 1202 (2012) 049; arXiv:1112.4995.
- [287] E.V. Arbuzova, A.D. Dolgov, L. Reverberi, *Eur. Phys. J. C* 72 (2012) 2247
- [288] E.V. Arbuzova, A.D. Dolgov, L. Reverberi, *Phys. Rev. D* 88 (2013) 024035.
- [289] D. Gorbunov and A. Tokareva, *J. Exp. Theor. Phys.* 120, 528 (2015); arXiv:1412.3413

- [290] D. Gorbunov and A. Tokareva, Phys. Rev. D **96**, 103527 (2017); arXiv:1412.3770.
- [291] E.V. Arbuzova, A.D. Dolgov, L. Reverberi; arXiv:1707.02541
- [292] E.V. Arbuzova, A.D. Dolgov, L. Reverberi, Astroparticle Physics **54** (2014) 44.
- [293] S. Capozziello, M. De Laurentis, Phys. Rep. **509** (2011) 167
- [294] S. Capozziello, A. Stabile, A. Troisi, Phys. Rev. D **76** (2007) 1040.
- [295] A. de la Cruz-Dombriz, A. Dobado, A. L. Maroto, Phys. Rev. **D80**, 124011 (2009).
- [296] J.A.R. Cembranos, A. de la Cruz-Dombriz, B. Montes Nunez, JCAP **1204** (2012) 021.
- [297] В.А. Фок. Теория пространства, времени и тяготения. М.: ГИТТЛ, 1955. - 504 с.
- [298] R.M.Wald. General Relativity, University of Chicago Press, 506 pages, 1984.
Роберт М. Уолд Общая теория относительности Рос. ун-т дружбы народов, 2008 - 692 с.
- [299] E. Poisson, *A relativist's toolkit : the mathematics of black-hole mechanics* (Cambridge, Cambridge University Press, 2004).
- [300] Edward W. Kolb, Michael S. Turner The Early Universe. Addison-Wesley (1990).
- [301] G. W. Gibbons and S. W. Hawking, Phys. Rev. D **15**, 2752 (1977).
- [302] J. W. York, Phys. Rev. Lett. **28**, 1082 (1972).
- [303] S. W. Hawking and G. T. Horowitz, Classical and Quantum Gravity **13**, 1487 (1996), eprint:gr-qc/9501014.
- [304] C. W. Misner, K. S. Thorne and J. A. Wheeler, *Gravitation* (W. H. Freeman and Company, 1973). Русский перевод в 3х томах.
- [305] Ландау Л.Д. и Лифшиц Е.М., Теория поля.— 8-е изд., стереот., М.: ФИЗМАТЛИТ, 2003.-534 с. L. D. Landau and E. M. Lifshitz, *The Classical Theory of Fields* (Oxford, Pergamon Press, 1975).
- [306] M. Tanabashi et al. (Particle Data Group), Review of Particle Physics, Phys. Rev. D **98**, 030001 (2018)
- [307] P.A.R. Ade et al. (Planck Collab. 2013 XVI); arXiv:1303.5076v1
- [308] A.G. Riess et al., Astrophys. J. **730**, 119 (2011).
- [309] Z. Berezhiani, A.D. Dolgov, I. I Tkahev, Phys.Rev. D **92** (2015) No.6; arXiv:061303
- [310] A. Chudaykin, D. Gorbunov, I. Tkachev, Phys.Rev. D **94** (2016) 023528 .
- [311] S. Alam et al., MNRAS **470**, 2617 (2017)
- [312] V. Sahni, A. Shafieloo, A.A. Starobinsky. Model-independent Evidence for Dark Energy Evolution from Baryon Acoustic Oscillations. The Astrophysical Journal **793**, L40 (2014); arXiv:1406.2209
- [313] Nojiri, S., Odintsov, S. D., Oikonomou, V. K. 2017. Modified gravity theories on a nutshell: Inflation, bounce and late-time evolution. Physics Reports **692**, 1-104; arXiv:1705.11098 [gr-qc]

- [314] Nojiri, S., Odintsov, S. D. 2018. Cosmological bound from the neutron star merger GW170817 in scalar-tensor and $F(R)$ gravity theories. *Physics Letters B* 779, 425-429; arXiv:1711.00492 [astro-ph.CO]
- [315] Salvatore Capozziello, Carlo Alberto Mantica, Luca Guido Molinari. Cosmological perfect-fluids in $f(R)$ gravity; arXiv:1810.03204 [gr-qc] (2018)
- [316] Joyce, A., Lombriser, L., Schmidt, F. 2016. Dark Energy Versus Modified Gravity. *Annual Review of Nuclear and Particle Science* 66, 95-122; arXiv:1601.06133
- [317] Brax, P. 2018. What makes the Universe accelerate? A review on what dark energy could be and how to test it. *Reports on Progress in Physics* 81, 016902.
- [318] Rubin, D., Hayden, B. 2016. Is the Expansion of the Universe Accelerating? All Signs Point to Yes. *The Astrophysical Journal* 833, L30; arXiv:1610.08972
- [319] Wright, B. S., Li, B. 2017. Type Ia supernovae, standardisable candles, and gravity. *Phys. Rev. D* 97, 083505 (2018); arXiv:1710.07018
- [320] Brennan, T. D., Carta, F., Vafa, C. 2017. The String Landscape, the Swampland, and the Missing Corner; arXiv:1711.00864
- [321] Obied, G., Ooguri, H., Spodyneiko, L., Vafa, C. 2018. De Sitter Space and the Swampland; arXiv:1806.08362
- [322] Agrawal, P., Obied, G., Steinhardt, P. J., Vafa, C. 2018. On the cosmological implications of the string Swampland. *Physics Letters B* 784, 271-276; arXiv:1806.09718
- [323] Akrami, Y., Kallosh, R., Linde, A., Vardanyan, V. 2018. The landscape, the swampland and the era of precision cosmology. ArXiv e-prints arXiv:1808.09440.

Cosmological acceleration

S.I.Blinnikov and A.D.Dolgov

An overview is given of the current status of the theory and observations of the acceleration of expansion the observable part of the universe.